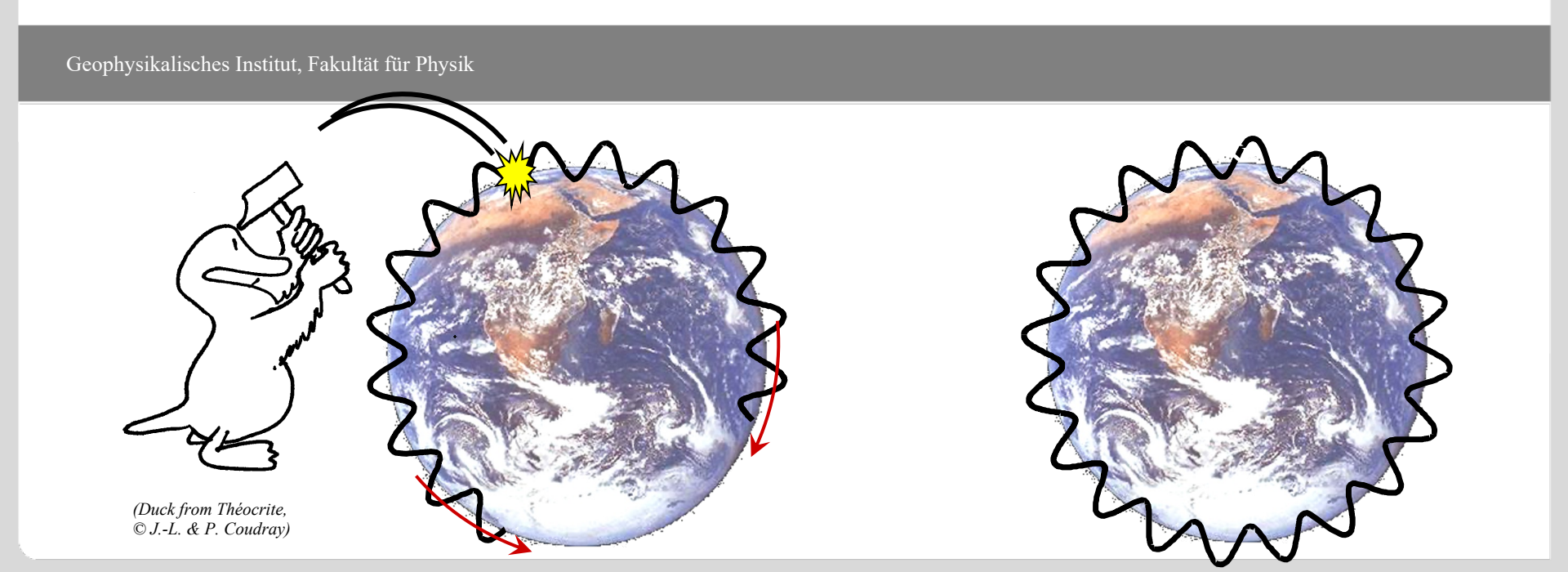


Einführung in die Geophysik II

Eigenschwingungen und komplexe seismische Phasen





		The state of the s	Übungsblatt		Übung: Mo., 11:30-13:00, HS B
		Vorlesung: Mi., 11:30-13:00, HS B	online		Besprechung der Übungsblätter
	19.04	keine Vorlesung		17.04	
		Aufbau der Erde &		24.04	
VL1	26.04	Plattentektonik		24.04	
VL2	03.05	Radiometrische Altersbestimmung	Ü1	01.05	
	40.05	Seismische Wellen und ihre Wechselwirkungen,		00.05	04. B-#
VL3	10.05	elastische Eigenschaften von Gesteinen		08.05	Ü1: Radiometrische Altersbestimmung
		Erdbeben: Bruchprozesse, Messung &			
VL4	17.05	Lokalisierung von Erdbeben	Ü2	15.05	
124	27.00	Londarding von Eraboben		10.00	
		Ausbreitung von Erdbebenwellen,			
VL5	24.05	Strukturerkundung		22.05	Ü2: Seismische Wellen, elst. Eigen.
	1000				
	31.05	keine Vorlesung, Pfingswoche		29.05	
VL6	07.06	Eigenschwingungen	Ü3	05.06	
VLO	07.00	Ligenscriwingungen	03	03.00	
VL7	14.06	Seismizität, Gefährdung, Magnituden		12.06	
	1 280 200			10000000	
VL8	21.06	Schwere und Gravimetrie	Ü4	19.06	Ü3: Eigenschwingungen, Seismizität
VL9	28.06	Magnetismus	Ü5	26.06	Ü4: Schwere und Gravimetrie
V L S	20.00	Magnetismas	03	20.00	04. Schweie und Gravilliettie
VL10	05.07	Temperatur	Ü6	03.07	
		Aufbau und Dynamik des Erdinneren:			
VL11	12.07	Mantel		10.07	Ü5: Magnetismus
		Author and Danomik des Endinesses			
VL12	19.07	Aufbau und Dynamik des Erdinneren: Erdkern		17.07	Ü6: Temperatur
VLIZ	19.07	Liukeiii		17.07	Too. Temperatur

Vorlesung: Die Vorlesung findet mittwochs um 11:30 - 13:00h im Hörsaal B (Geb. 30.22) statt und beginnt am 26.4.2023.

Übungen: Die Übungen finden nach obrigen Zeitplan montags um 11:30 - 13:00h im Hörsaal B (Geb. 30.22) statt. Die Termine finden sich in der oben stehenden Tabelle. Übungsblätter werden nach den jeweiligen Vorlesungen online gestellt. Durch Vorrechnen von Übungsaufgaben können Punkte (max. 3) erworben werden, die auf die Klausur als Bonuspunkte* angerechnet werden. Die Punktzahl, die für das Vorrechnen der einzelnen Aufgaben vergeben wird, wird in der jeweiligen Übung bekannt gegeben.

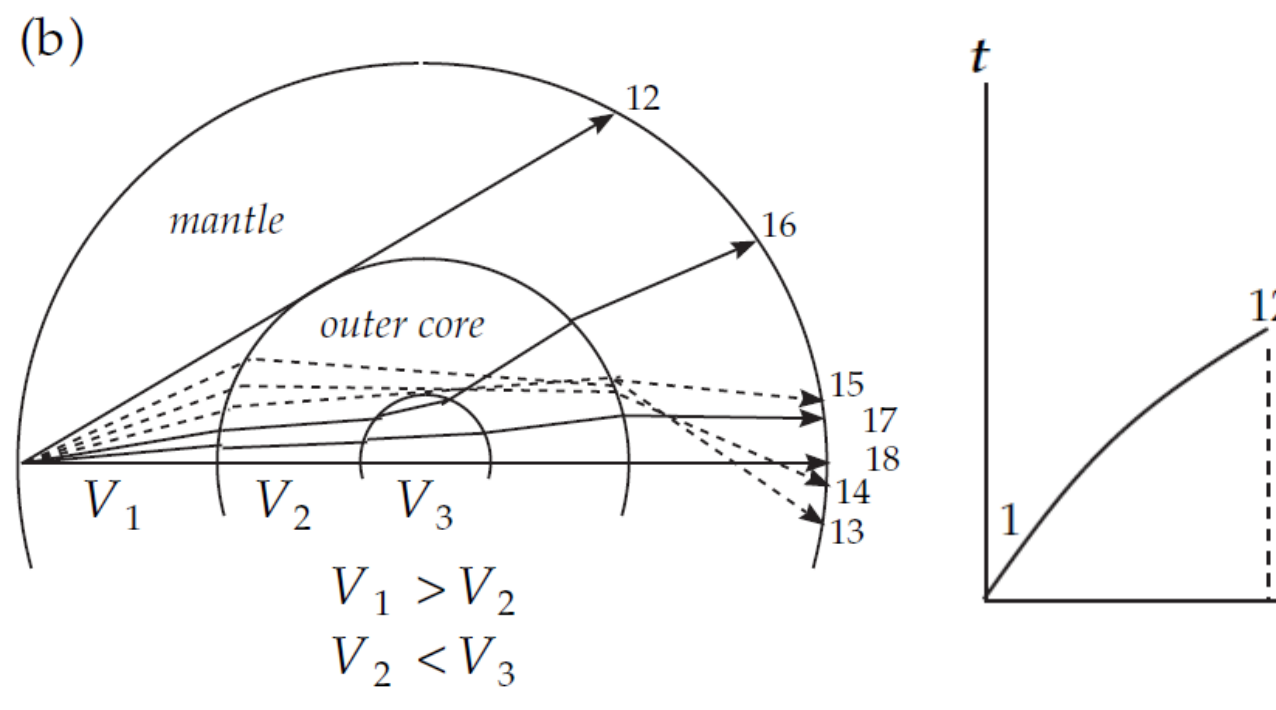
*d.h. das Bestehen der Prüfung durch diese Punkte ist nicht möglich; bei bestandener Klausur lässt sich dadurch jedoch die Note verbessern.

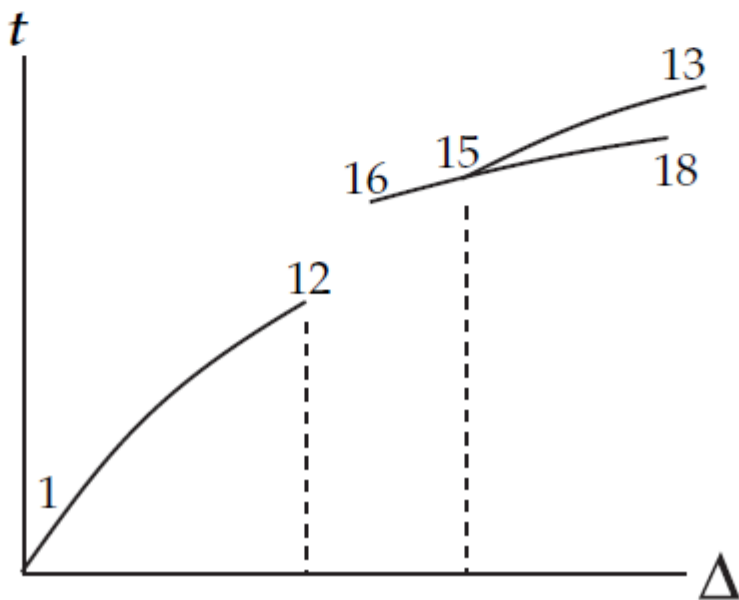
Klausur: Erster Termin am 26.07.2022, 14:00 - 15:30h, zweiter Termin am 20.09.2022, 09:00 - 10:30h. Die der Ort der Klausuren ist der Otto-Lehmann-Hörsaal.

27.01.11

Der Kern als seismische "Linse"





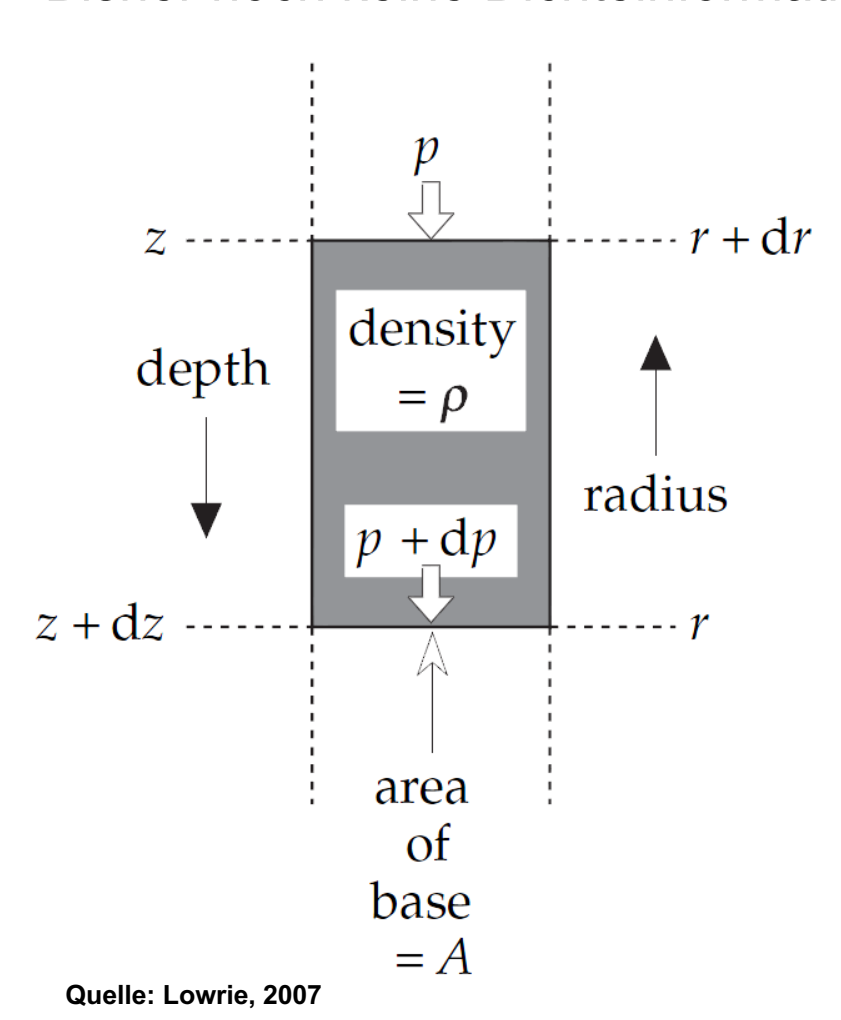


Quelle: Lowrie, 2007

Strukturerkundung: Dichte



Bisher noch keine Dichteinformationen innerhalb der Erde



p: hydrostatischer Druck an Oberkantep + dp: hydrostatischer Druck an Unterkante

$$dp = \frac{w}{A} = \frac{(\text{volume} \times \rho)g}{A} = \frac{(A dz \rho)g}{A}$$
$$= \rho g dz = -\rho g dr$$

w: ,weight' = Gewicht

Außerdem:
$$K = -V \frac{\mathrm{d}p}{\mathrm{d}V} = \rho \frac{\mathrm{d}p}{\mathrm{d}\rho}$$

Daraus folgt:
$$\frac{-d\rho}{\rho g dr} = \frac{\rho}{K}$$

Strukturerkundung: Dichte



Mit seismischem Parameter $\Phi = \alpha^2 - \frac{4}{3}\beta^2$

wird daraus:

$$\frac{-\mathrm{d}\rho}{\rho g\,\mathrm{d}r} = \frac{\rho}{K} = \frac{1}{\Phi}$$

Umformen ergibt die Adams-Williamson-Gleichung:

$$\frac{\mathrm{d}\rho}{\mathrm{d}r} = -\frac{\rho(r)g(r)}{\Phi(r)}$$

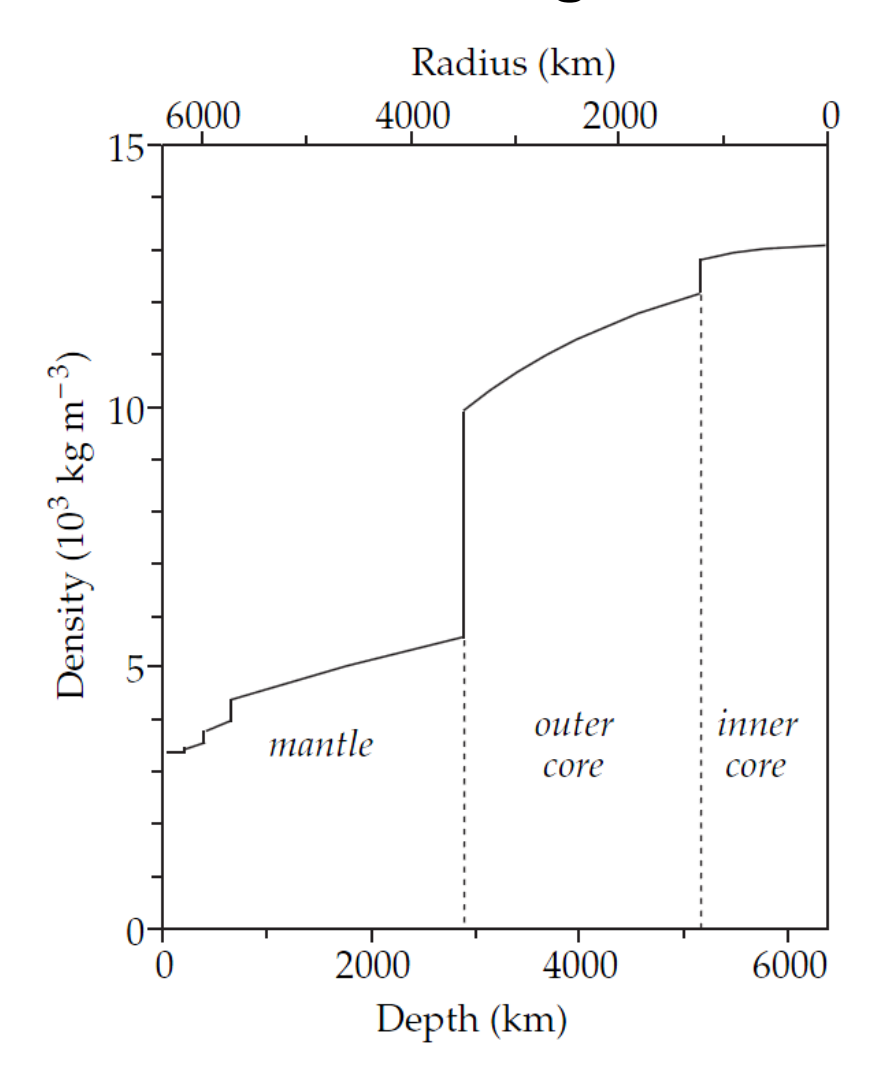
Wenn Parameter auf der rechten Seite der Gleichung bekannt sind, kann der Dichtegradient berechnet werden.

Dichte ist aber gerade unbekannt. Annahme eines Startwerts in (flacher) Tiefe r, iterative Berechnung.

Quelle: Lowrie, 2007

Strukturerkundung: Dichte

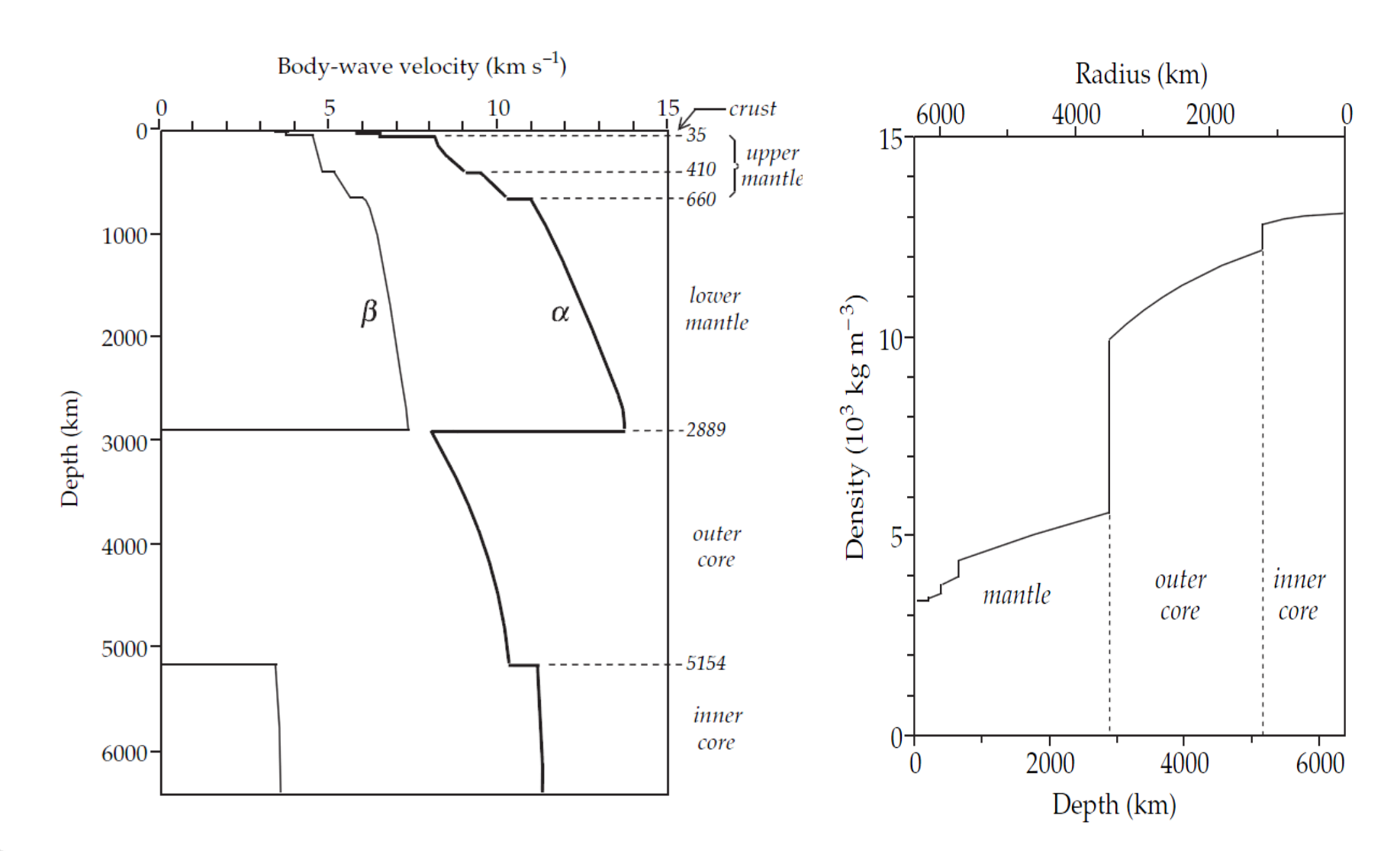




Quelle: Lowrie, 2007

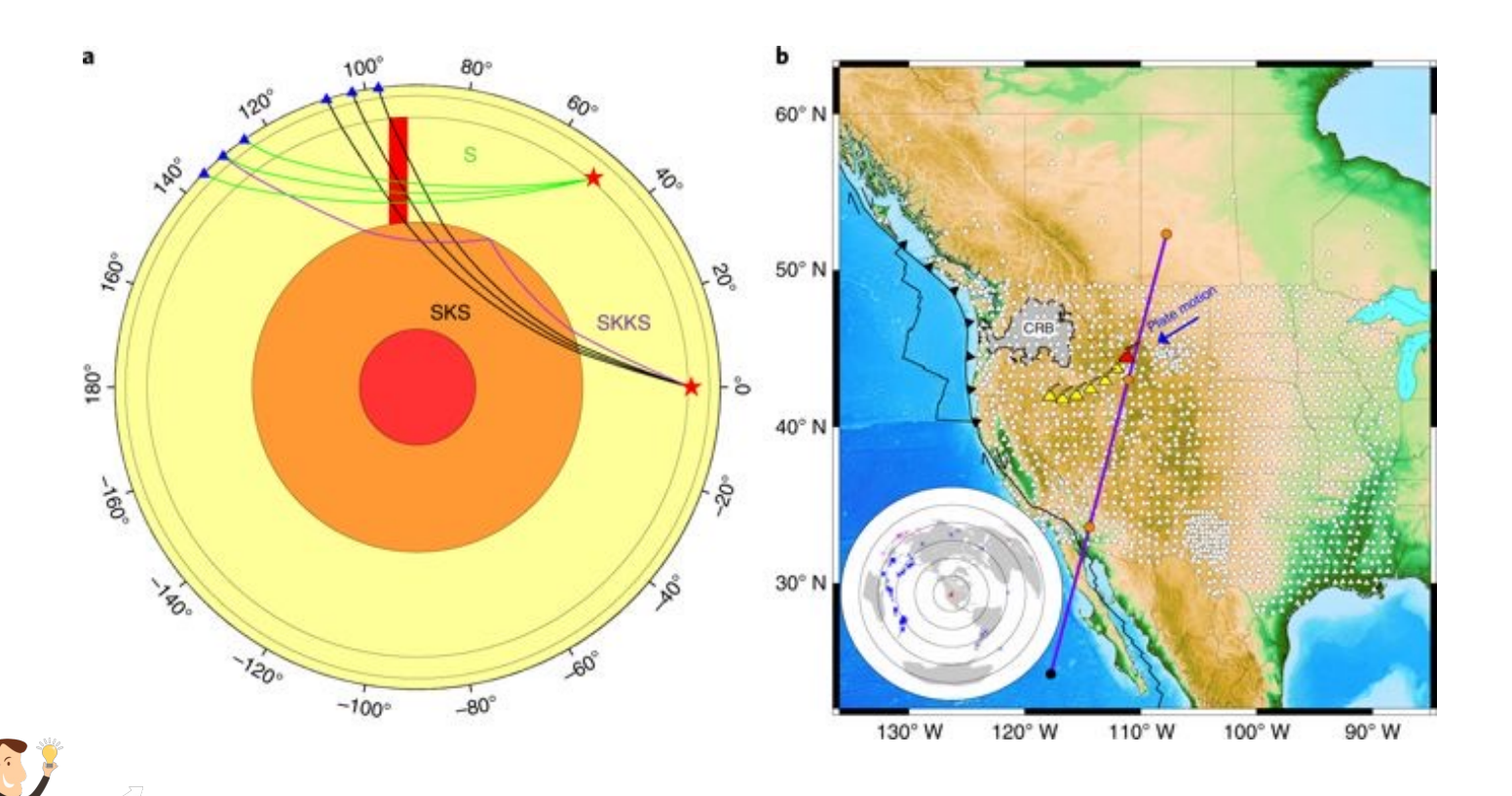
Globales Erdmodell





Lower-mantle plume beneath the Yellowstone hotspot revealed by core waves (Nat. Geosc, 2018)

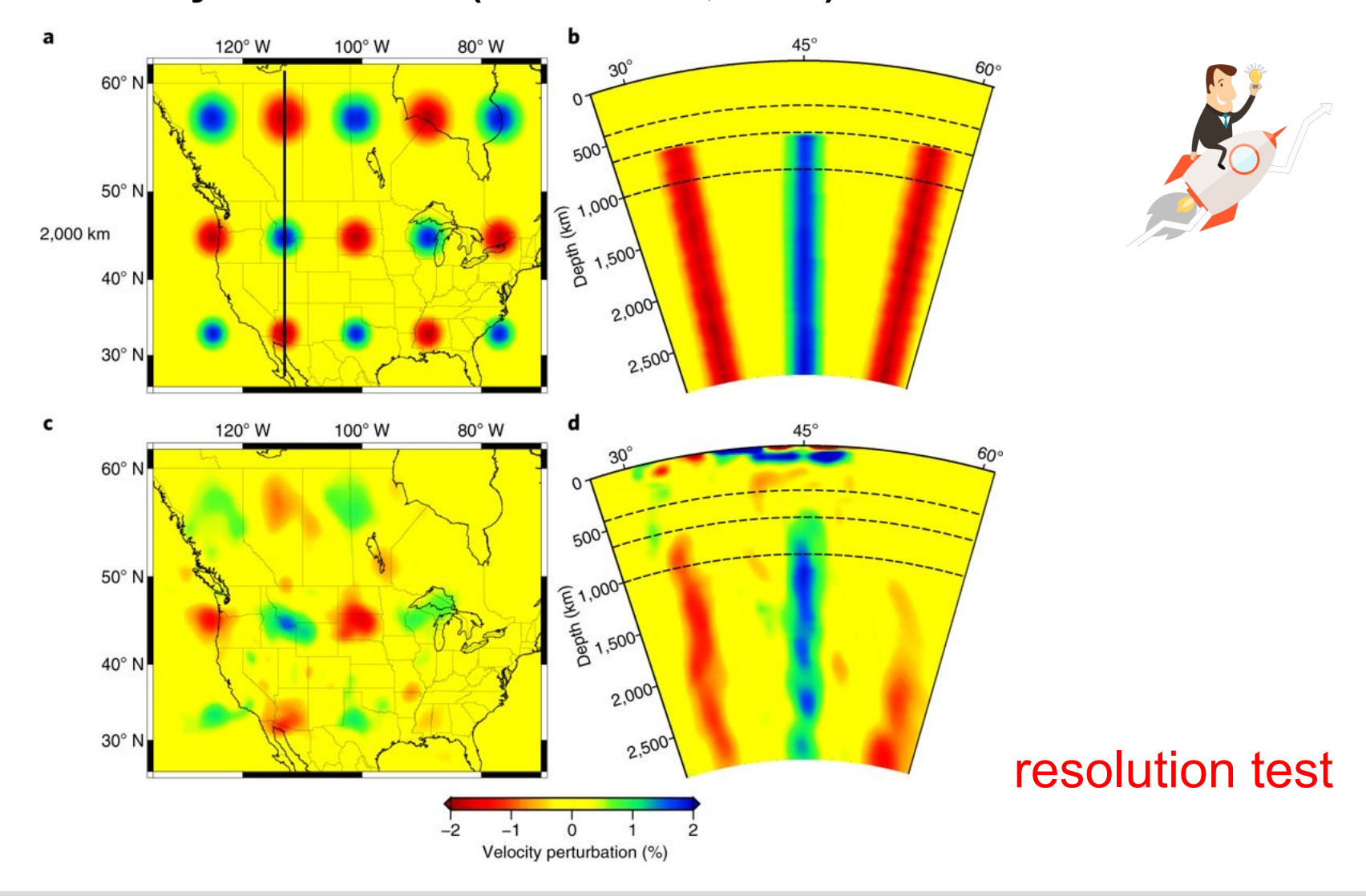




data

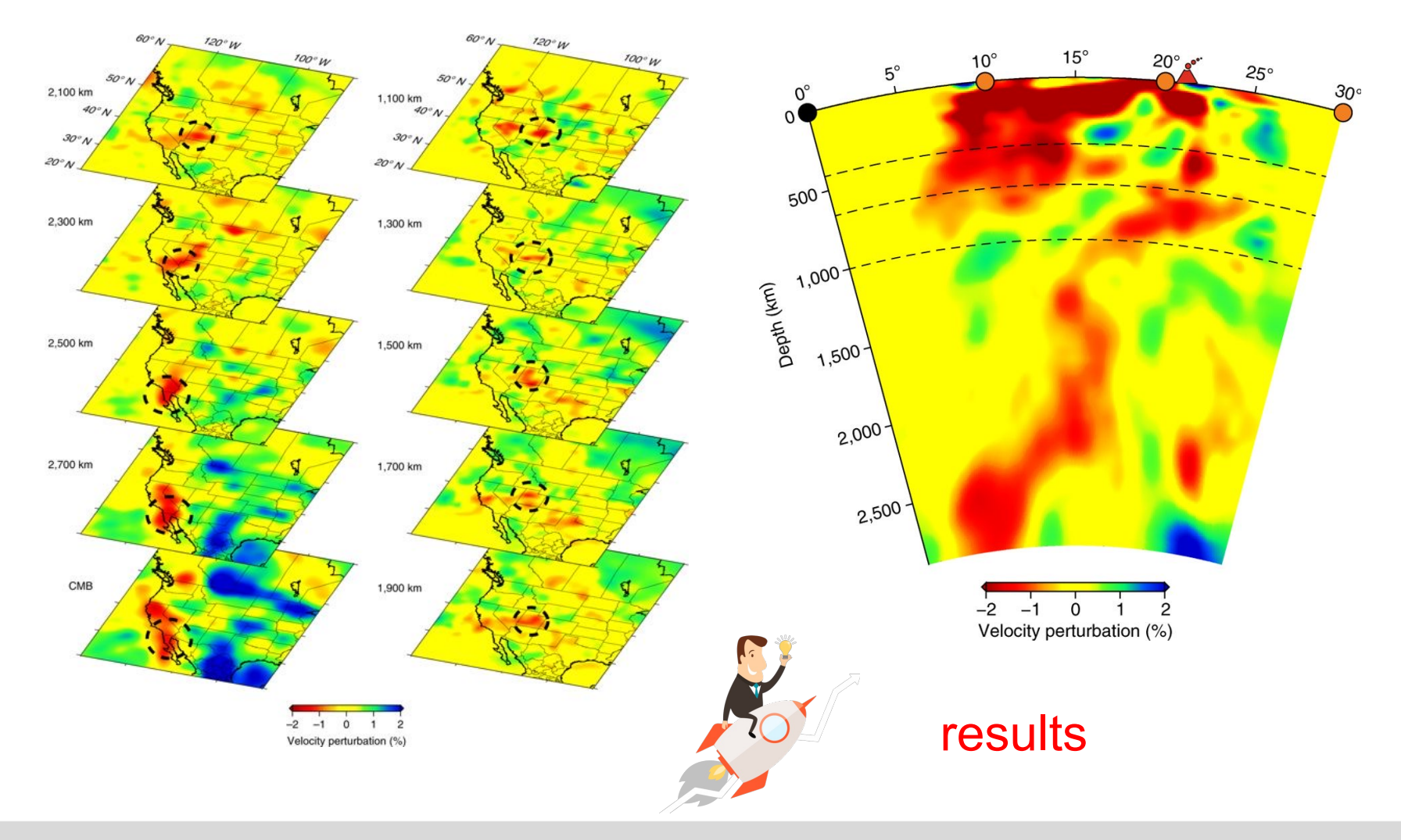
Lower-mantle plume beneath the Yellowstone hotspot revealed by core waves (Nat. Geosc, 2018)





Lower-mantle plume beneath the Yellowstone hotspot revealed by core waves (Nat. Geosc, 2018)









Home Leichte Sprache Gebärdensprache Impressum Datenschutz

Themen

Barrierefreiheit Sitemap Studium Forschung

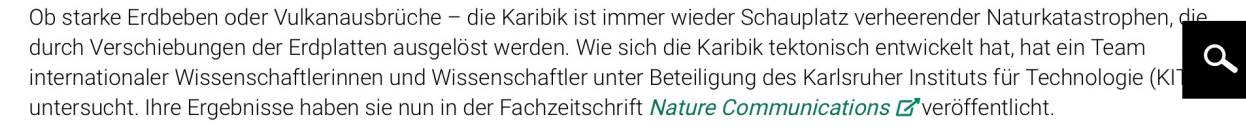
Innovation

Plattentektonik: Entstehungsgeschichte der Karibik

Wissenschaftlerinnen und Wissenschaftler des KIT decken einen der letzten "weißen Flecken" im globalen Puzzle der Plattentektonik auf



Tief in der Karibik: vor dem Hintergrund der Vulkaninsel Montserrat werden die Seismometer wieder zurück an Bord geholt. (Foto: Stephen P. Hicks)



"Die karibische Platte wird von drei weiteren Erdplatten eingerahmt. So kommt es dort zu vermehrten seismischen Aktivitäten. Dennoch ist man sich bis heute nicht einig, wie und wann die Karibik entstanden ist", sagt Andreas Rietbrock, Leiter des Geophysikalischen Instituts (GPI) des KIT. In dem Projekt VoiLA – Volatiles in the Lesser Antilles analysierten die Geophysiker des GPI Daten modernster Meeresboden-Seismometer und erstellten so ein tomographisches Abbild des oberen Erdmantels bis in etwa 700 Kilometern Tiefe.

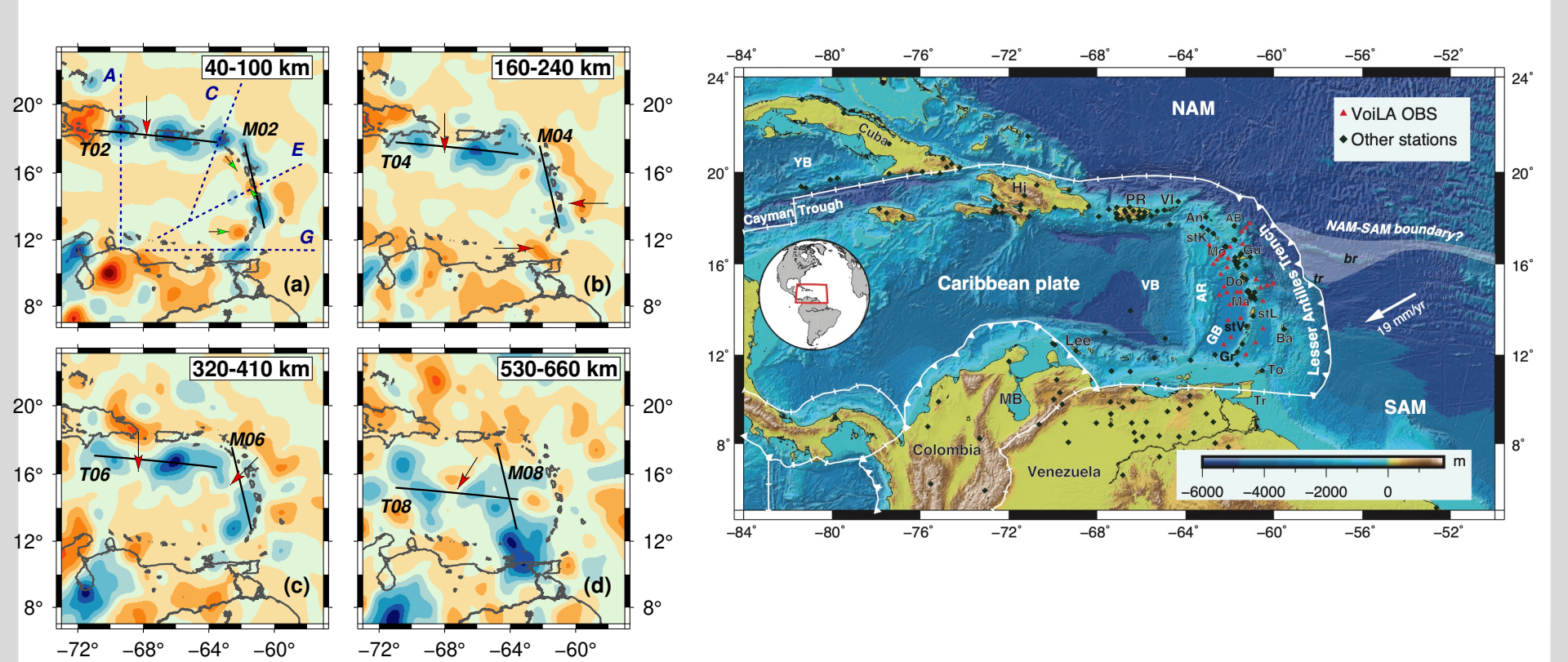
In Kombination mit einer Rekonstruktion der globalen tektonischen Plattenbewegungen der letzten 120 Millionen Jahre, ausgewertet zusammen mit den Partnern am Imperial College London, konnten sie dieses Abbild interpretieren: "Die Tomographie zeigt unter dem heutigen karibischen Ozean abgesunkene tektonische Platten", so Benedikt Braszus, Masterstudent der Geophysik am KIT und Erstautor der Studie. "Durch die Plattenrekonstruktion können wir den Ort und Zeitpunkt bestimmen, an dem die Platten in das Erdinnere abgesunken sind und somit die Bewegungen der an die Karibik angrenzenden Plattenränder in den vergangenen 100 Millionen Jahren nachvollziehen." Dies ermögliche im nächsten Schritt die bisher detaillierteste und umfassendste Beschreibung der Entstehungsgeschichte der Karibik.

swi, 13.07.2021



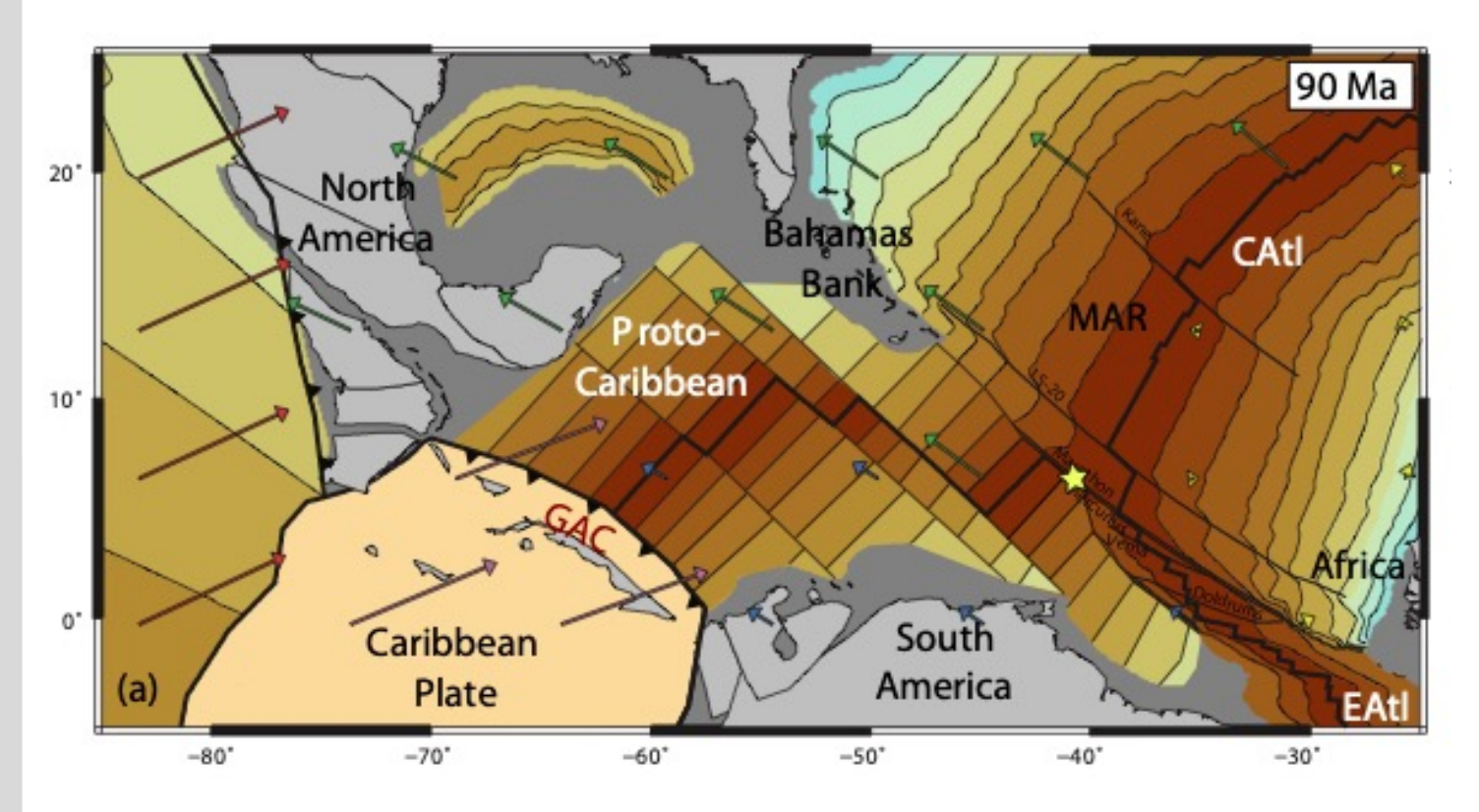
Teleseismic P-Wave Tomography



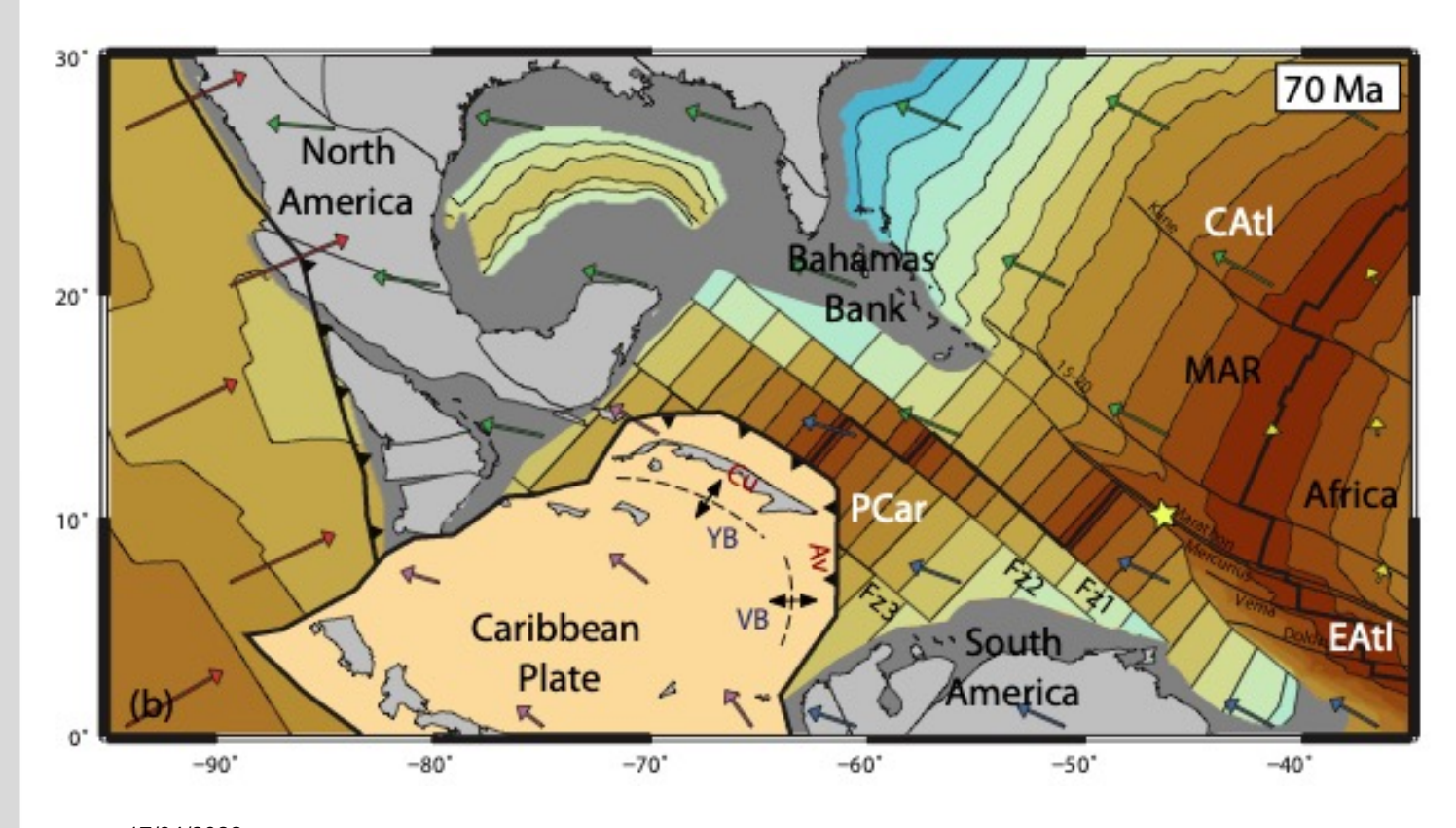


Masterarbeit GPI: Braszus et al., Nat. Comm., 2021

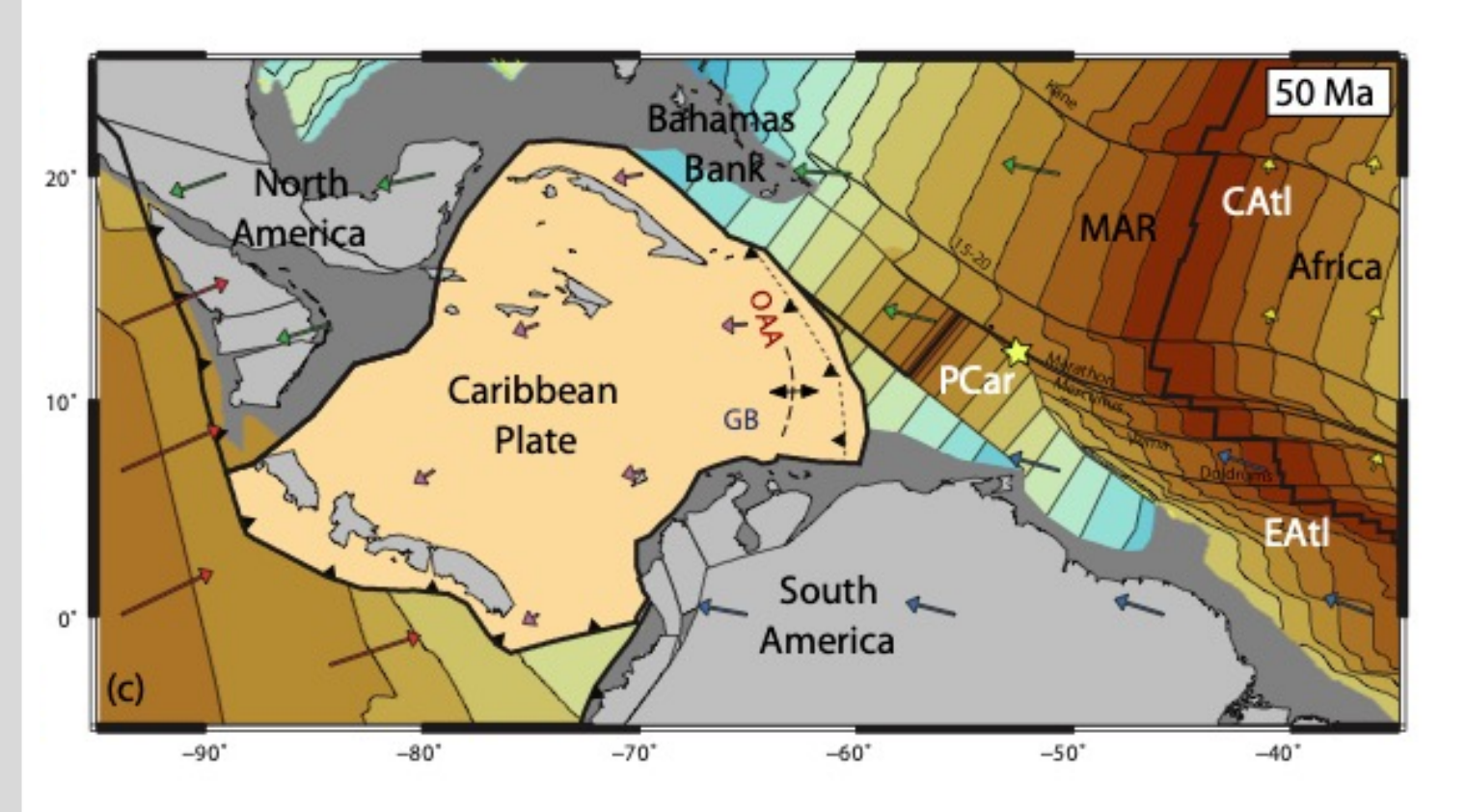




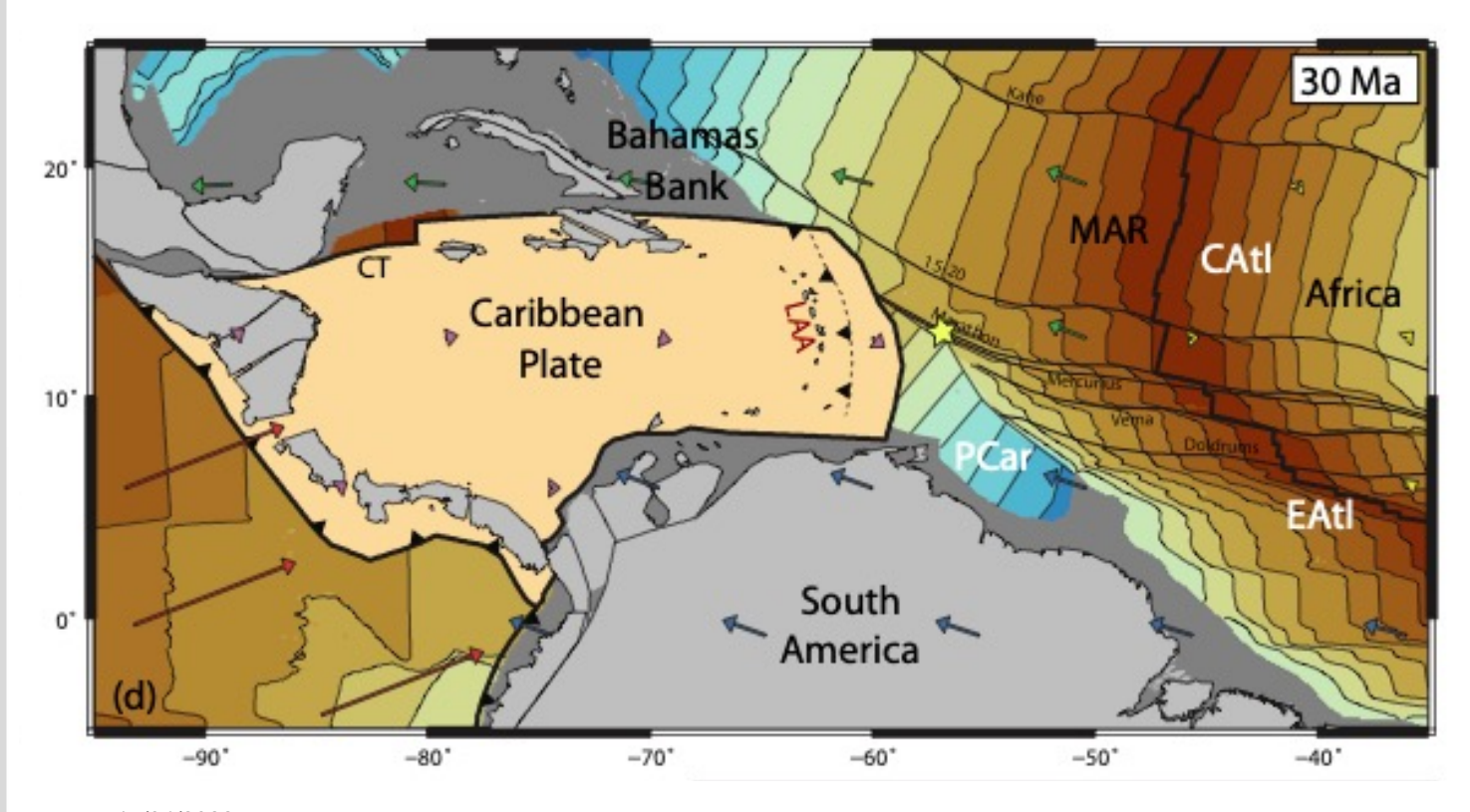






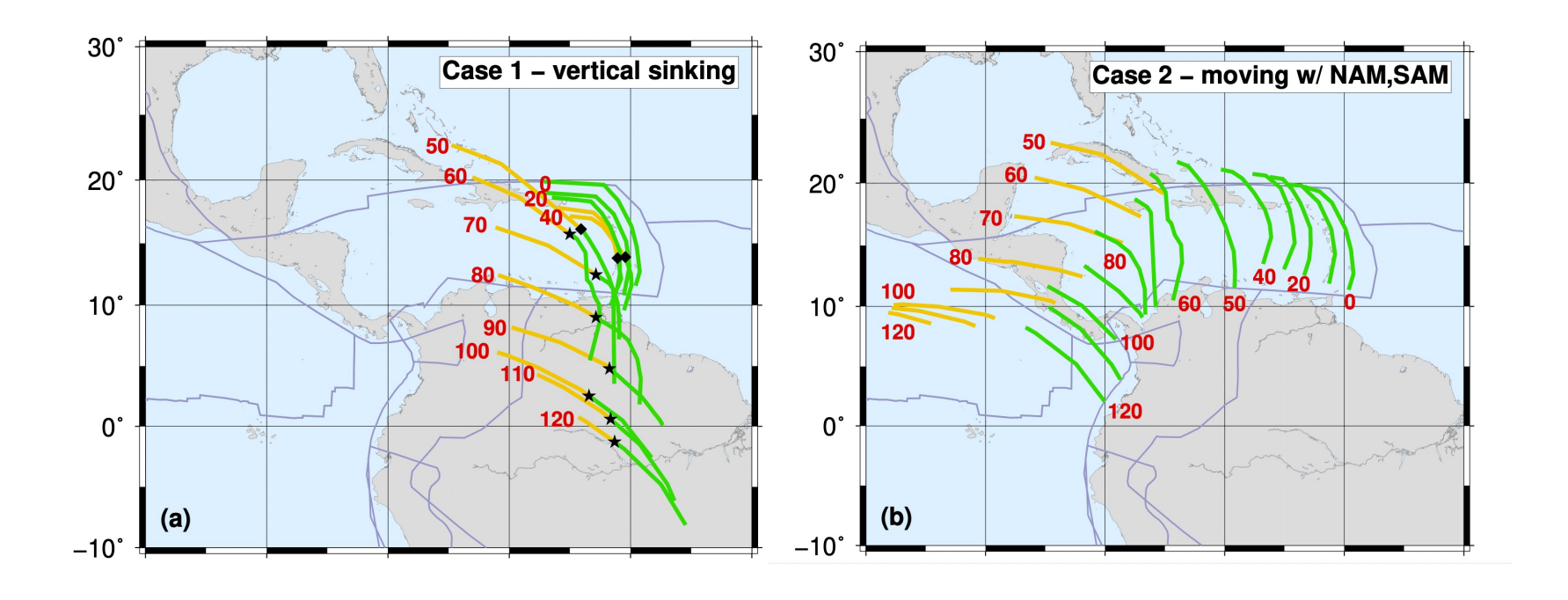






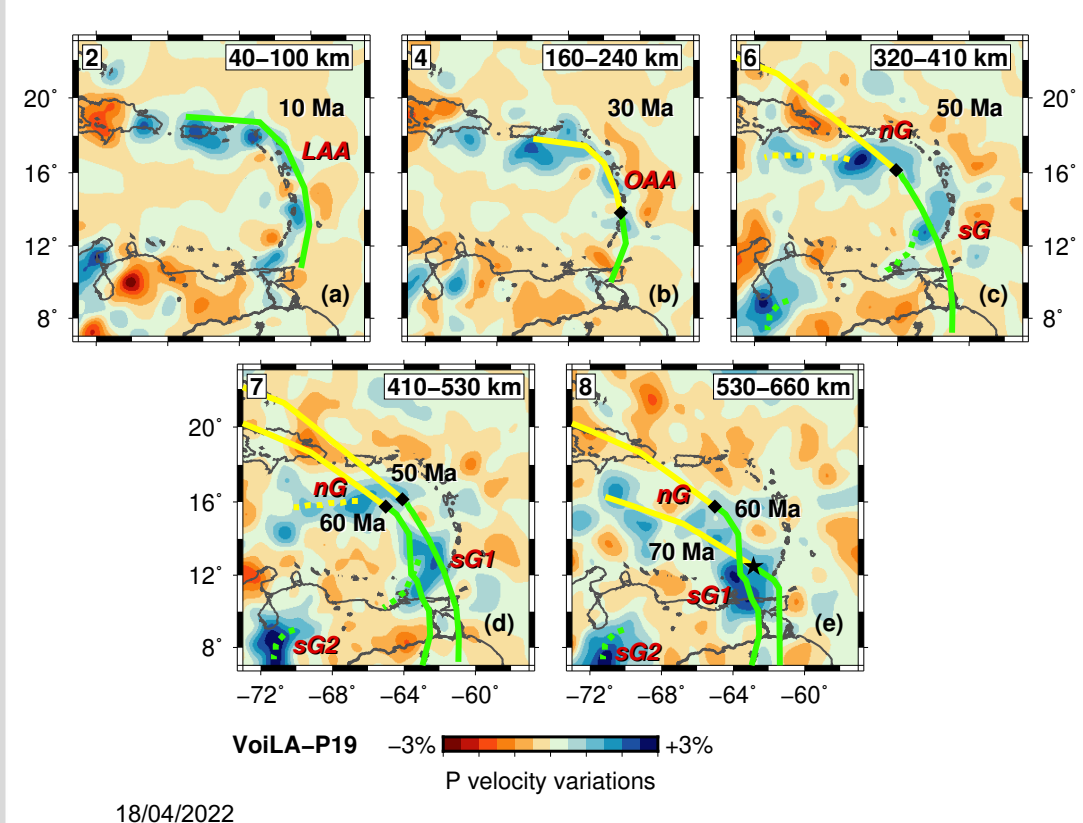
Reconstructed trench positions

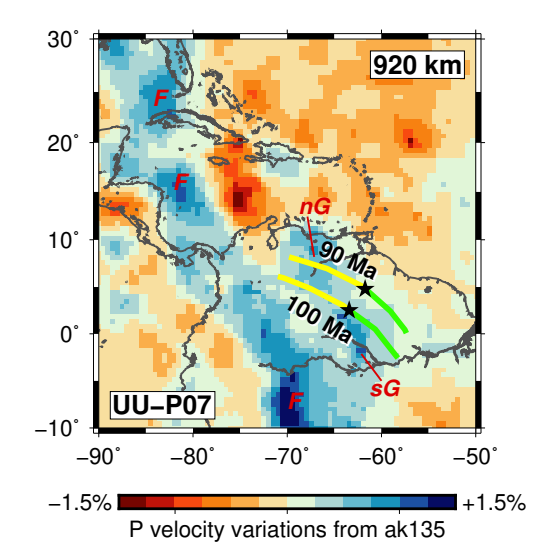




Vertically sinking slabs

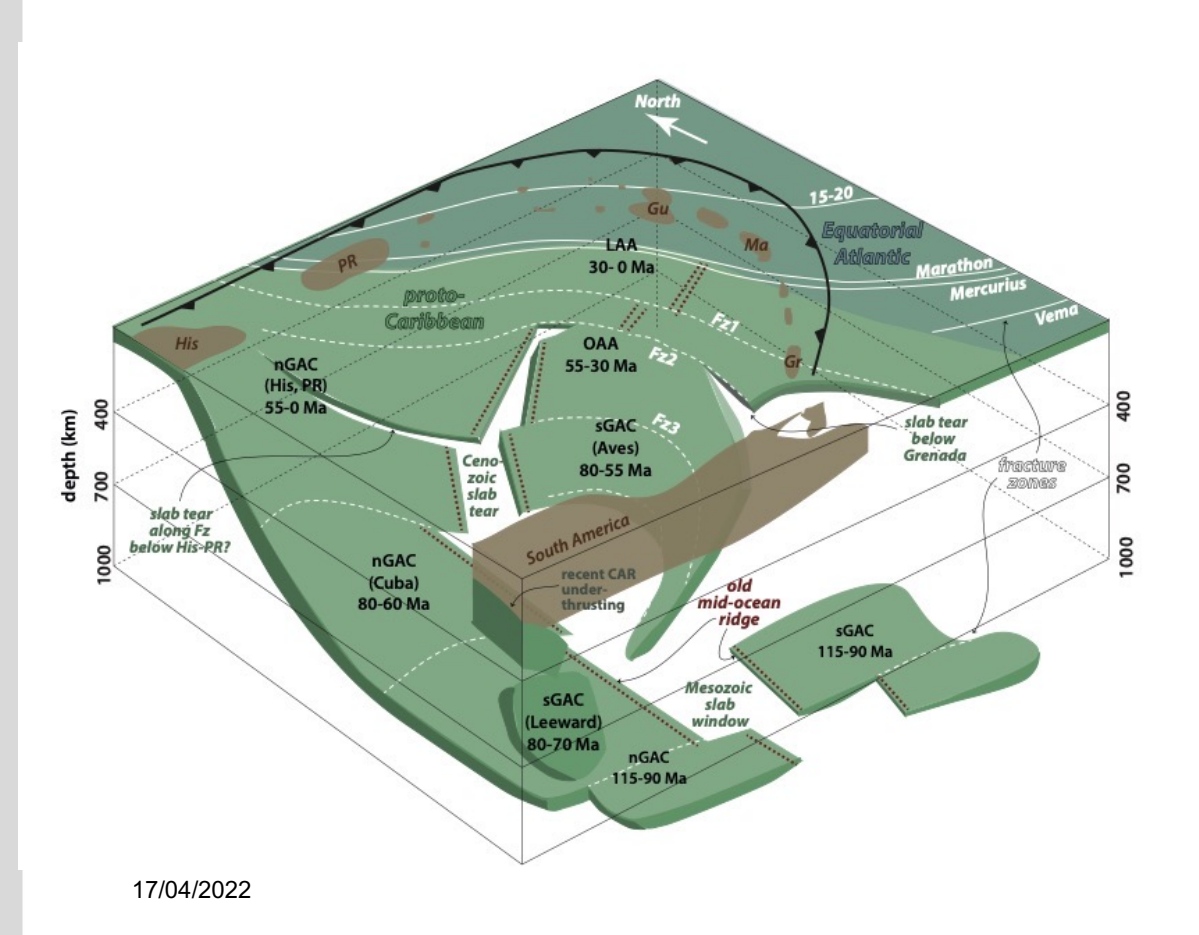


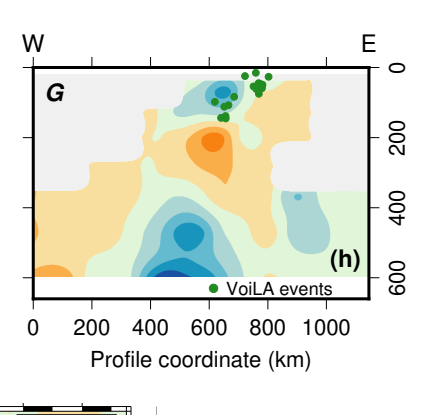


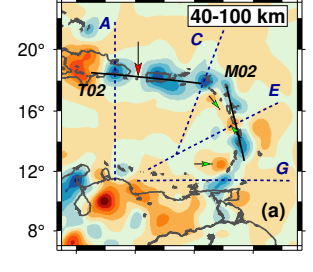


A tattered slab









Slab gaps and tears



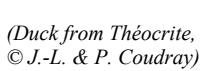
Einführung in die Geophysik II

Eigenschwingungen und komplexe seismische Phasen

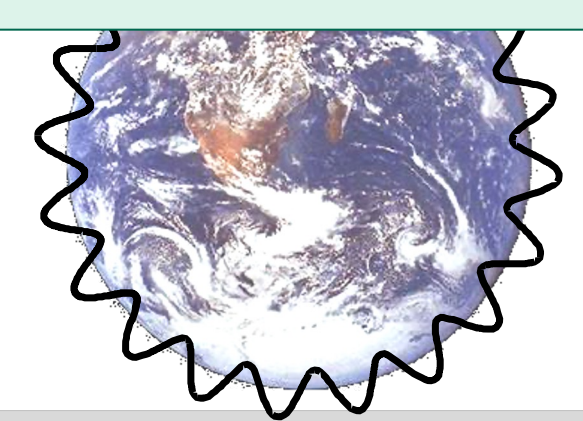
- Was sind Eigenschwingungen der Erde?
- Wodurch werden sie angeregt?
- Wie lassen sie sich mathematisch beschreiben?
- Was können wir aus ihnen über die Struktur der Erde erfahren?



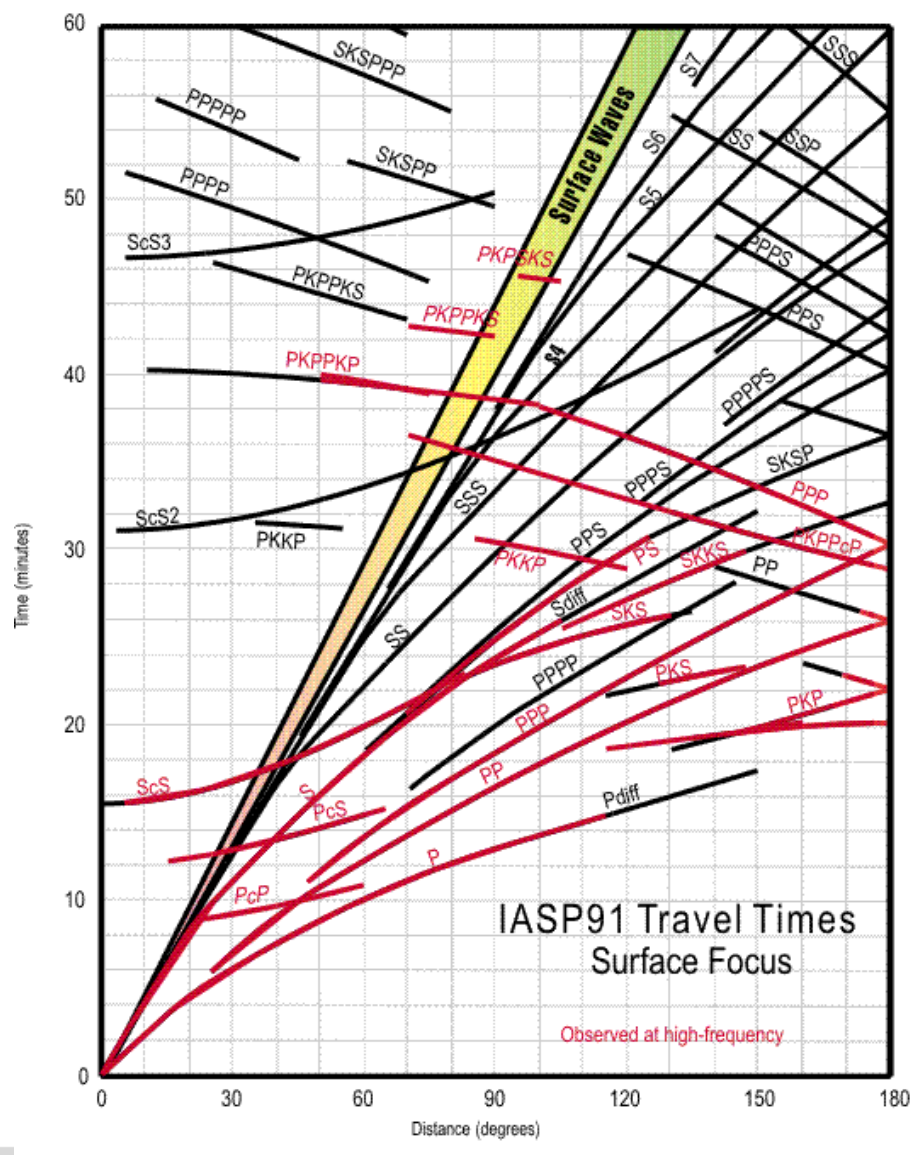
Geophysikalisches Institut, Fakult



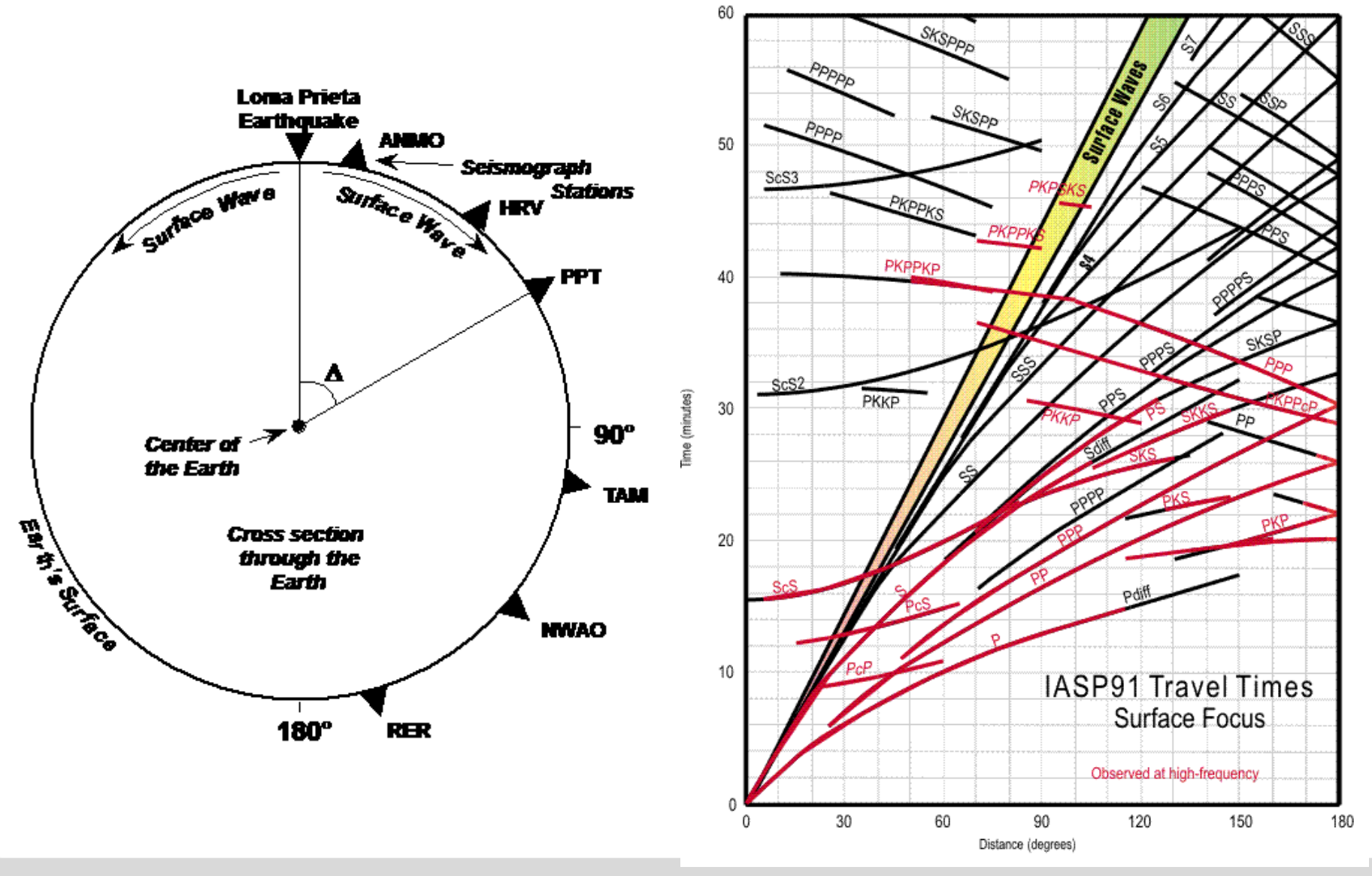




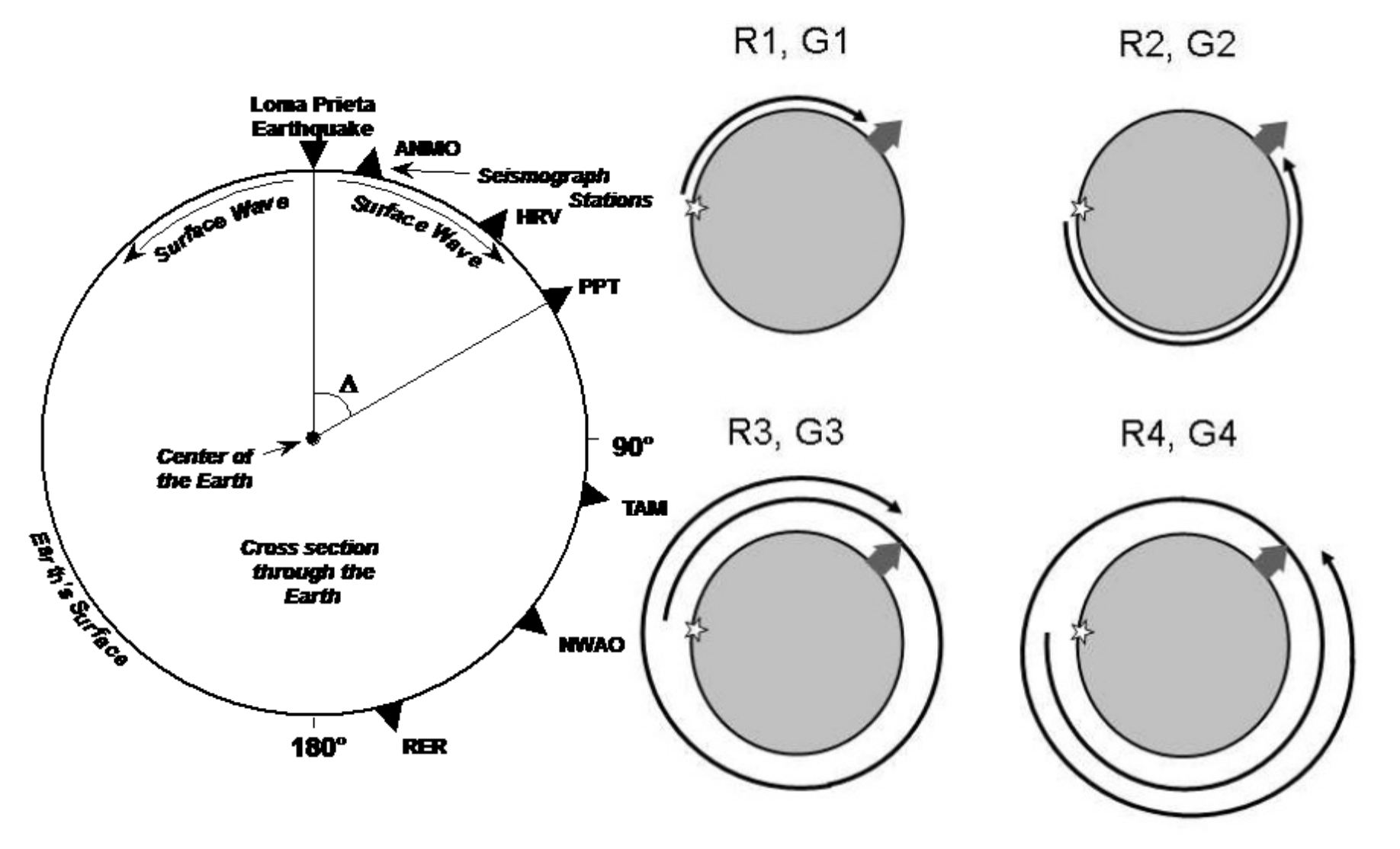




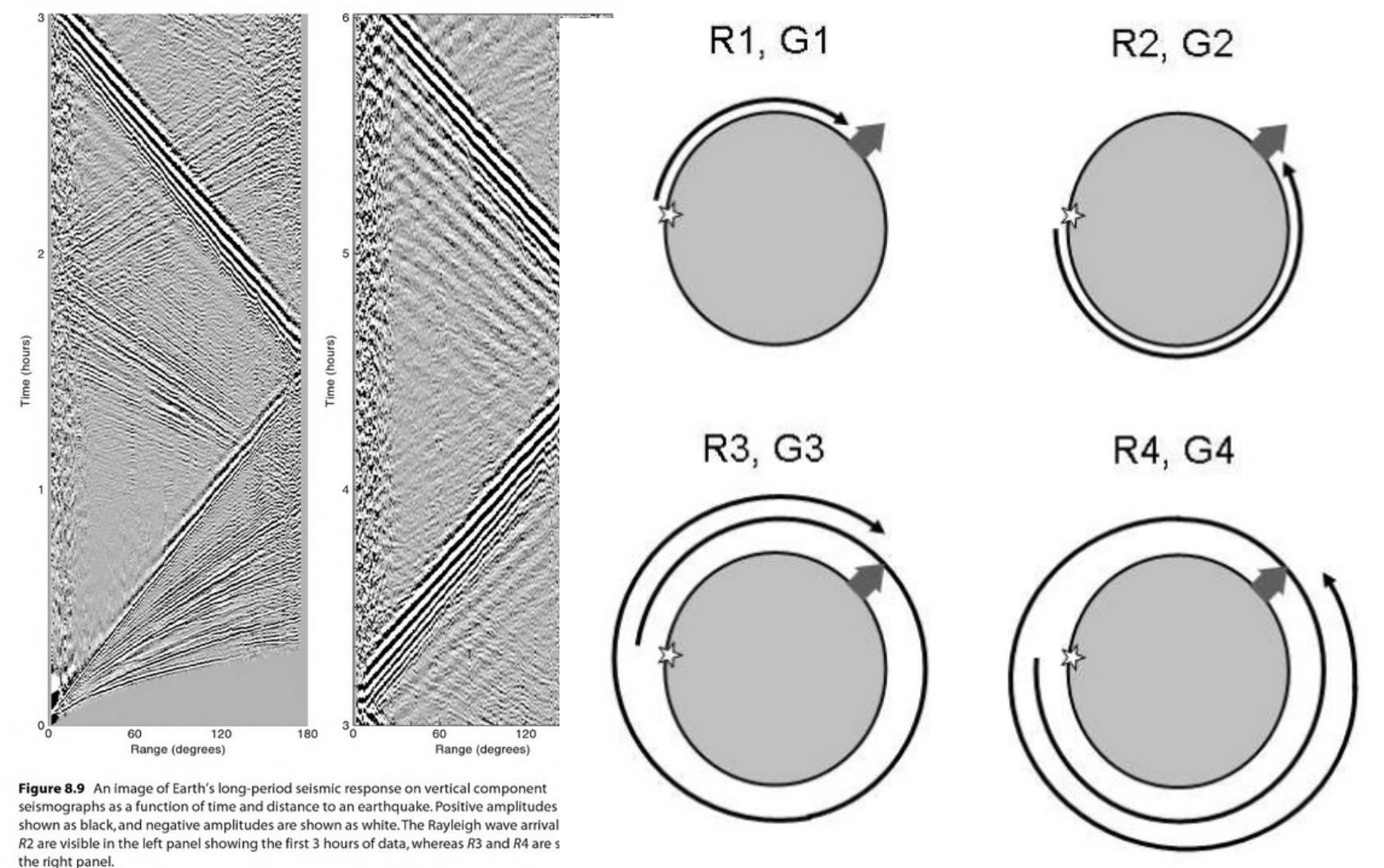














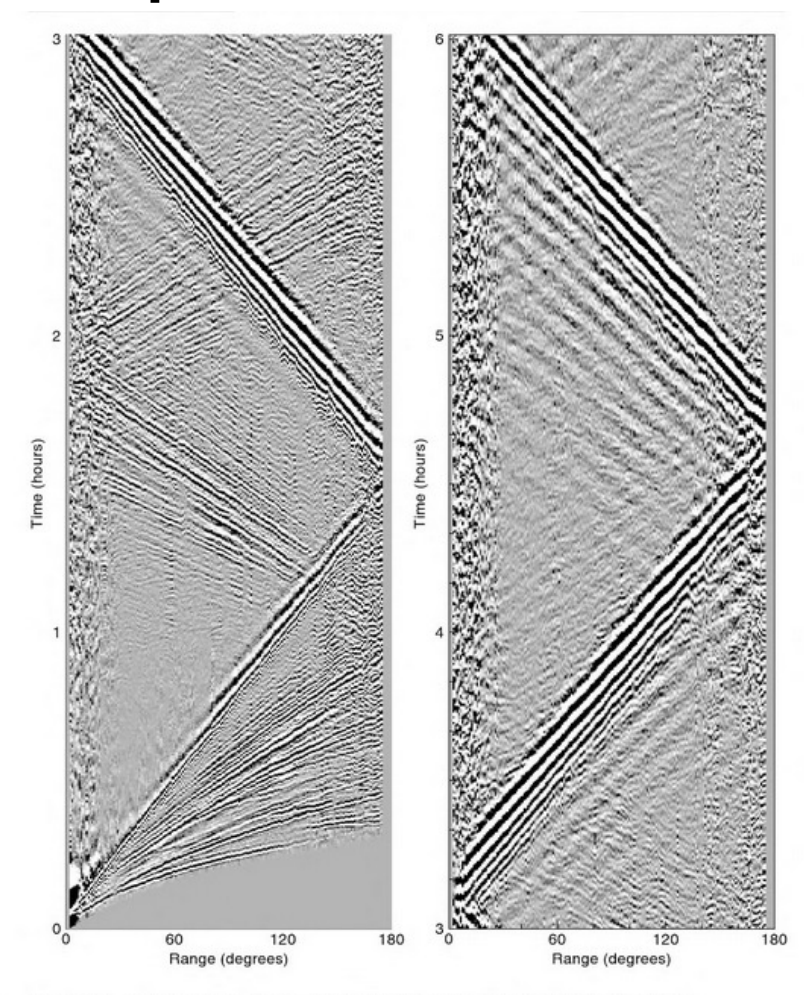
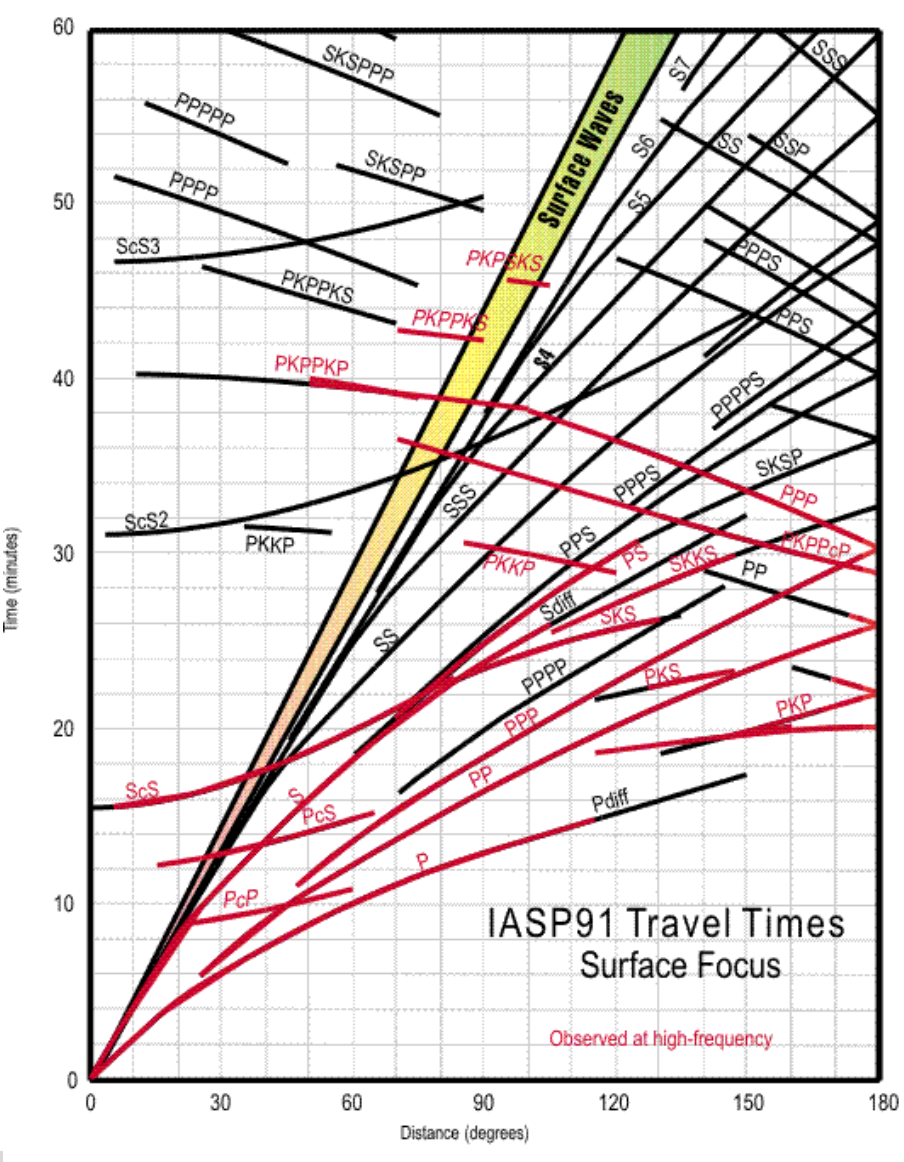
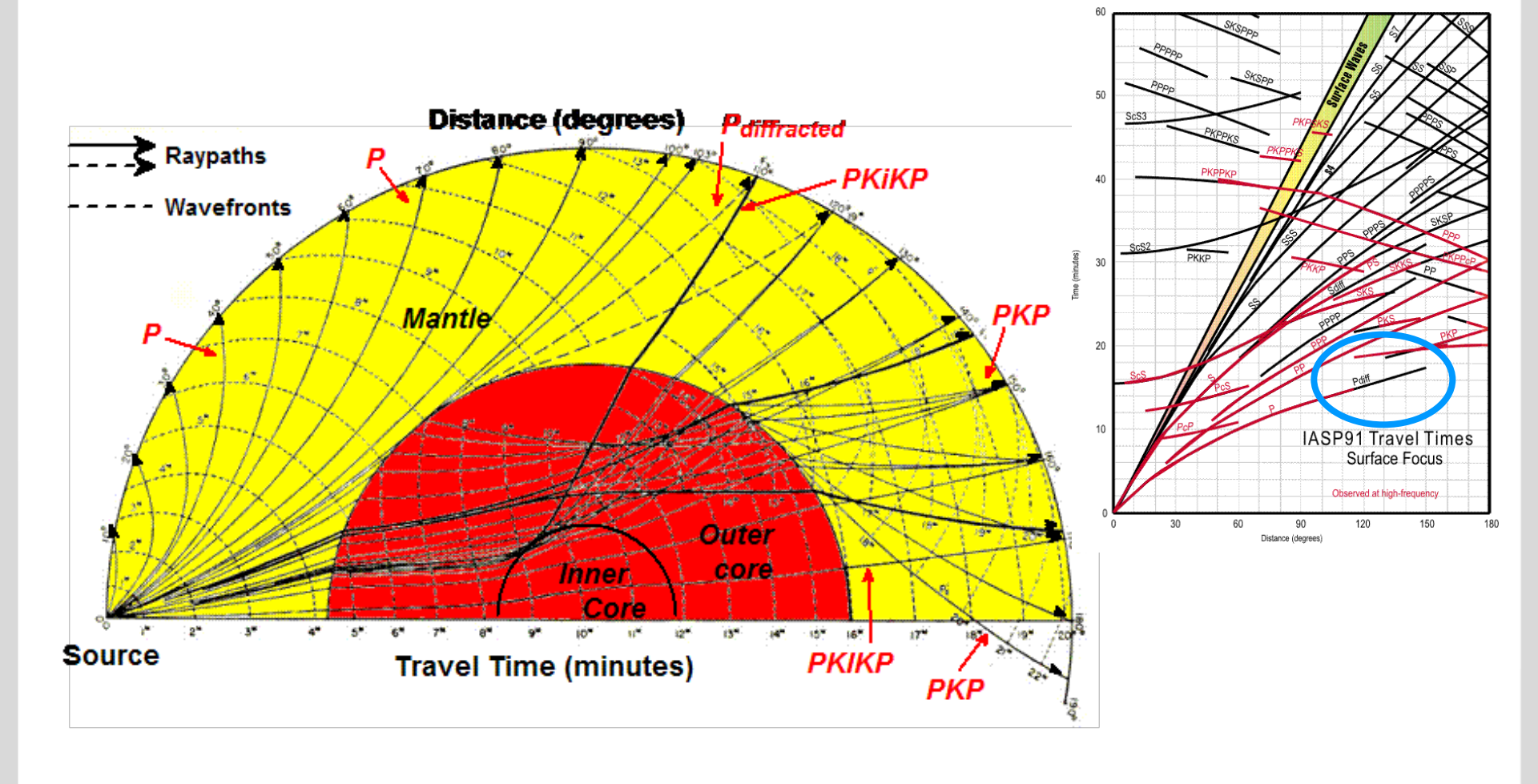


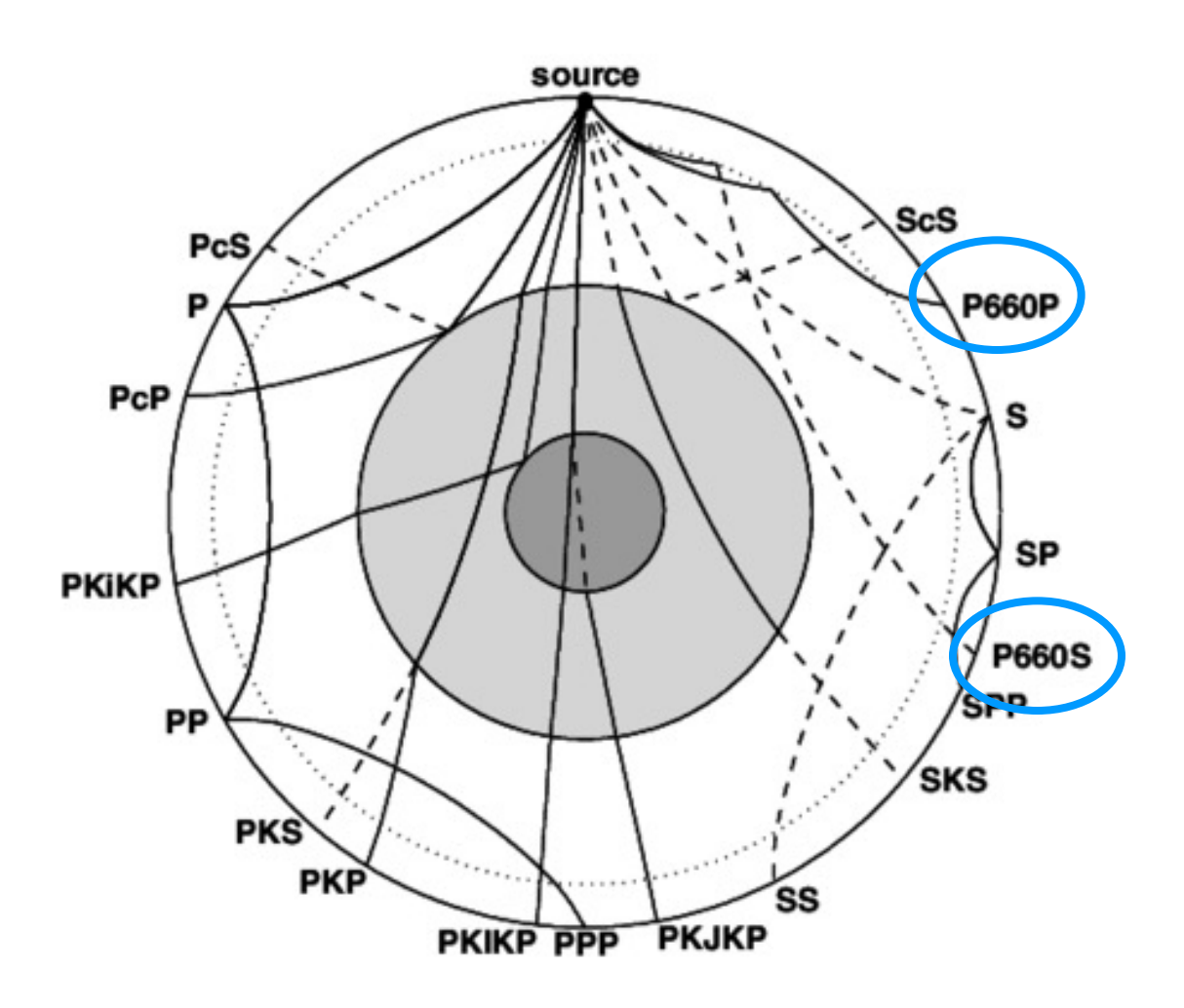
Figure 8.9 An image of Earth's long-period seismic response on vertical component seismographs as a function of time and distance to an earthquake. Positive amplitudes are shown as black, and negative amplitudes are shown as white. The Rayleigh wave arrivals R1 and R2 are visible in the left panel showing the first 3 hours of data, whereas R3 and R4 are seen on the right panel.

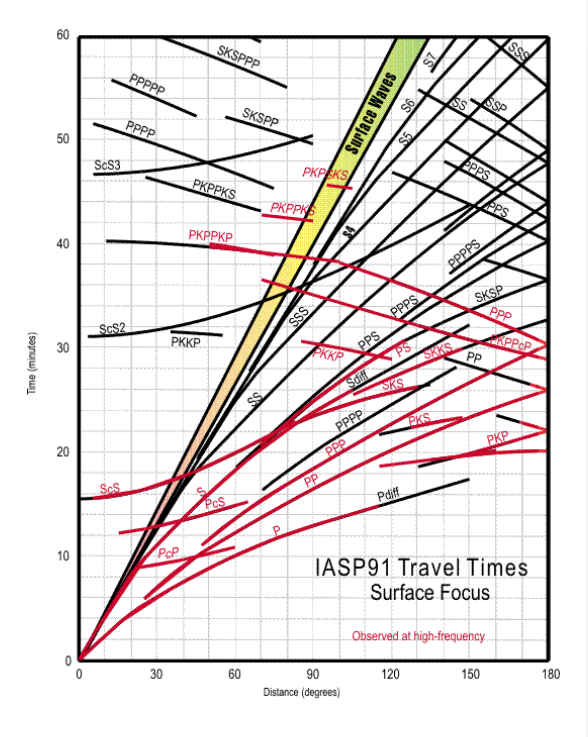




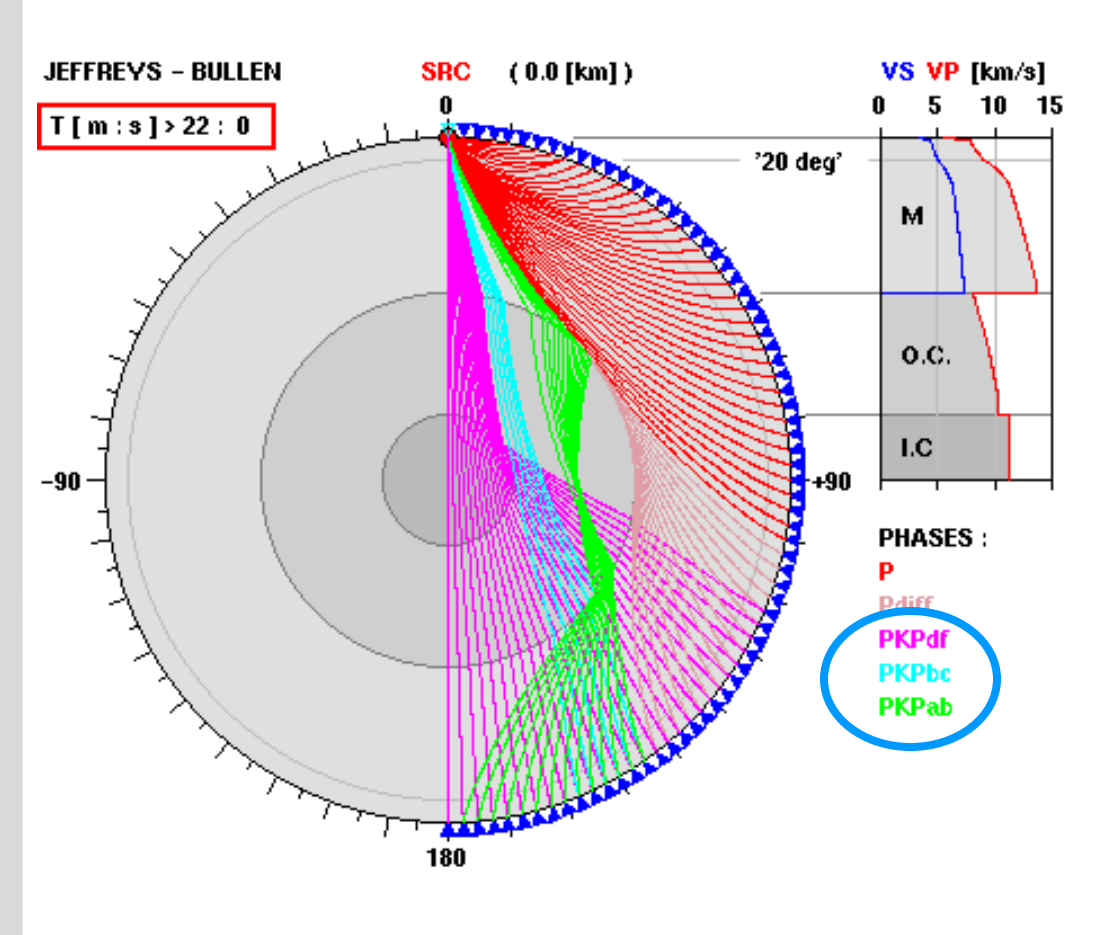




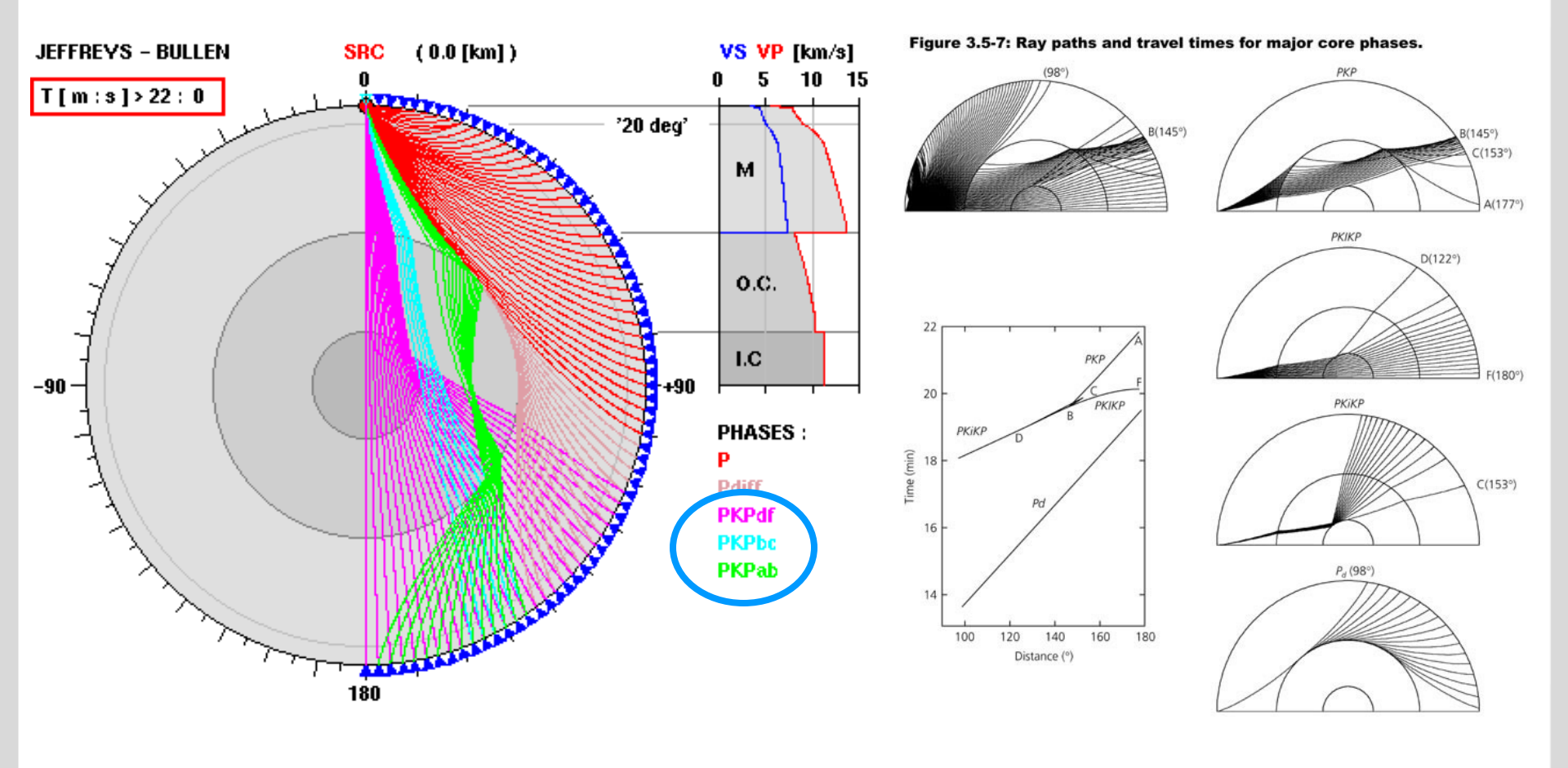




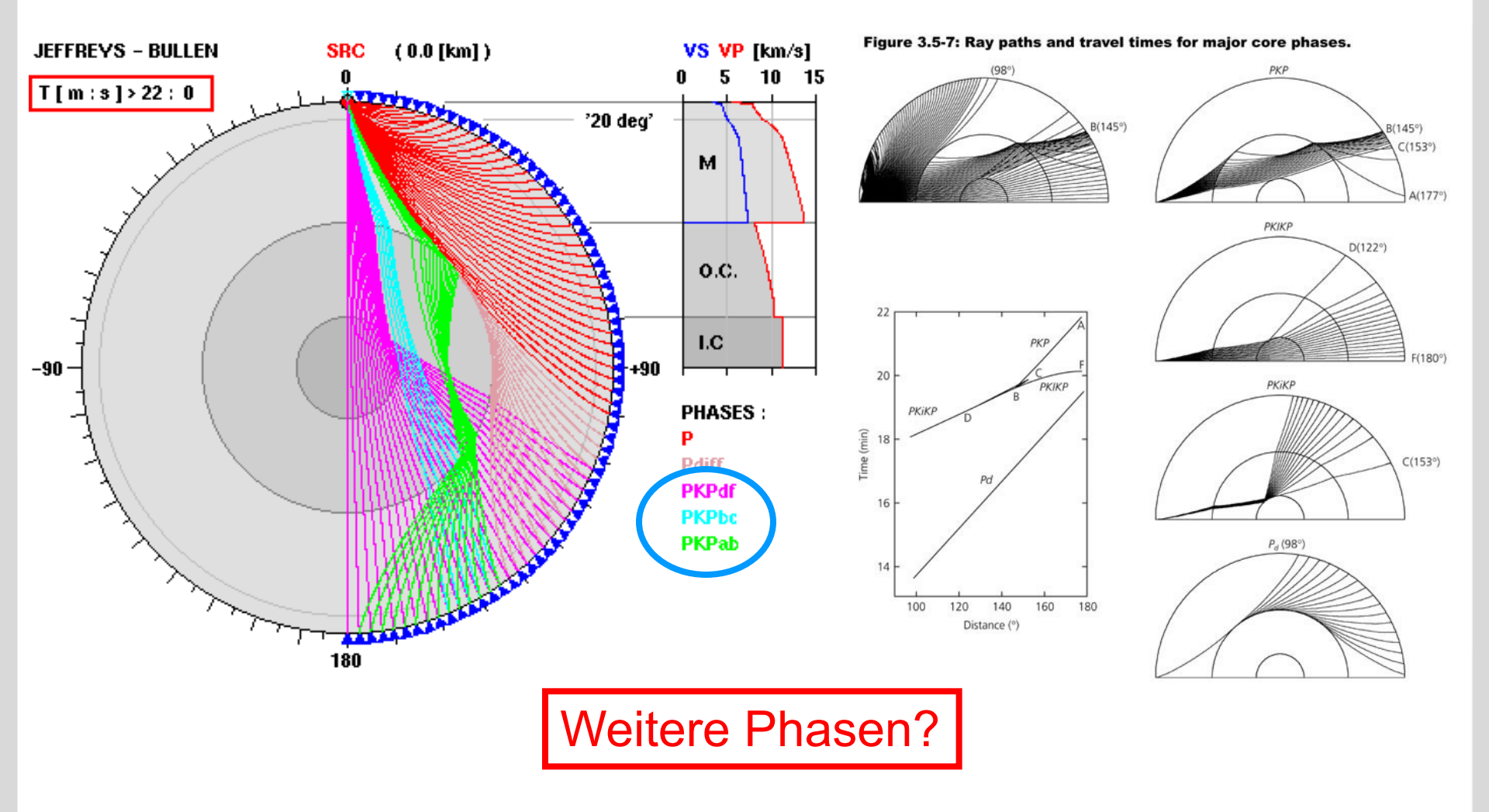








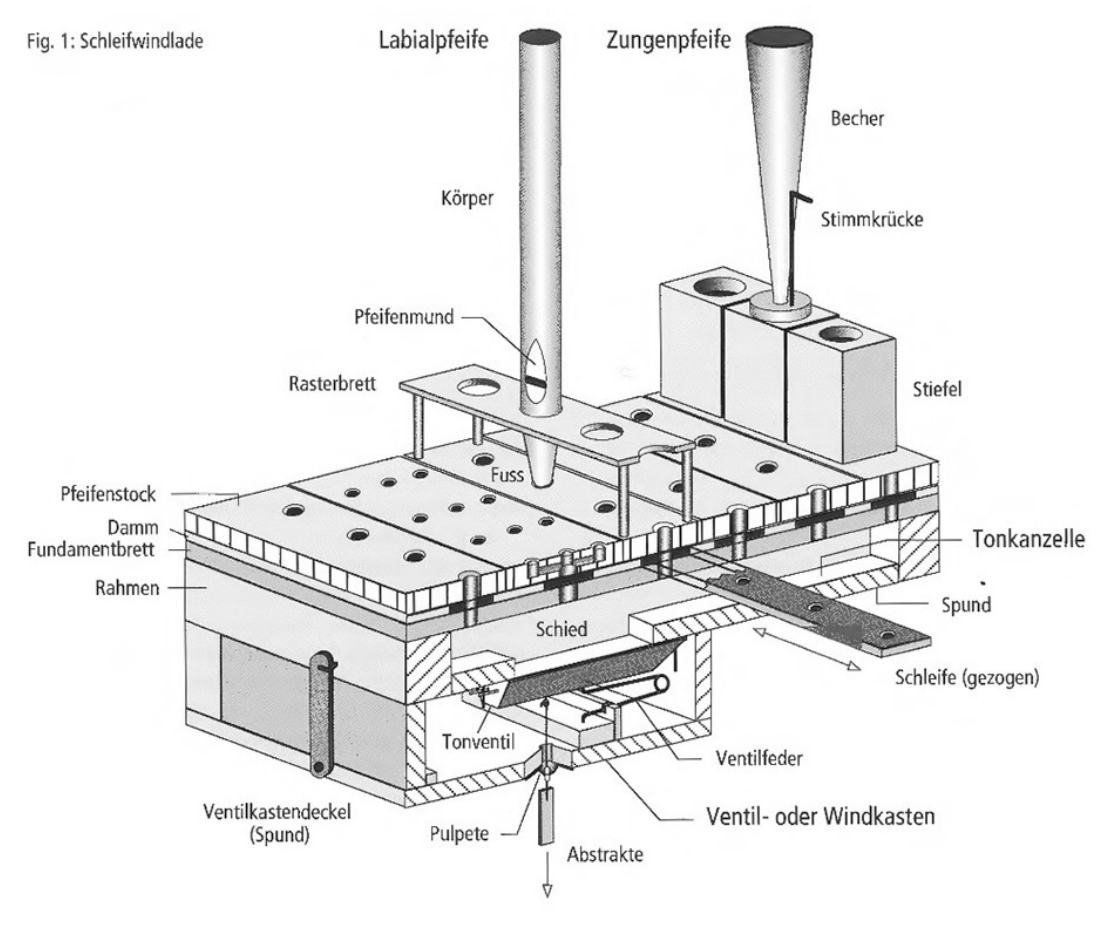










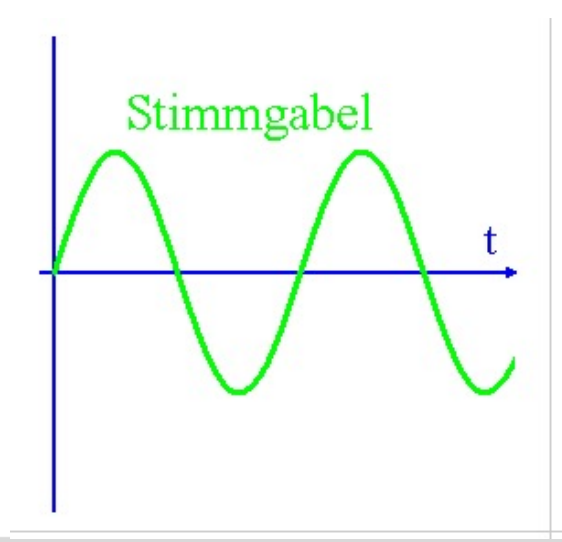


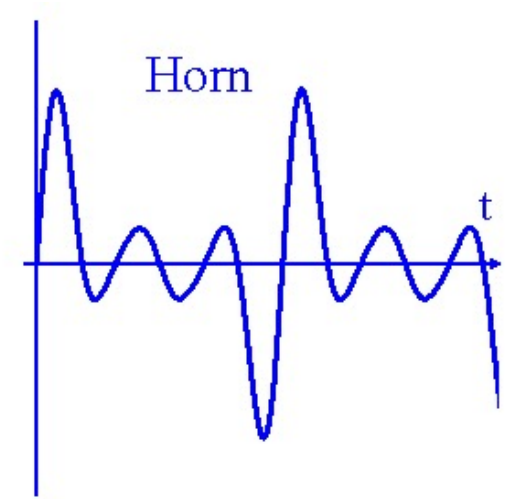


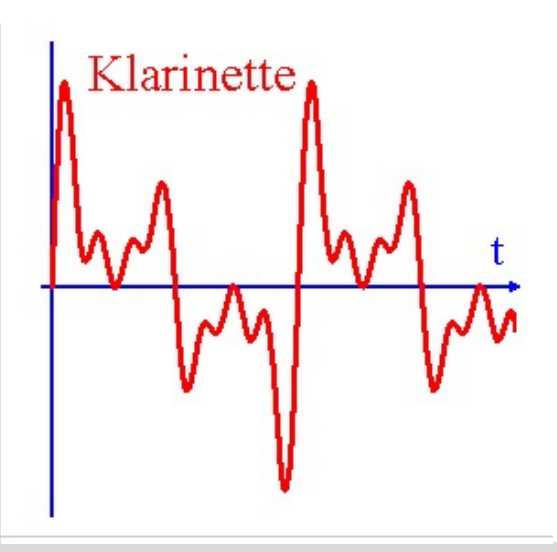




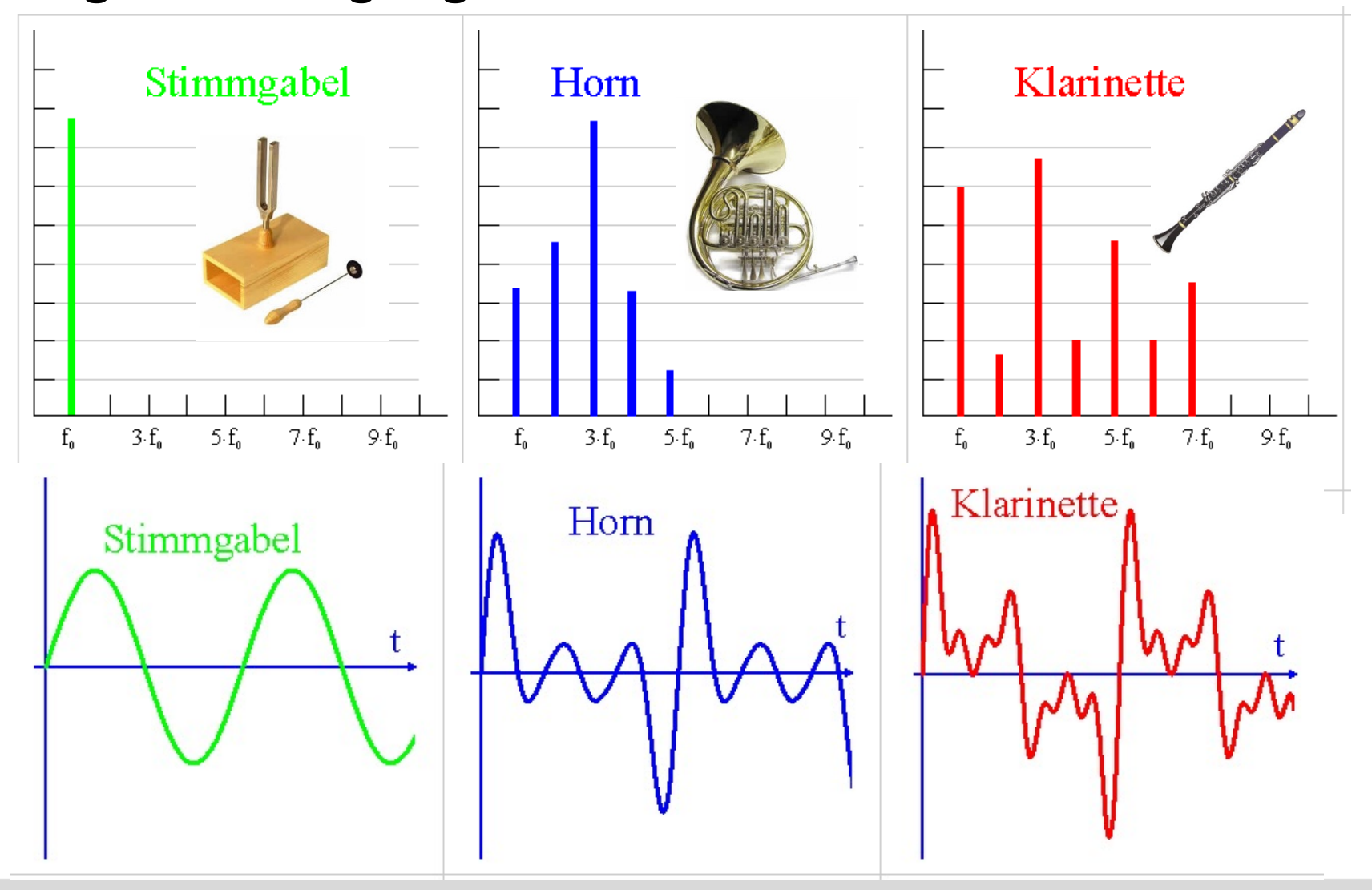










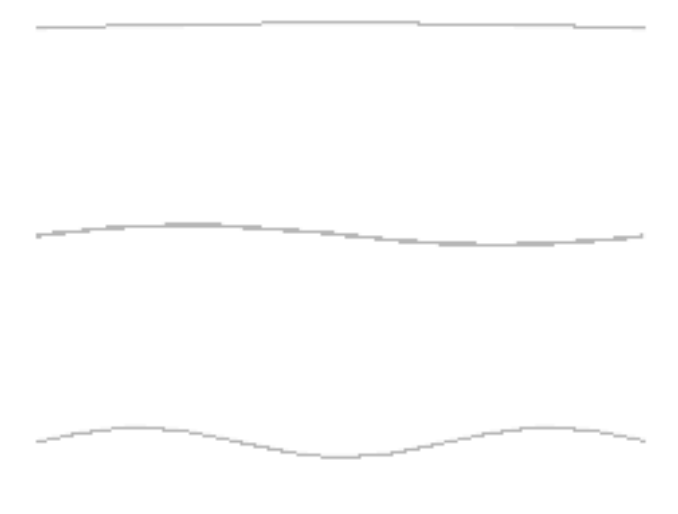




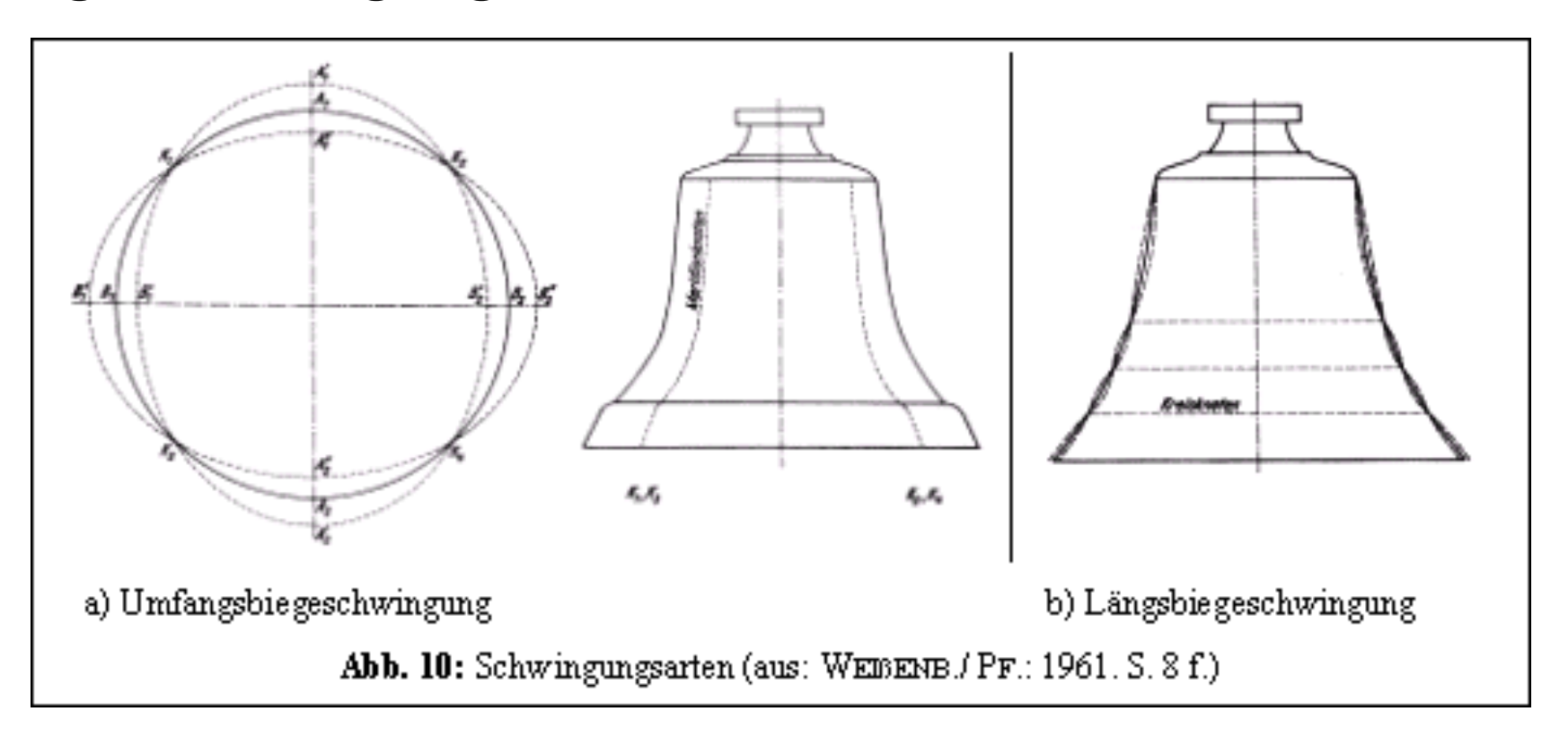




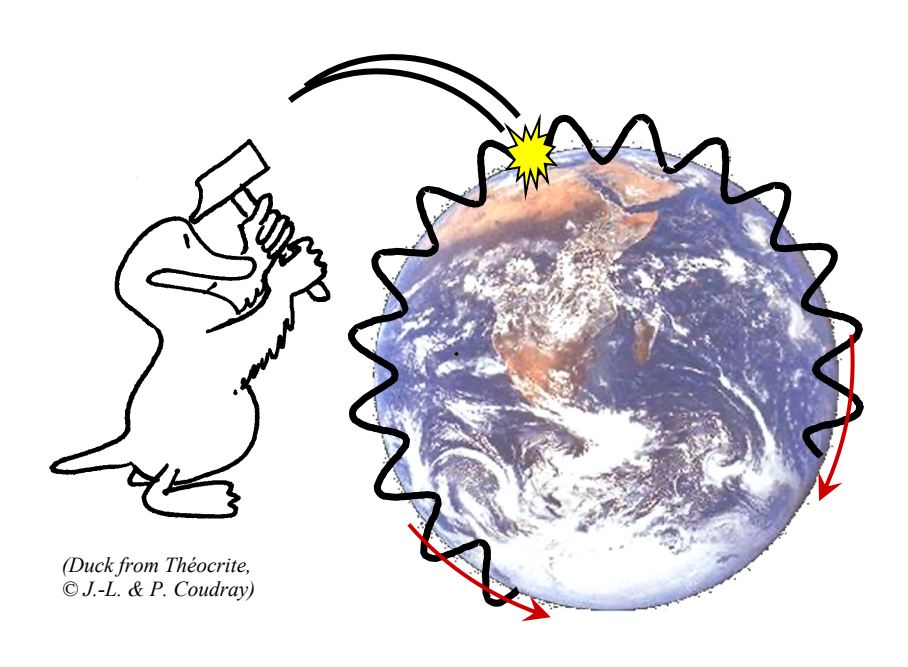












Few minutes after the earthquake Constructive interferences → free oscillations (or stationary waves)

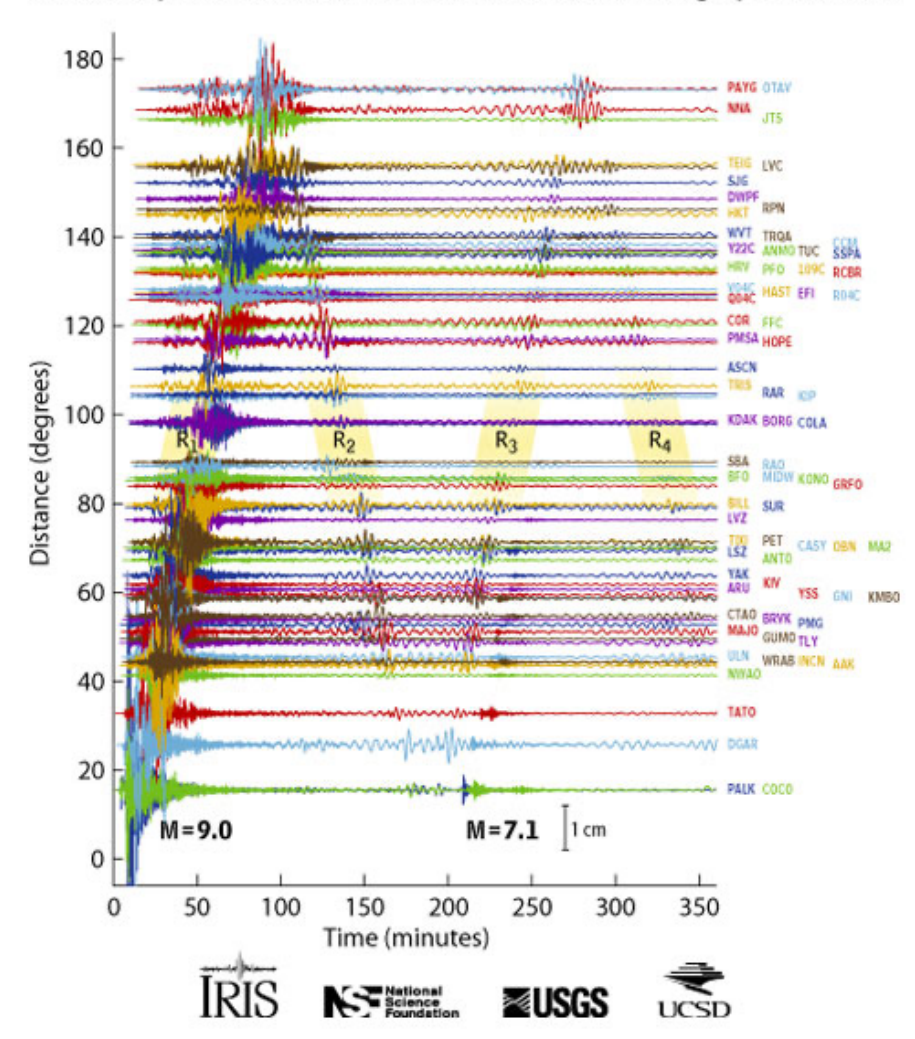


Few hours after the earthquake ($_0S_{20}$)

Quelle: Michel van Camp



Sumatra - Andaman Islands Earthquake (M_w=9.0) Global Displacement Wavefield from the Global Seismographic Network



Quelle: IRIS



Anregung durch:

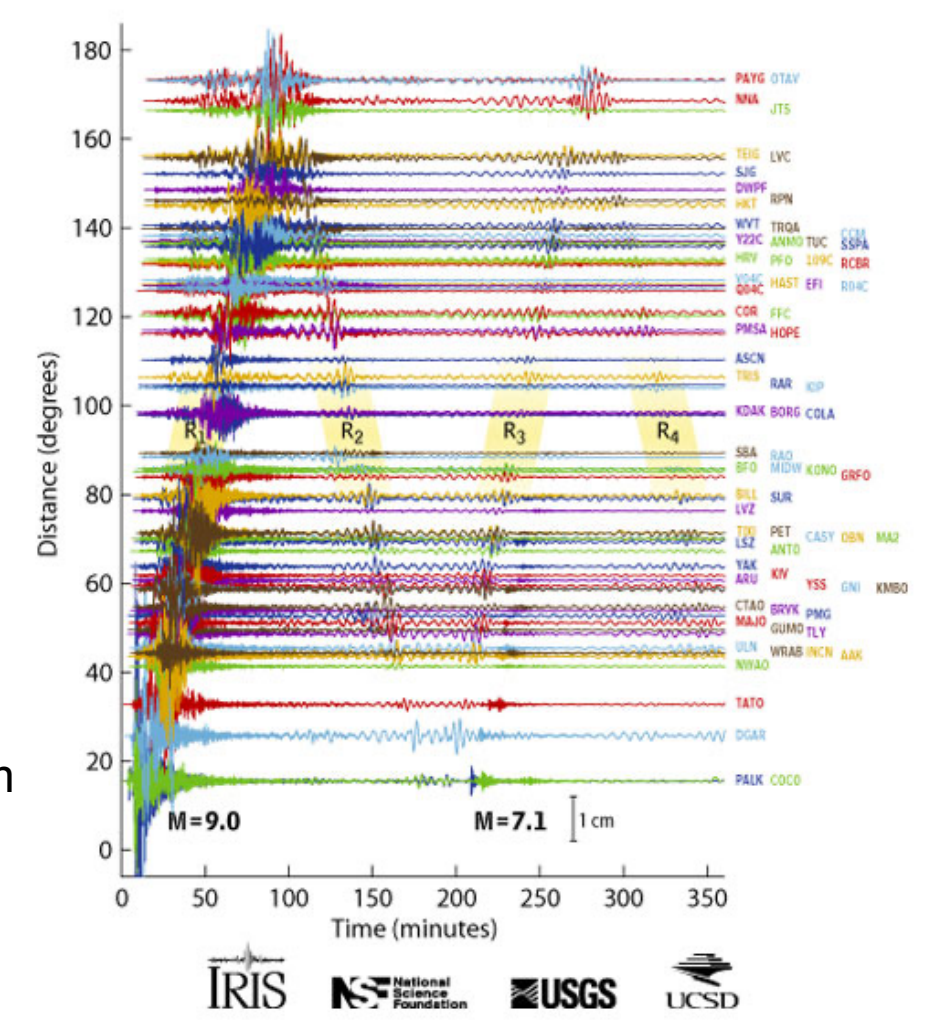
- Starke Erdbeben
- Vulkaneruptionen

Amplituden 10⁻⁸ m/s

Außerdem ständig angeregte Eigenschwingungen der Erde: Amplituden 10⁻¹¹ m/s² (Dazu später mehr...)

Zum Vergleich: Atomdurchmesser 1 $Å = 10^{-10}$ m

Sumatra - Andaman Islands Earthquake (M_w=9.0)
Global Displacement Wavefield from the Global Seismographic Network



Quelle: IRIS



Eigenschwingungen: Chile 1960

JOURNAL OF PHYSICS OF THE EARTH, Vol. 12, No. 2, 1964

Short Period Free Oscillation of the Earth Caused by the Chilean Earthquake of May 22, 1960 and Related Problems

Ву

Tomeo NAGAMUNE

Sapporo District Meteorological Observatory,

Yasuo Satô

Earthquake Research Institute, The University of Tokyo

and Masanori SAITO

Geophysical Institute, Faculty of Science, The University of Tokyo

Abstract

The free spheroidal oscillations of the earth corresponding to the period range 10.5 to 2.5 minutes have been observed in the spectrum of the seismogram recorded at Matsushiro following the Chilean earthquake of May 22, 1960. The observed periods and the phase velocities of the Rayleigh waves computed thereof have been compared with those obtained from many previous observations and the theoretical values. The attenuation of the oscillation was estimated in order to compute the Q values for a number of spectral peaks, and the possibility of observing short period vibrations was discussed in connection with the commencement time of the analysis.



- M = 9.6; stärkstes
 Erdbeben, das
 aufgezeichnet wurde
- fand kurz nach
 Entwicklung moderner
 elektromagnetischer
 Seismometer statt



Eigenschwingungen: Chile 1960

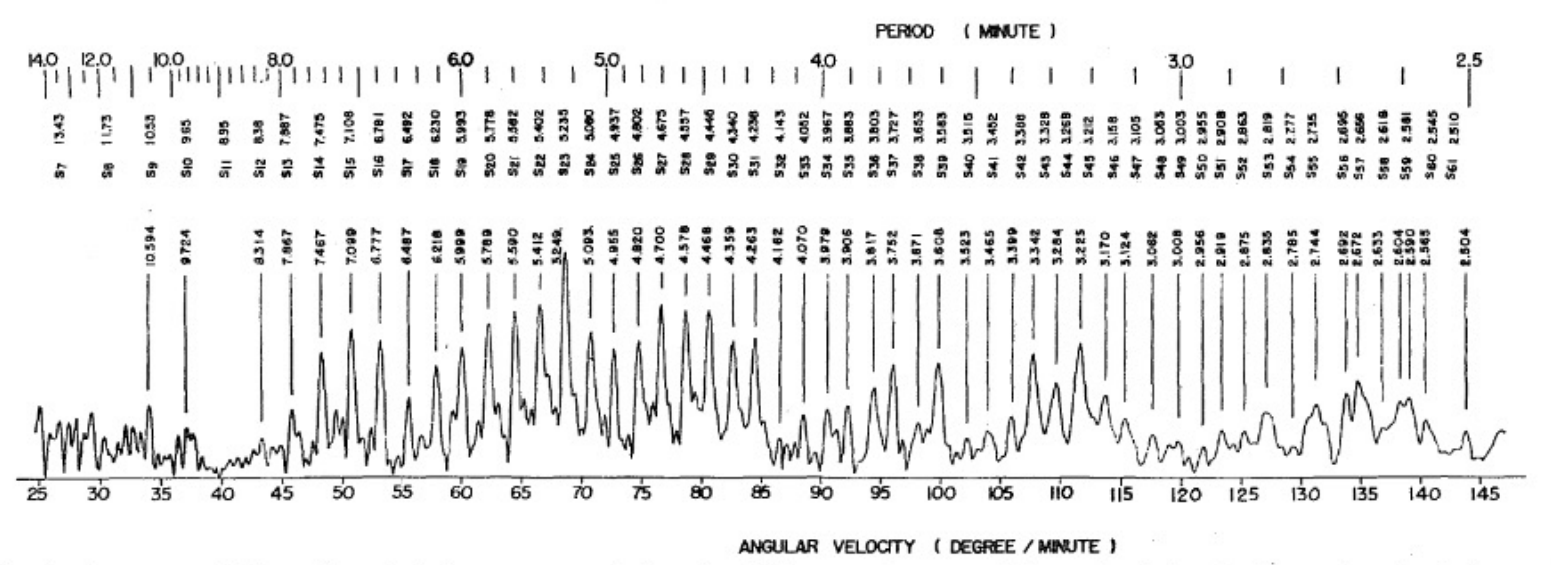


Fig. 1. Spectrum of Matsushiro Galitzin type record for the Chilean earthquake. Numerals right of the symbol S_n indicate the theoretical periods of spheroidal free oscillations for the Gutenberg-Bullen A model.



Eigenschwingungen: Sumatra, 2004

RESEARCH ARTICLE

Earth's Free Oscillations Excited by the 26 December 2004 Sumatra-Andaman Earthquake

Jeffrey Park,¹ Teh-Ru Alex Song,² Jeroen Tromp,² Emile Okal,³ Seth Stein,³ Genevieve Roult,⁴ Eric Clevede,⁴ Gabi Laske,⁵ Hiroo Kanamori,² Peter Davis,⁵ Jon Berger,⁵ Carla Braitenberg,⁶ Michel Van Camp,⁷ Xiang'e Lei,⁸ Heping Sun,⁸ Houze Xu,⁸ Severine Rosat⁹

At periods greater than 1000 seconds, Earth's seismic free oscillations have anomalously large amplitude when referenced to the Harvard Centroid Moment Tensor fault mechanism, which is estimated from 300- to 500-second surface waves. By using more realistic rupture models on a steeper fault derived from seismic body and surface waves, we approximated free oscillation amplitudes with a seismic moment (6.5×10^{22} Newton meters) that corresponds to a moment magnitude of 9.15. With a rupture duration of 600 seconds, the fault-rupture models represent seismic observations adequately but underpredict geodetic displacements that argue for slow fault motion beneath the Nicobar and Andaman islands.

The 26 December 2004 Sumatra-Andaman earthquake delivered a blow to our planet (1, 2), exciting a plethora of vibrational free oscillations that, at periods T > 1000 s, remained ob-

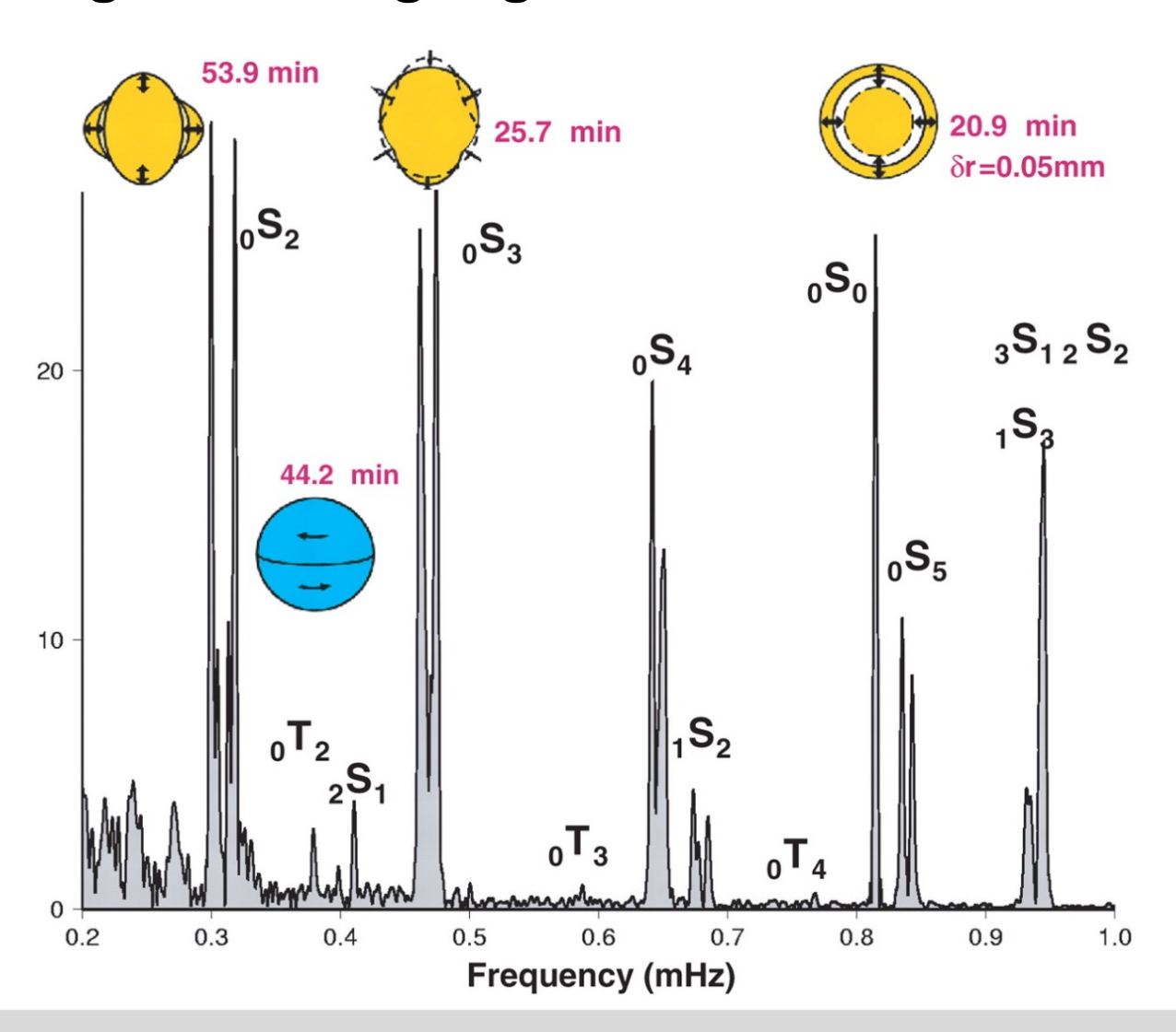
Because Earth is roughly spherical, the geographical patterns of its free vibrational modes can be expressed in terms of the spherical harmonics, $Y_{lm}(\theta,\phi)$, and their vector gra-

deeper earthquakes, more amenable to handdigitization and Fourier analysis, led to accurate spherical-reference models for our planet's interior (6). Detailed study of free-oscillation attenuation, frequency splitting, and modal coupling was made feasible by digital recording (7, 8, 27, 28) and by the advent of the Federation of Digital Seismic Networks (FDSN) with high-dynamic range induction-feedback sensors capable of recording faithfully the seismic waves from great earthquakes (29, 30).

Broadband seismographic data. The 2004 Sumatra-Andaman earthquake tested broadband seismographic technology on a global scale.



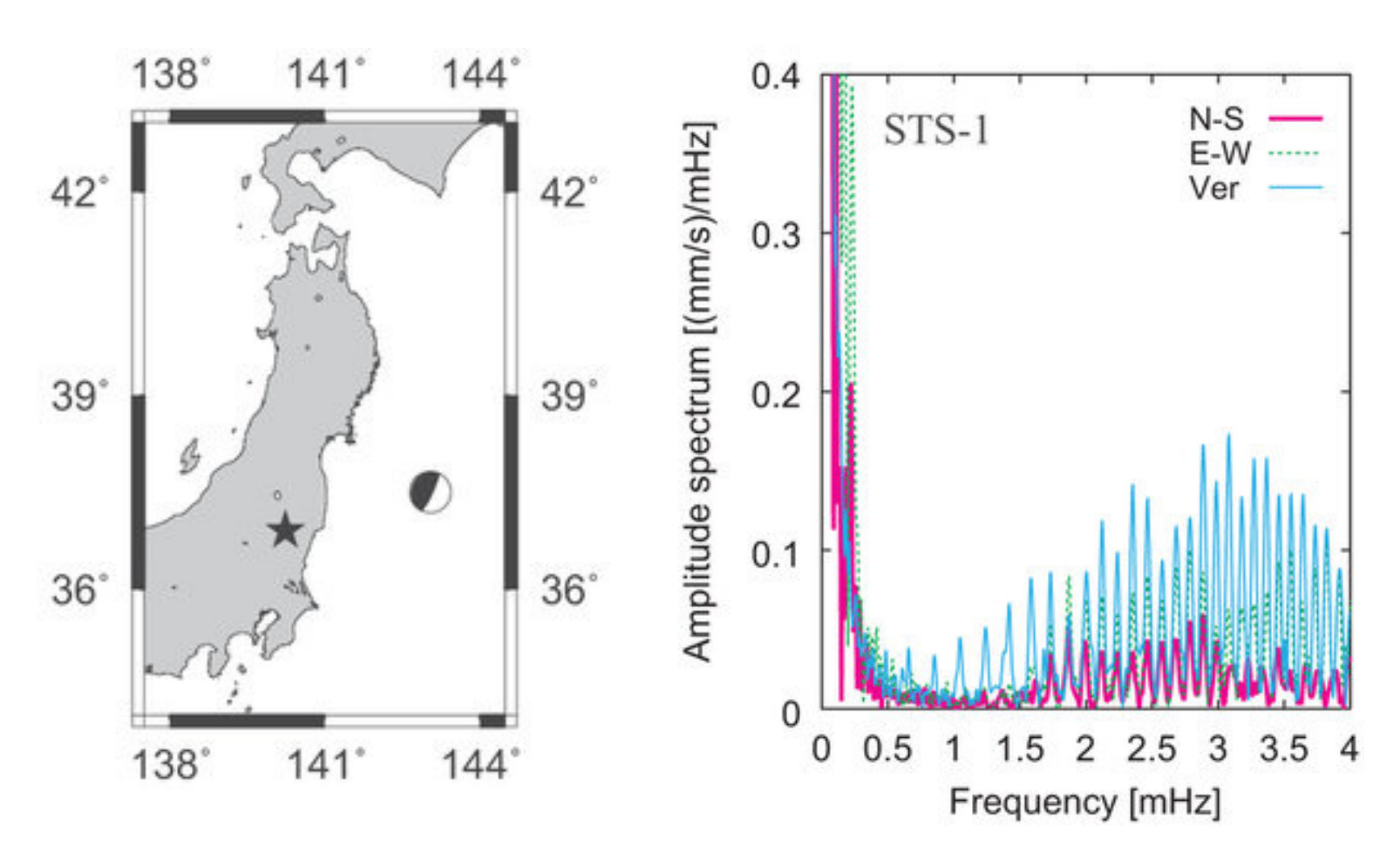
Eigenschwingungen: Sumatra, 2004



Quelle: Park et al.



Eigenschwingungen: Tohoku, 2011

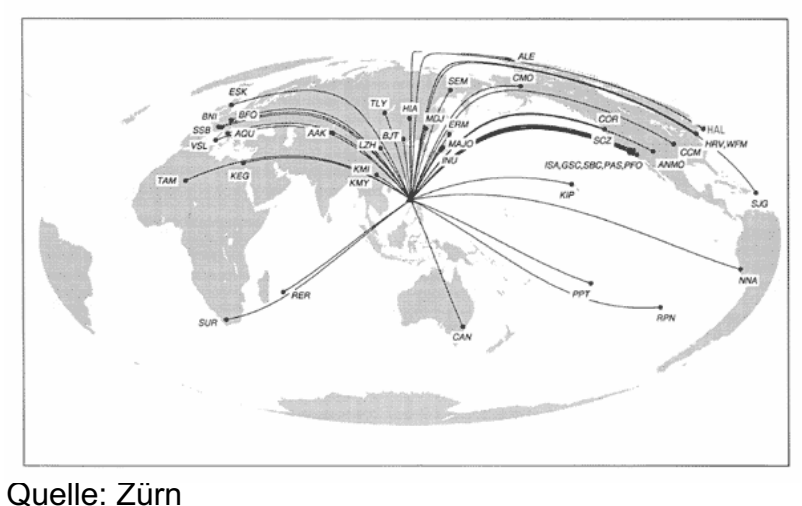


Quelle: Mistsui und Heki, Nature, 2012



Eigenschwingungen: Pinatubo, 1991





3 4 5 6 7 8 9 10 FREQUENCY (MHZ)

Prof. Andreas Rietbrock— Vorlesung zur Einführung in die Geophysik II



Gleichung zur Beschreibung der Eigenschwingung einer Saite:

$$d(x,t) = \sum_{j=0}^{\infty} A_j \sin(\frac{\omega_j x}{c}) \cos(\omega_j t)$$

Quelle: van Camp



Gleichung zur Beschreibung der Eigenschwingung einer Saite:

$$d(x,t) = \sum_{j=0}^{\infty} A_j \sin(\frac{\omega_j x}{c}) \cos(\omega_j t)$$

Gleichung zur Beschreibung der Eigenschwingung einer Kugel:

$$d^{S}(r,\theta,\phi) = \sum_{n=0}^{\infty} \sum_{l=0}^{\infty} \sum_{m=-l}^{\infty} A_{l}^{m} \Big[{}_{n}U_{l}(r) R_{l}^{m}(\theta,\phi) + {}_{n}V_{l}(r) S_{l}^{m}(\theta,\phi) \Big] e^{i {}_{n}\omega_{l}^{m}t}$$

$$d^{T}(r,\theta,\phi) = \sum_{n=0}^{\infty} \sum_{l=0}^{\infty} \sum_{m=-l}^{l} A_{l}^{m} W_{l}(r) T_{l}^{m}(\theta,\phi) e^{i n \omega_{l}^{m} t}$$

Quelle: van Camp



Gleichung zur Beschreibung der Eigenschwingung einer Saite:

$$d(x,t) = \sum_{j=0}^{\infty} A_j \sin(\frac{\omega_j x}{c}) \cos(\omega_j t)$$

Gleichung zur Beschreibung der Eigenschwingung einer Kugel:

$$\left(d^{S}(r)\theta, \phi \right) = \sum_{n=0}^{\infty} \sum_{l=0}^{\infty} \sum_{m=-l}^{\infty} A_{l}^{m} \left[{}_{n}U_{l}(r)R_{l}^{m}(\theta, \phi) + {}_{n}V_{l}(r)S_{l}^{m}(\theta, \phi) \right] e^{i {}_{n}\omega_{l}^{m}t}$$

$$\left(d^T(r, \theta, \phi) = \sum_{n=0}^{\infty} \sum_{l=0}^{\infty} \sum_{m=-l}^{l} A_l^m W_l(r) T_l^m(\theta, \phi) e^{i \omega_l^m t} \right)$$

Sphäroidaler Term

Toroidaler Term

Quelle: van Camp

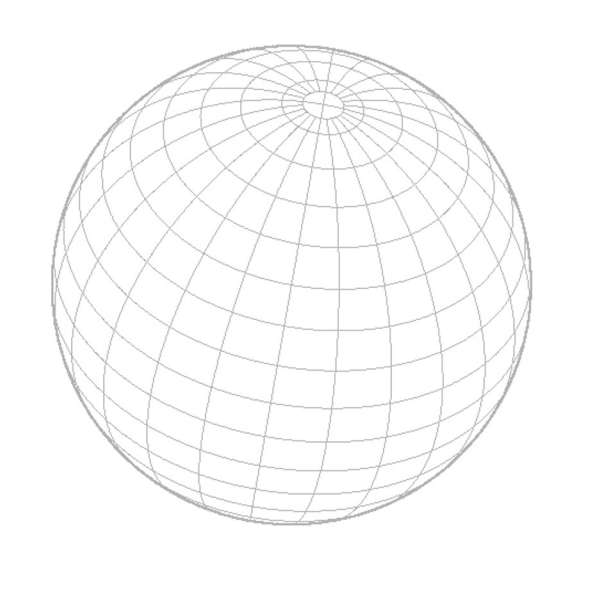


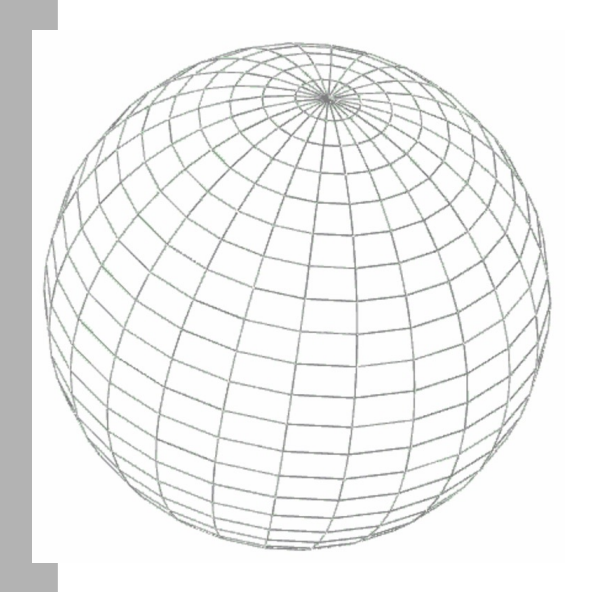
Sphäroidaler Term

Toroidaler Term

 nS_l





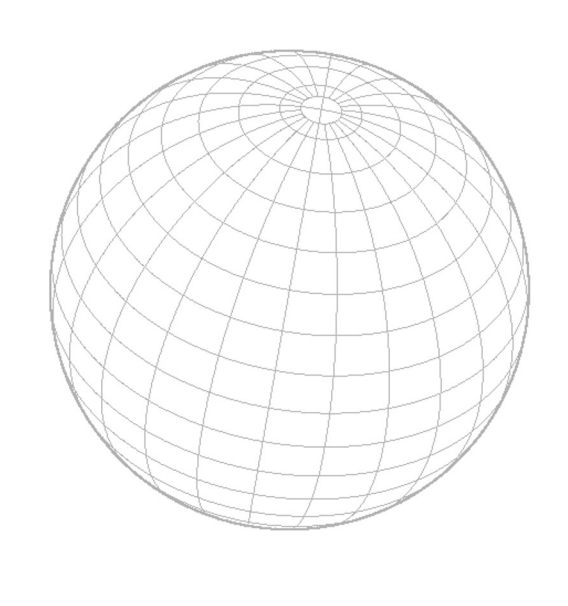




Sphäroidaler Term

Index n gibt Grad des Obertons an





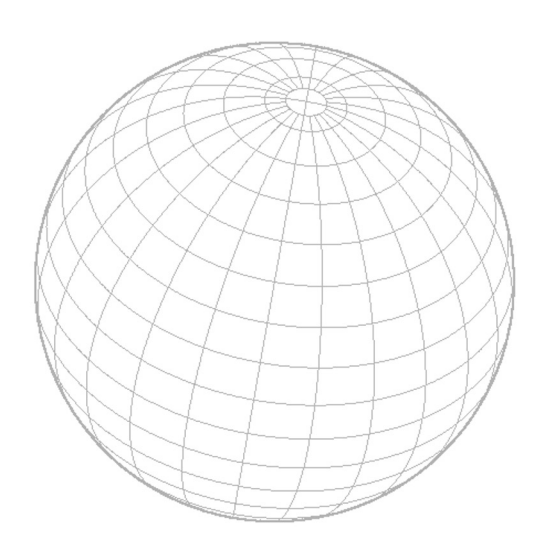


Sphäroidaler Term

Index n gibt Grad des Obertons an

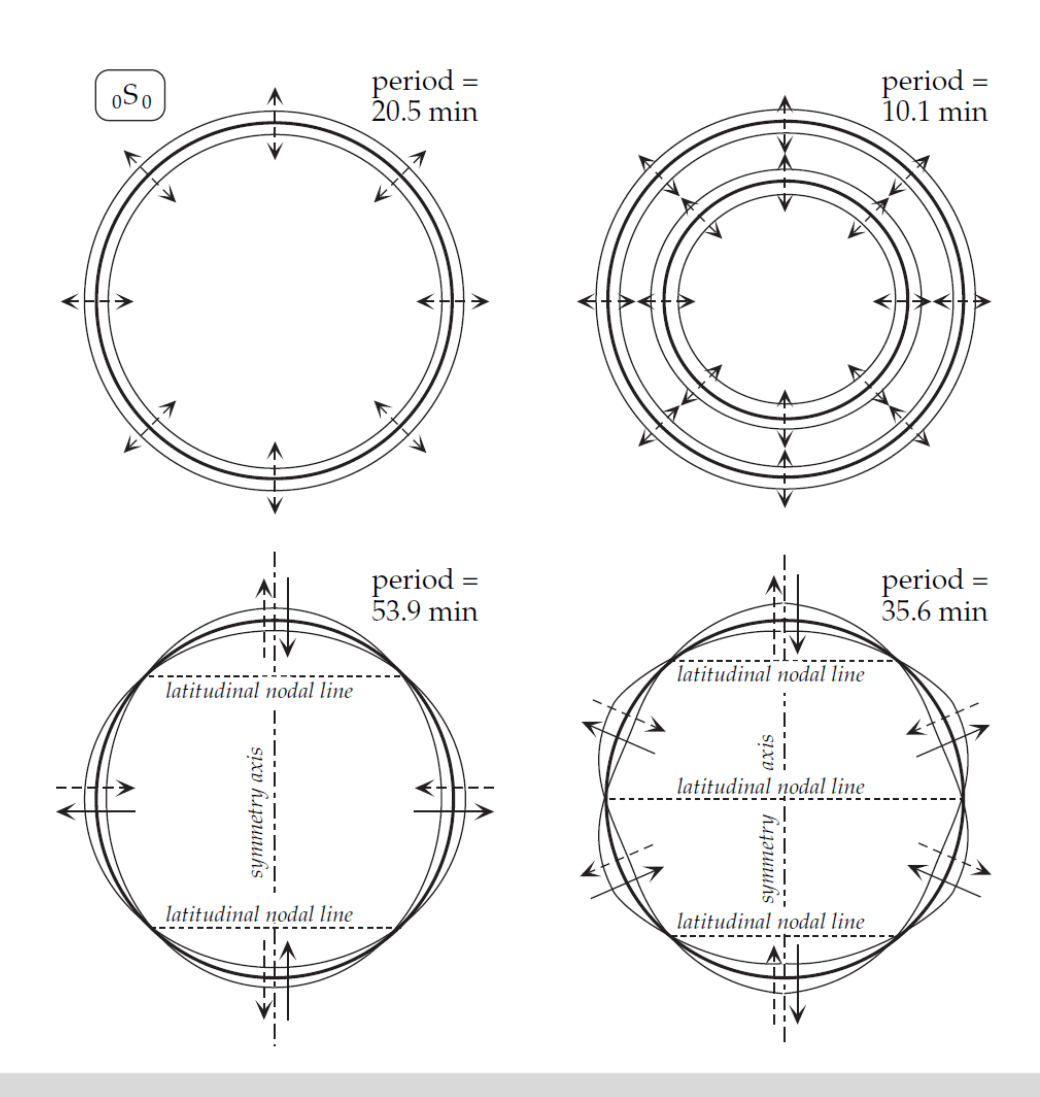


Index I gibt Zahl der äquatorialen Knotenebenen an







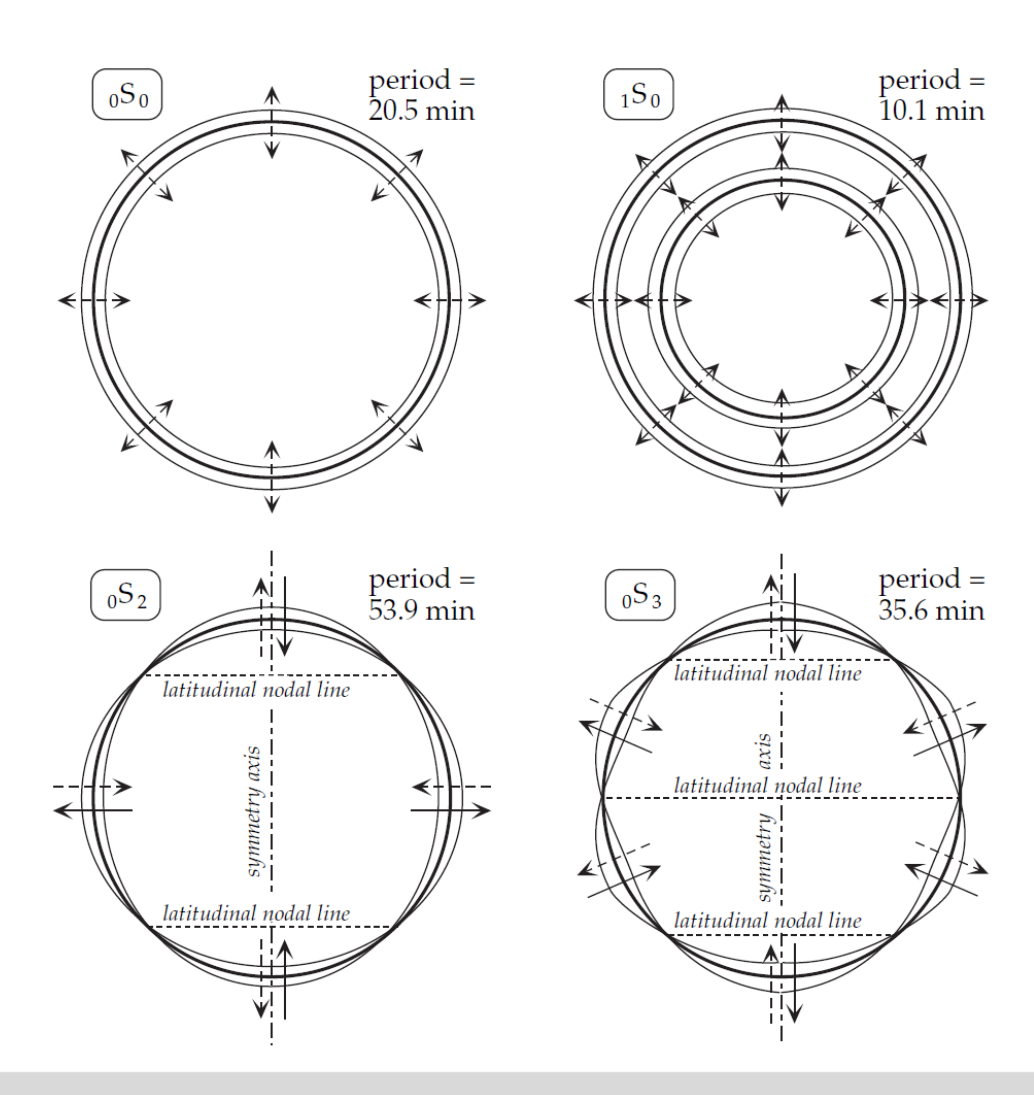


Index n gibt Grad des Obertons an

Index I gibt Zahl der äquatorialen Knotenebenen an





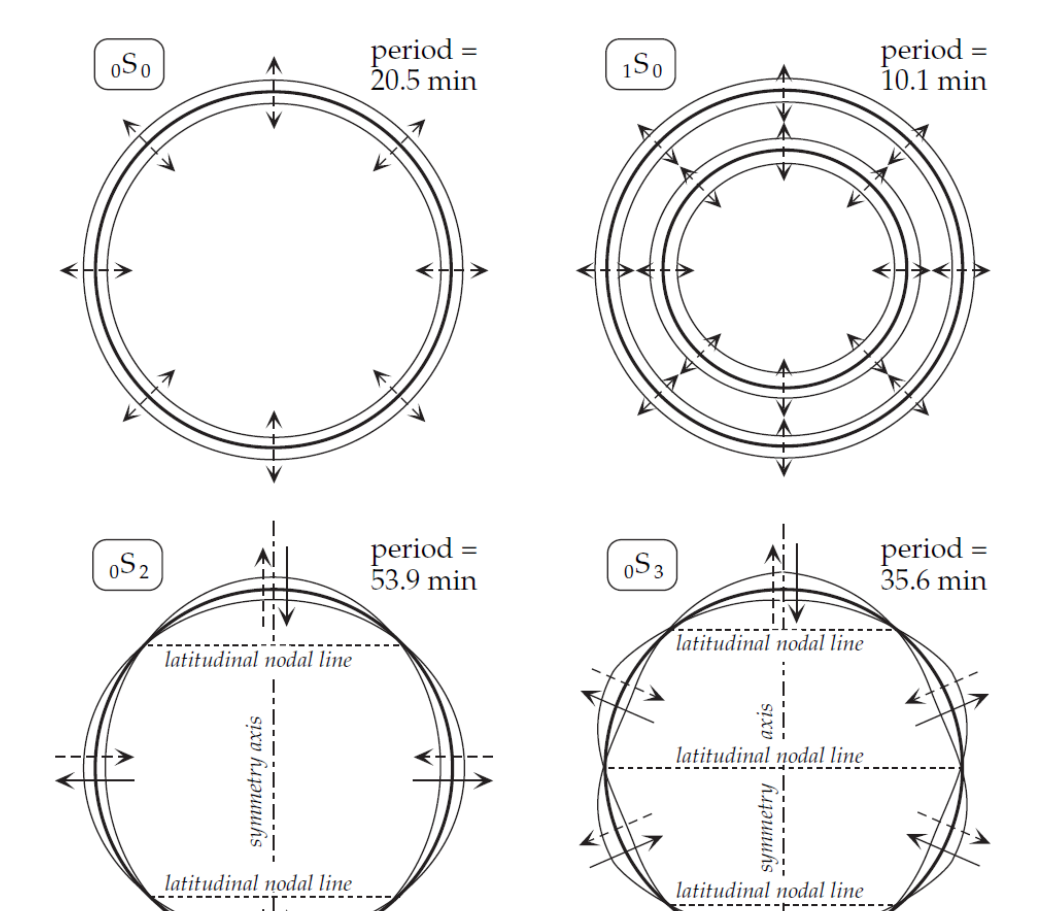


Index n gibt Grad des Obertons an

Index I gibt Zahl der äquatorialen Knotenebenen an

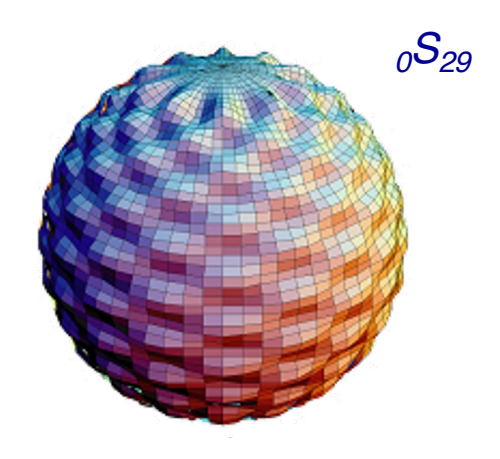






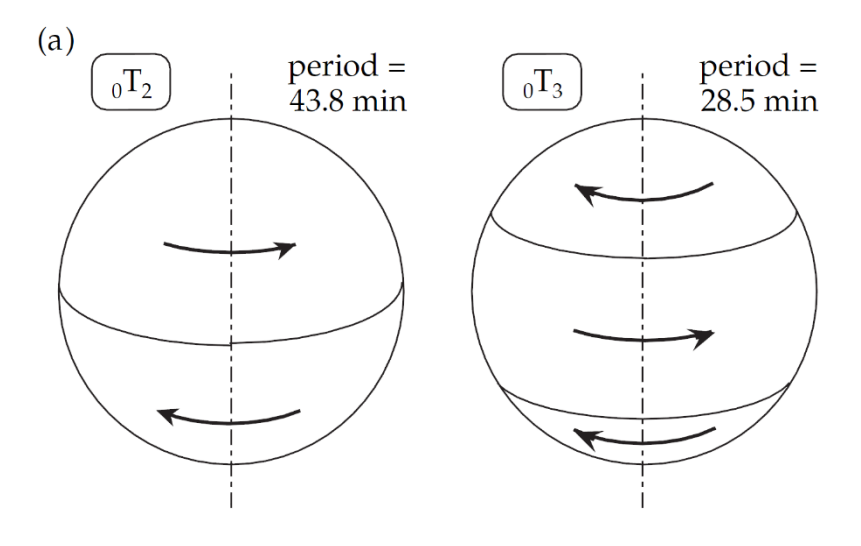
Index n gibt Grad des Obertons an

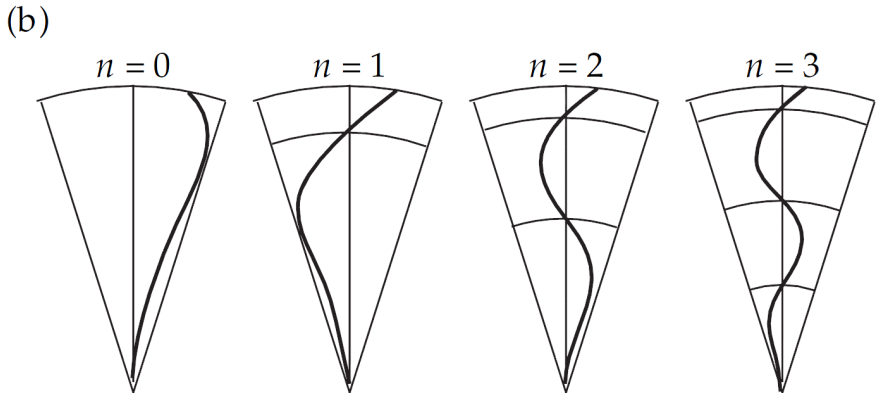
Index I gibt Zahl der äquatorialen Knotenebenen an





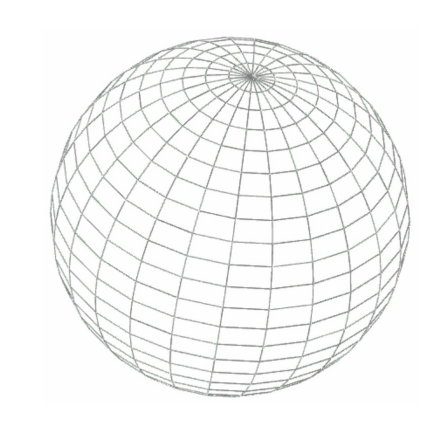




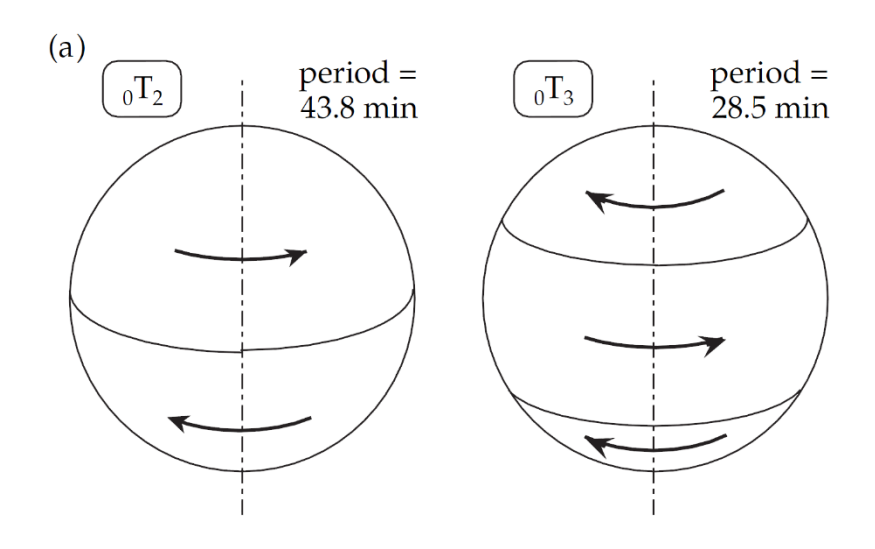


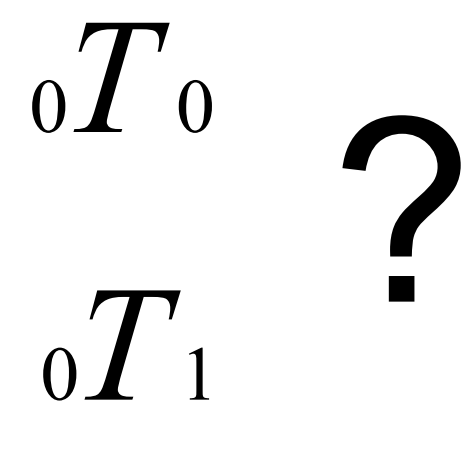
Index n gibt Grad des Obertons an: Knotenpunkt in Richtung des Radius

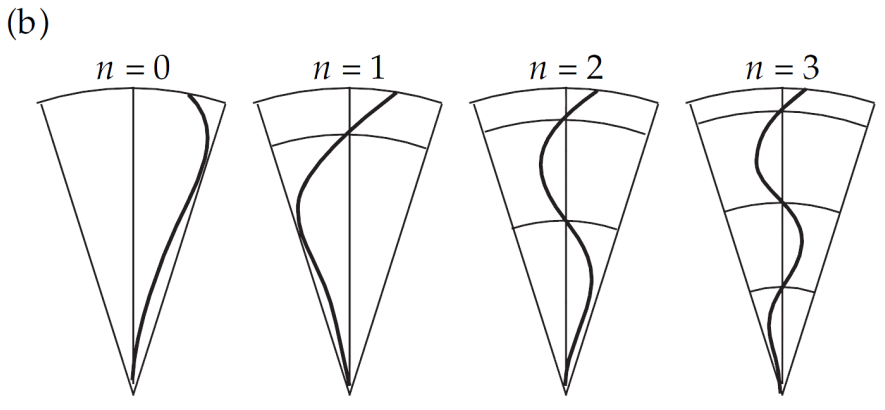
Index I gibt Zahl der verdrehten Abschnitte auf der Oberfläche an



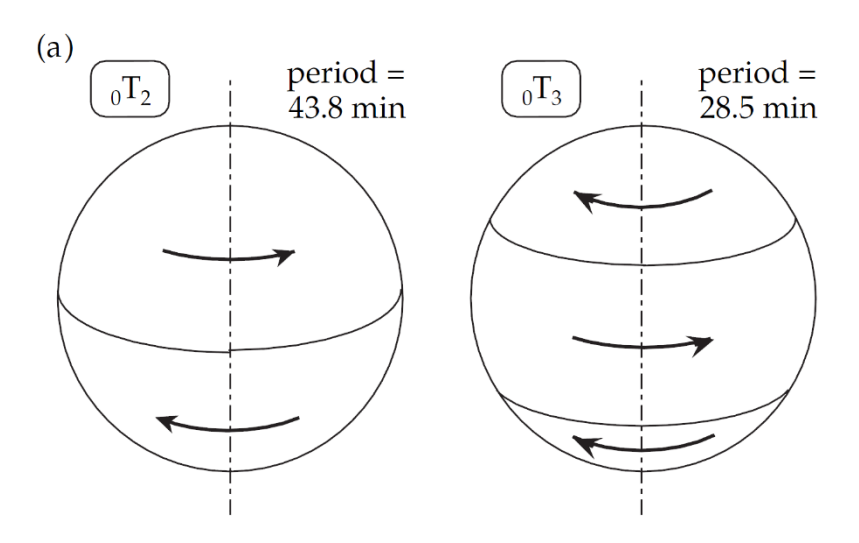


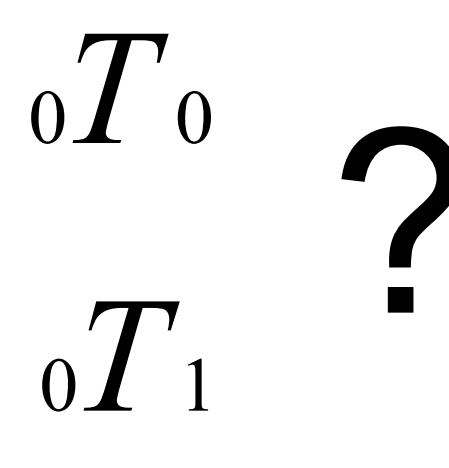


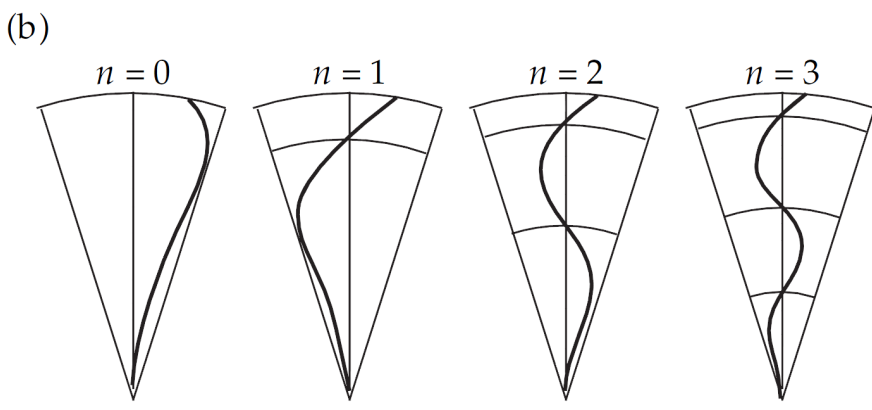


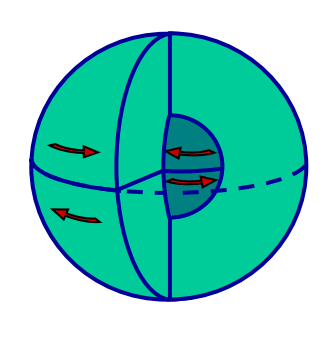




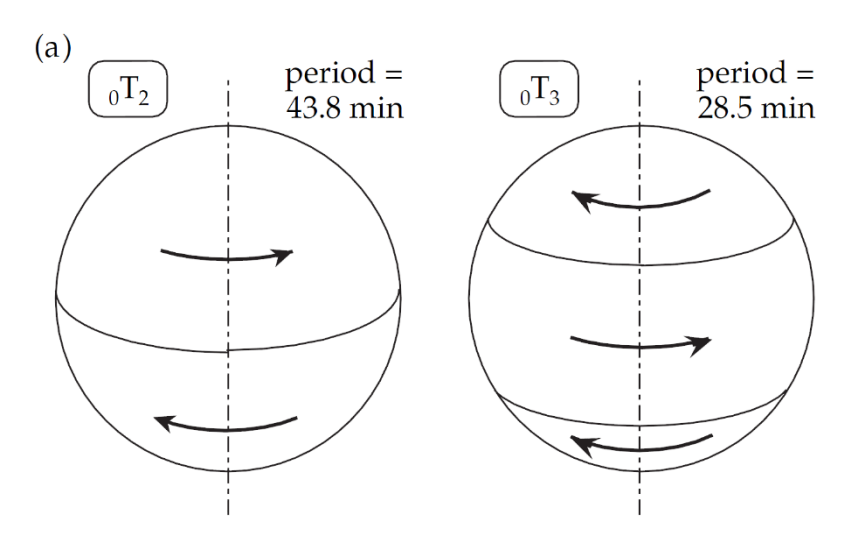


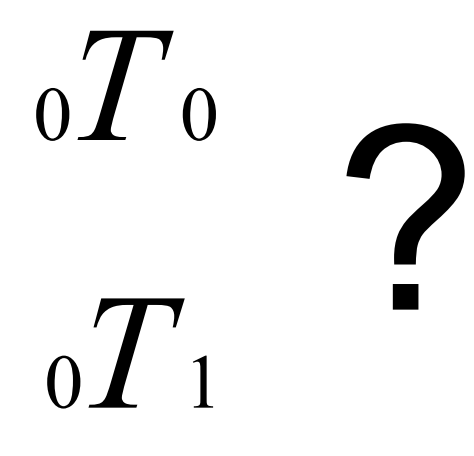


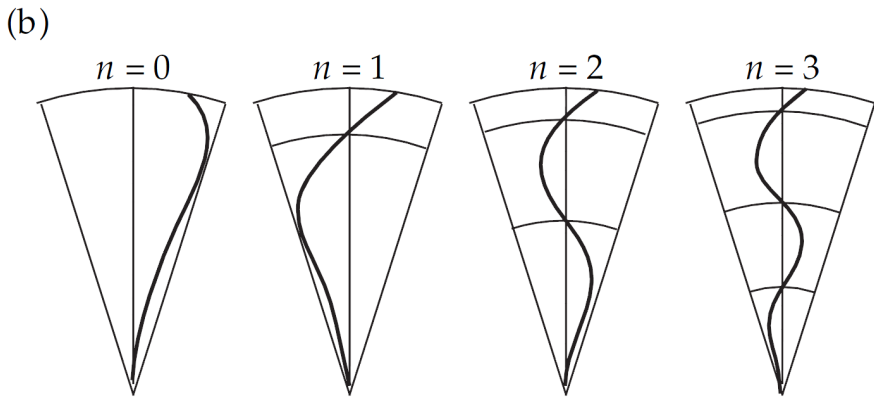


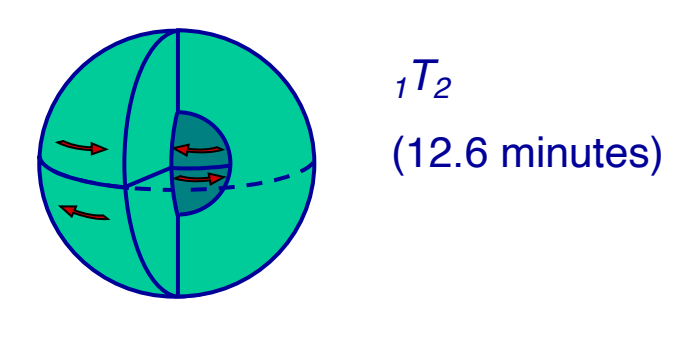




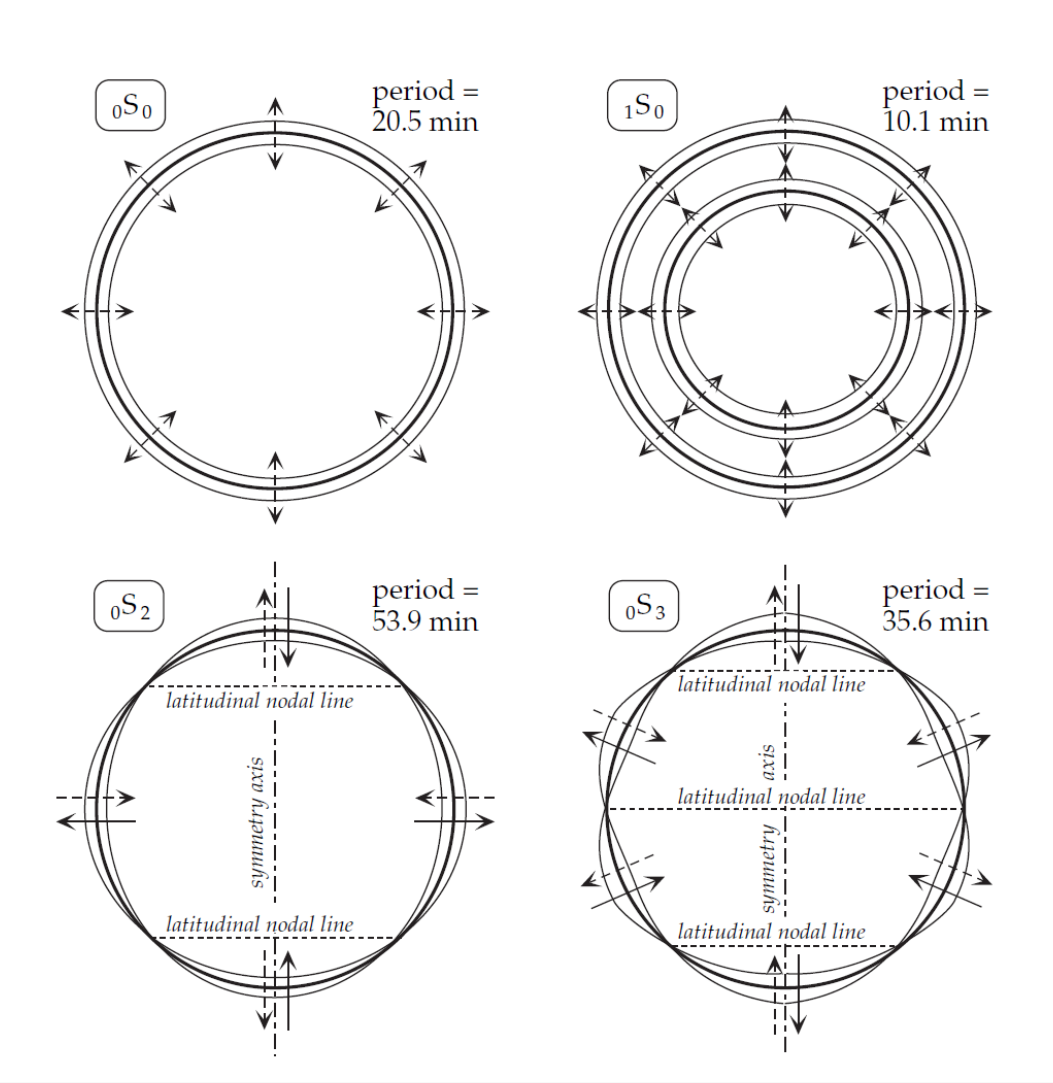












Bei sphäroidalen Eigenschwingungen ändert sich die Dichte des Körpers.

 → Lassen sich mit langperiodischen
 Seismometern und Gravimetern
 registrieren.

Welche Komponente?



Eigenschwingungen: Supraleitendes Gravimeter am BFO



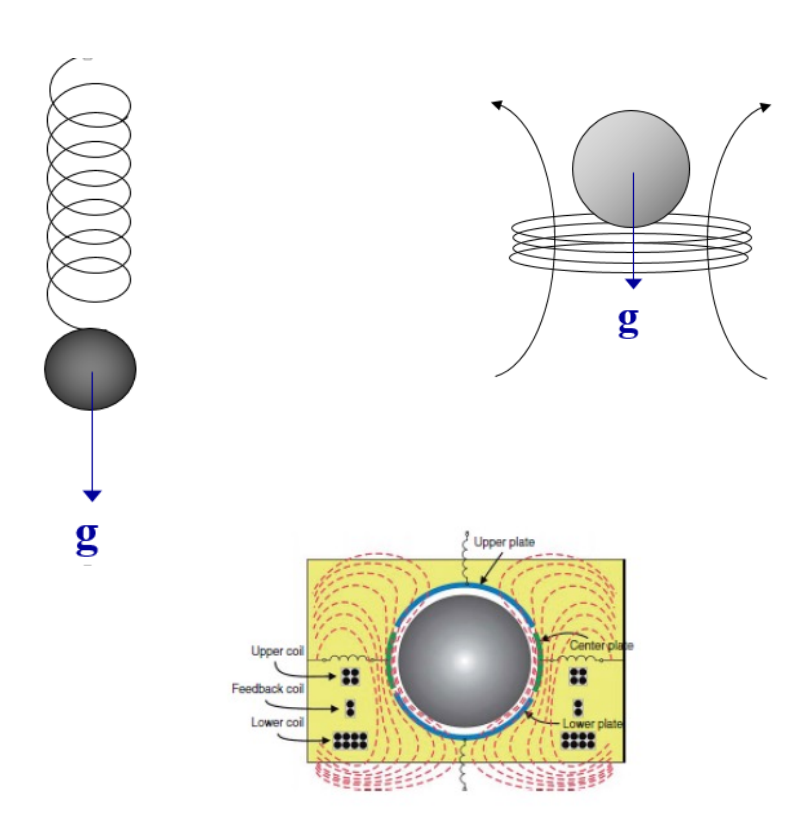
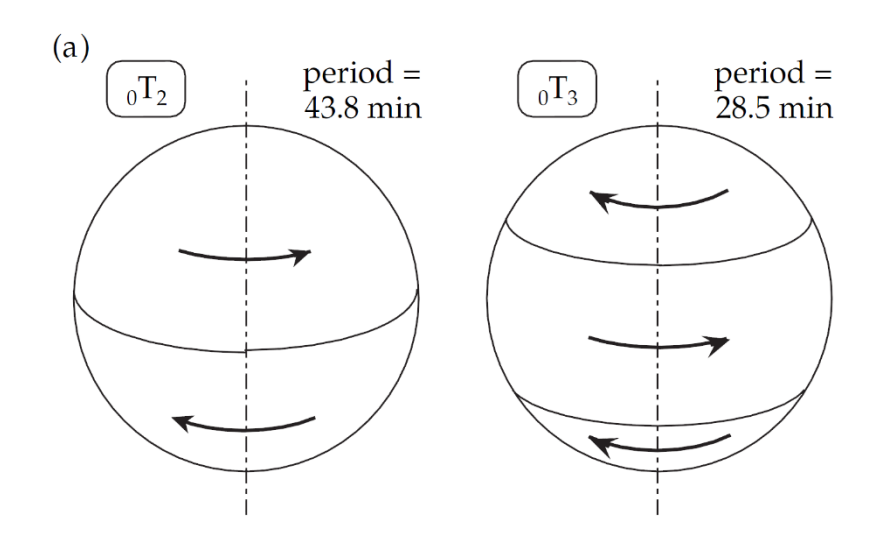


Abbildung 2.7: Schema des Aufbaus des Sensors eines SG. Das Schema zeigt die Testmasse, die Kondensatorplatten des Wegaufnehmers und die Spulen mit dem von ihnen erzeugten magnetischen Feld, angedeutet durch die magnetischen Feldlinien. Abb. nach [Hinderer et al.] (2007)

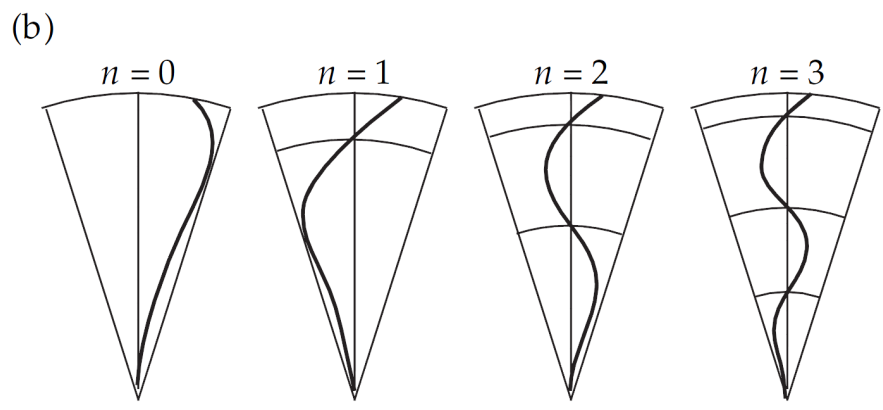
Quelle: Geib, Van Camp





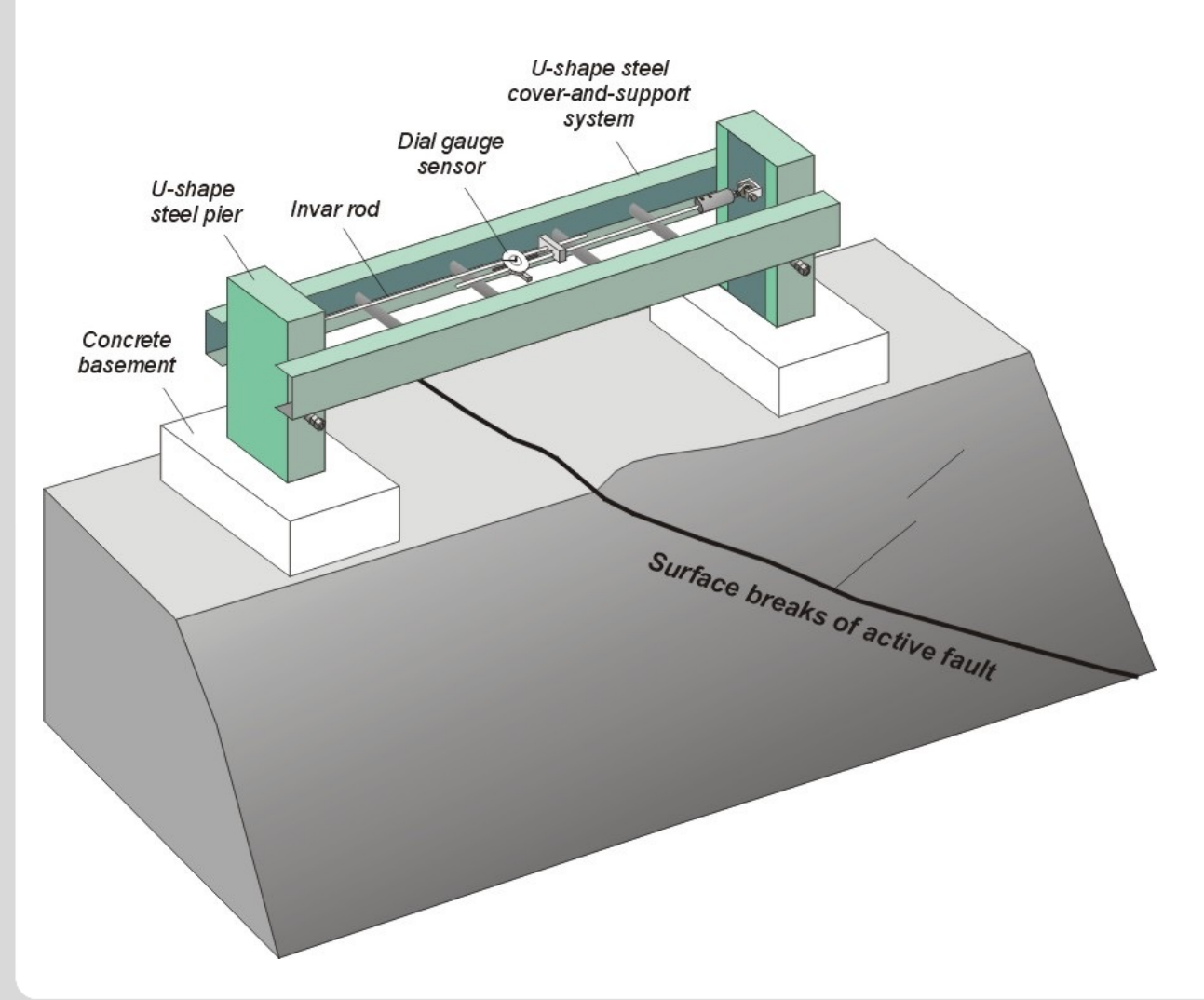
Bei toroidalen Eigenschwingungen gibt es keine Dichteänderung!

→ Registrierung mit Strainmetern





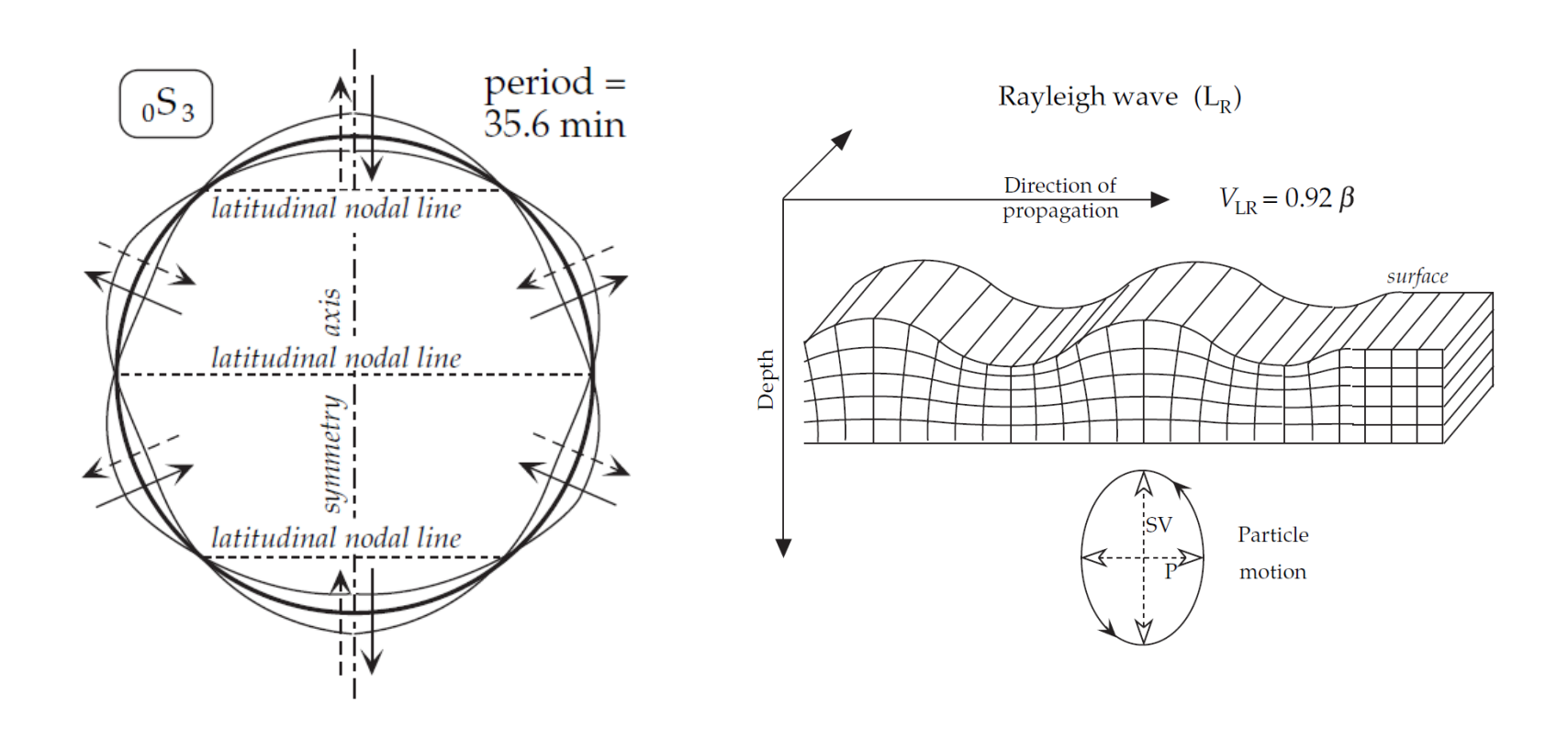
Eigenschwingungen: Strainmeter am BFO





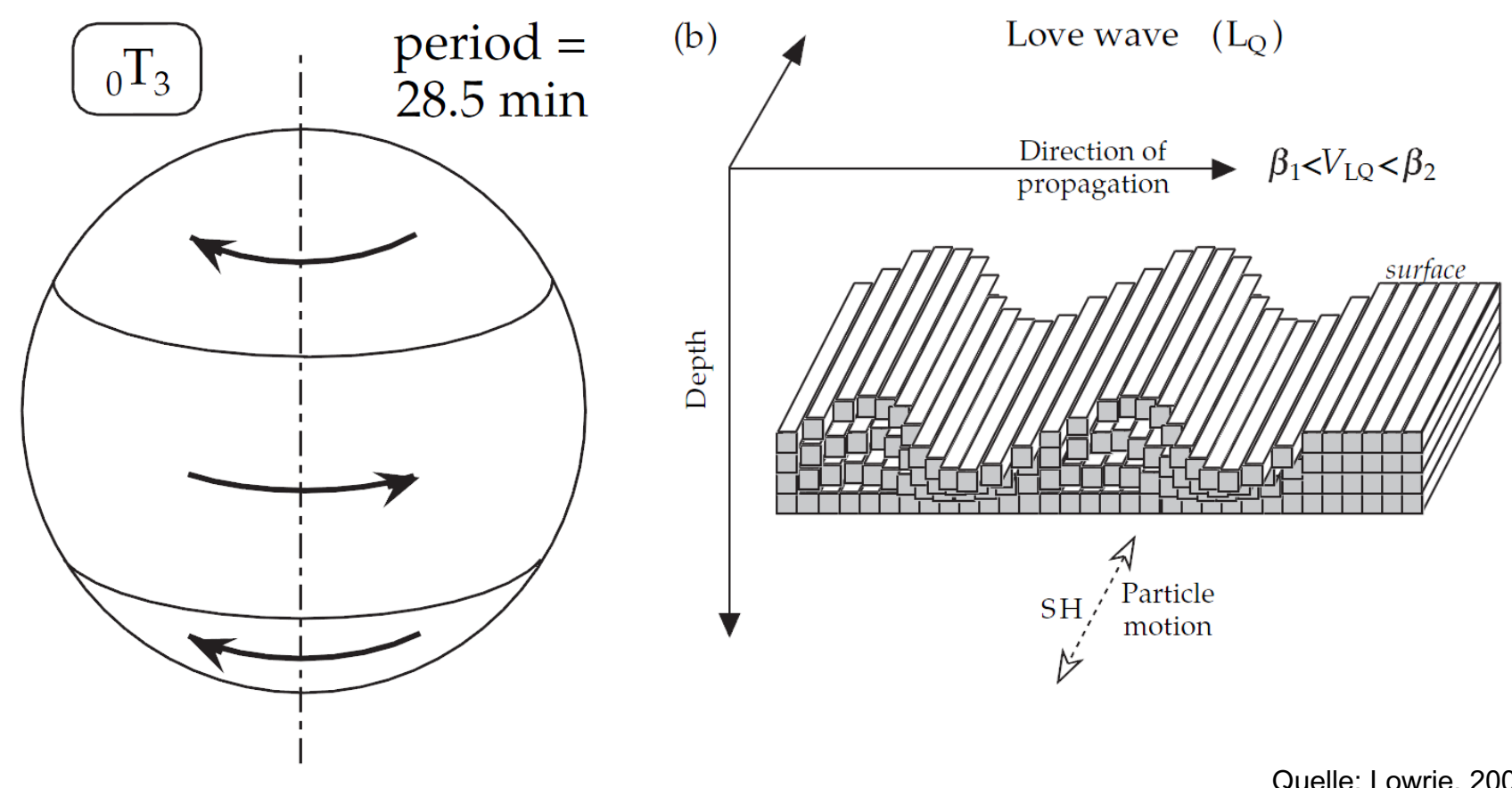


Entstehung aus Interferenz von Oberflächenwellen





Entstehung aus Interferenz von Oberflächenwellen





Jeanssche Formel

Die Fundamentalmoden (n=0) lassen sich für $\ell \gg 1$ als konstruktive Interferenz aus Oberflächenwellen beschreiben, die den Planeten in zwei entgegengesetzte Richtungen von der Quelle umlaufen. Dabei überlagern sich zwei Rayleigh-Wellen zu einer ${}_{0}S_{\ell}$ -Mode und zwei Love-Wellen zu einer ${}_{0}T_{\ell}$ -Mode (vgl. Abb. 3 für ${}_{0}S_{12}$). Es gilt dann die Jeanssche Formel:

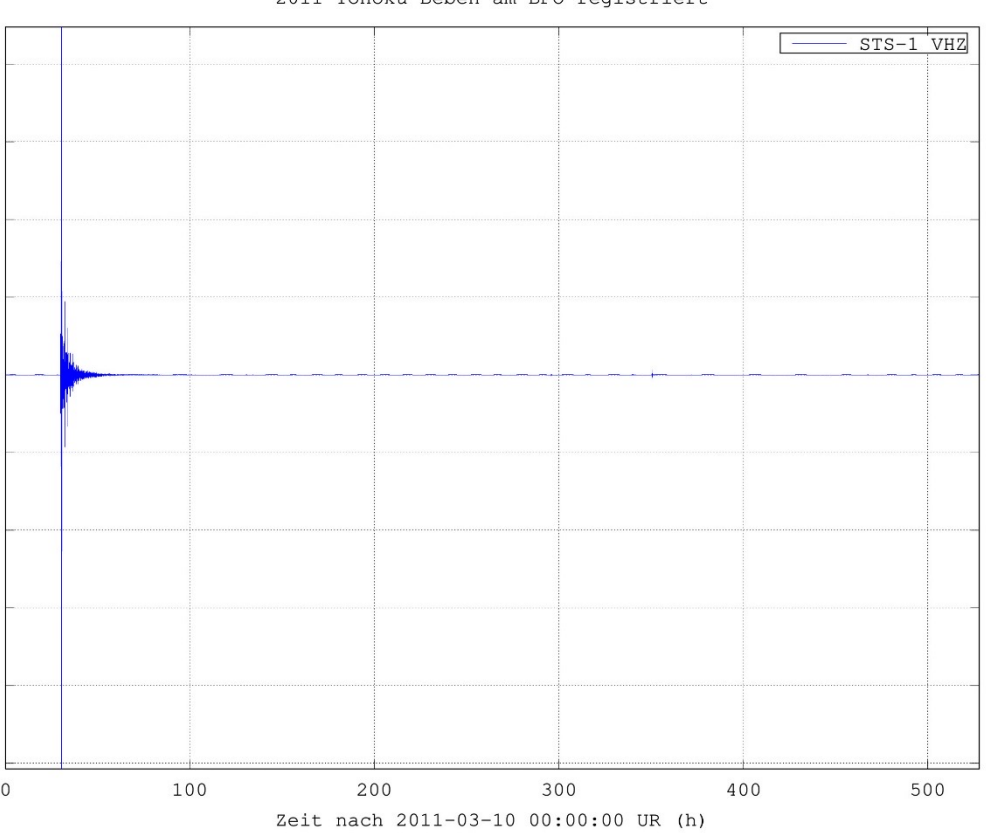
$$_0\omega_\ell = \frac{c(\omega)\cdot(\ell+1/2)}{a}$$

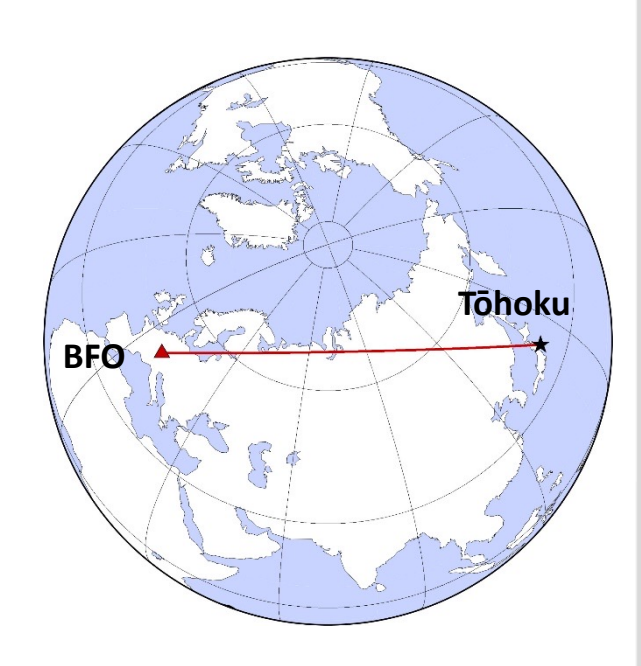
mit der Phasengeschwindigkeit c der Oberflächenwelle und dem Erdradius a.



Aufzeichnung eines Erdbebens am BFO



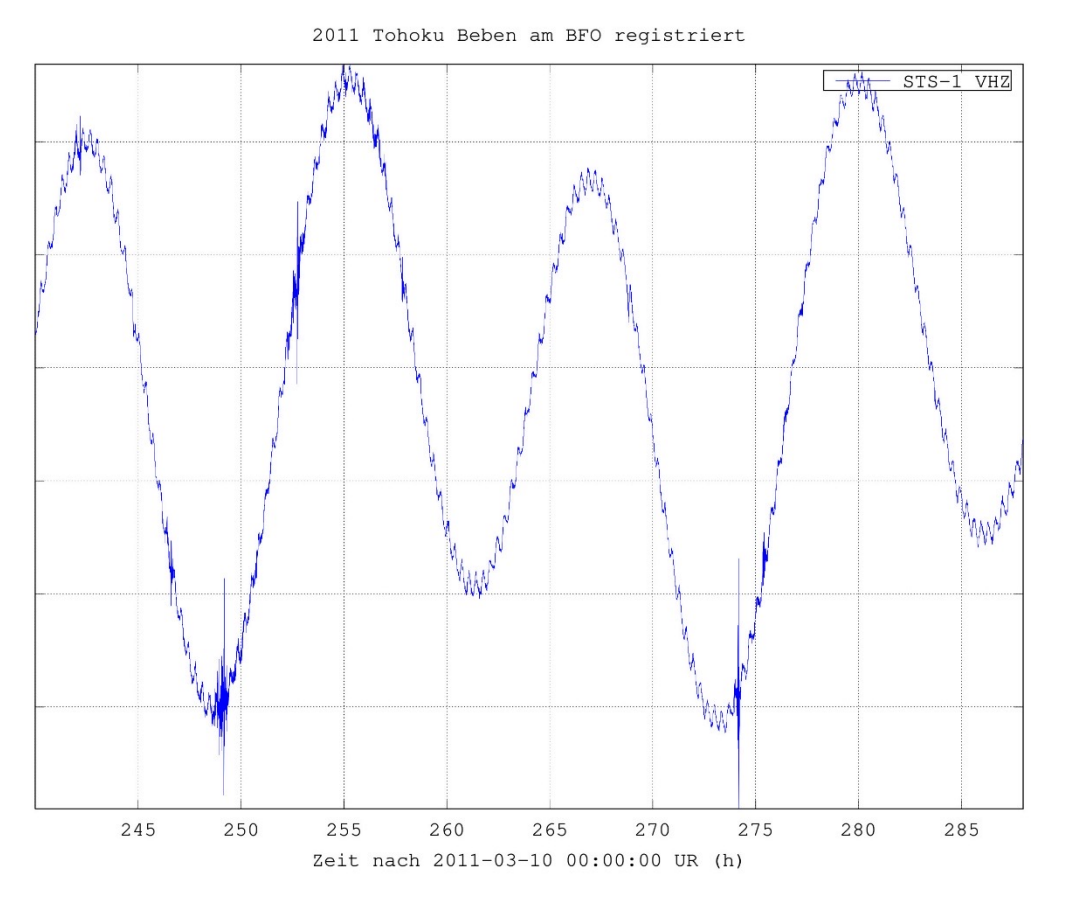


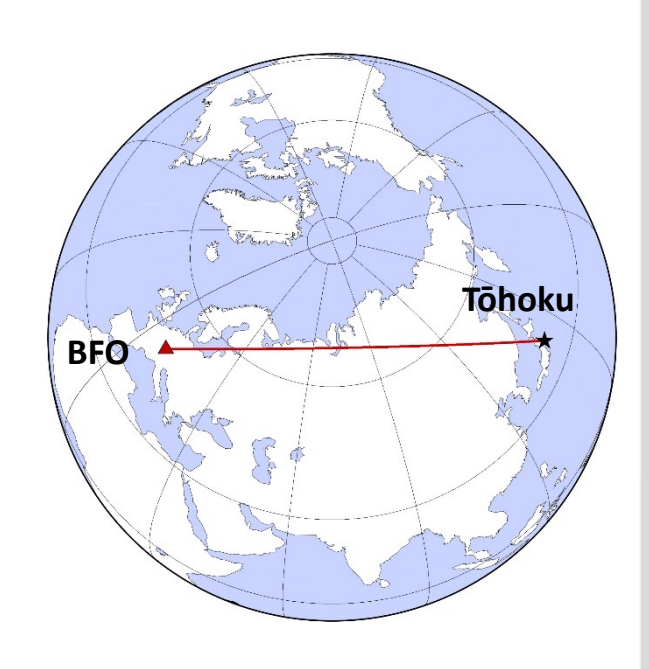


Quelle: A. Barth



Aufzeichnung eines Erdbebens am BFO

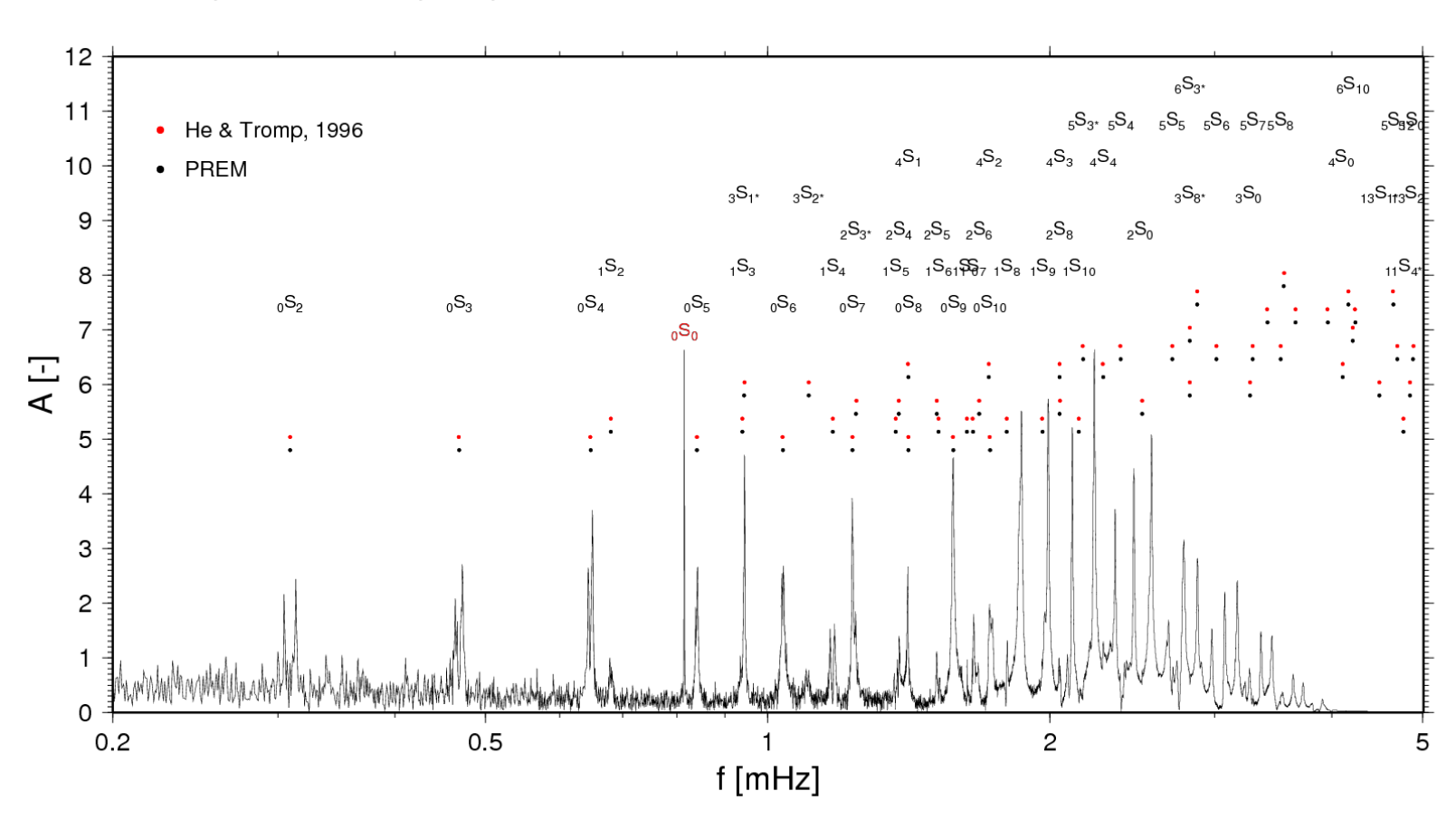




Quelle: A. Barth



Typisches Eigenschwingungsspektrum



Quelle: IRIS



Eigenfrequenzen

Tab. 1: Aus seismischen Daten geschätzte entartete Eigenfrequenzen und Gütefaktoren [3] einiger Moden mit ihren experimentellen relativen Unsicherheiten

Mode	Frequenz μ Hz	Unsicherheit 10 ⁻⁴	Q	Unsicherheit %
₀ S ₀	814,39	0,04	5882	6
₀ S ₂	309,45	9	813	24
₀ S ₃	468,55	3	380	12
₀ S ₁₂	1988,70	1,5	352	4
₀ S ₂₃	3170,65	0,3	259	2
₀ S ₂₈	3634,40	0,2	217	2
1S ₈	1797,76	0,6	433	11
₃ S ₁	944,20	3,2	800	10
10S2	4042,58	0,5	855	13
₀ T ₂	377,30	21	_	_
$_{0}^{-}$ $_{0}^{-}$ $_{23}^{-}$	3109,10	2,2	139	3



Eigenfrequenzen

Tab. 1: Aus seismischen Daten geschätzte entartete ren [3] einiger Moden mit ihren experimentellen re

Welchen Perioden entsprechen die Eigenfrequenzen?

Mode	Frequenz μHz	Unsicherheit 10 ⁻⁴	Q	Unsicherheit %
₀ S ₀	814,39	0,04	5882	6
0S2	309,45	9	813	24
₀ S ₃	468,55	3	380	12
₀ S ₁₂	1988,70	1,5	352	4
0S ₂₃	3170,65	0,3	259	2
₀ S ₂₈	3634,40	0,2	217	2
1S ₈	1797,76	0,6	433	11
₃ S ₁	944,20	3,2	800	10
10S2	4042,58	0,5	855	13
$_{0}T_{2}$	377,30	21	-	-
0T23	3109,10	2,2	139	3



Eigenfrequenzen

Tab. 1: Aus seismischen Daten geschätzte entartete ren [3] einiger Moden mit ihren experimentellen re

Mode	Frequenz	Unsicherheit 10 ⁻⁴
	μHz	10 ·
$_{0}S_{0}$	814,39	0,04
${}_{0}S_{0}$ ${}_{0}S_{2}$	309,45	9
₀ S ₃	468,55	3
S ₁₂	1988,70	1,5
S ₂₃	3170,65	0,3
S ₂₈	3634,40	0,2
S ₈	1797,76	0,6
₀ S ₂₃ ₀ S ₂₈ ₁ S ₈ ₃ S ₁	944,20	3,2
₁₀ S ₂	4042,58	0,5

Welchen Perioden entsprechen die Eigenfrequenzen?

$$f = 1000 \mu Hz = 1 mHz$$

 $\leftrightarrow T = 1000 s = 16,7 min$

$$f = 300 \mu Hz = 0.3 \text{ mHz}$$

 $\leftrightarrow T = 3333.3 \text{ s} = 55.6 \text{ min}$

				,
$_{1}S_{8}$	1797,76	0,6	155	1.1
₃ S ₁	944,20	3,2	800	10
₁₀ S ₂	4042,58	0,5	855	13
$_{0}T_{2}$	377,30	21	_	-
₀ T ₂₃	3109,10	2,2	139	3



Eigenfrequenzen

Tab. 1: Aus seismischen Daten geschätzte entartete Eigenfrequenzen und Gütefaktoren [3] einiger Moden mit ihren experimentellen relativen Unsicherheiten

Mode	Frequenz μHz	Unsicherheit 10 ⁻⁴	Q	Unsicherheit %	
₀ S ₀	814,39	0,04	5882	6	
0S2	309,45	9	813	24	
₀ S ₃	468,55	3	380	12	
₀ S ₁₂	1988,70	1,5	352	4	
₀ S ₂₃	3170,65	0,3	259	2	
₀ S ₂₈	3634,40	0,2	217	2	
1S ₈	1797,76	0,6	433	11	
₃ S ₁	944,20	3,2	800	10	
10S ₂	4042,58	0,5	855	13	
₀ T ₂	377,30	21	-	-	
0T23	3109,10	2,2	139	3	



Dämpfung Q

Abb. 1:

Signal eines Tiefherdbebens in Nordbolivien vom 9. Juni 1994, das am Observatorium Schiltach im Schwarzwald mit einem Breitbandseismometer registriert wurde. Die Zeitreihe dauert insgesamt 84 Stunden und erreicht eine größte Amplitude von 25 μ m/s (vertikale Bodengeschwindigkeit). Das auffälligste Signal sind die Rayleigh-Wellenzüge, die im 1,5-Stundenrhythmus aus wechselnden Richtungen auf dem Großkreis mit abnehmender Amplitude an der Station ankommen. Ein voller Umlauf um die Erde dauert etwa drei Stunden. Die schwache 12-Stunden-Schwingung im Hintergrund sind die elektronisch stark abgeschwächten Erdgezeiten.

Quelle: Zürn und Widmer, 2002



Eigenschwingungen der Erde hängen ab von elastischen Parametern:

- Dichte (sphäroidale Moden)
- Inkompressibilität (sphäroidale Moden)
- Schermodul (toroidale Moden und sphäroidale Moden)

→ Analyse der Eigenschwingungen erlaubt Konstruktion und Verbesserung des elastischen Erdmodells

Quelle: IRIS



Eigenschwingungen: Eindringtiefen

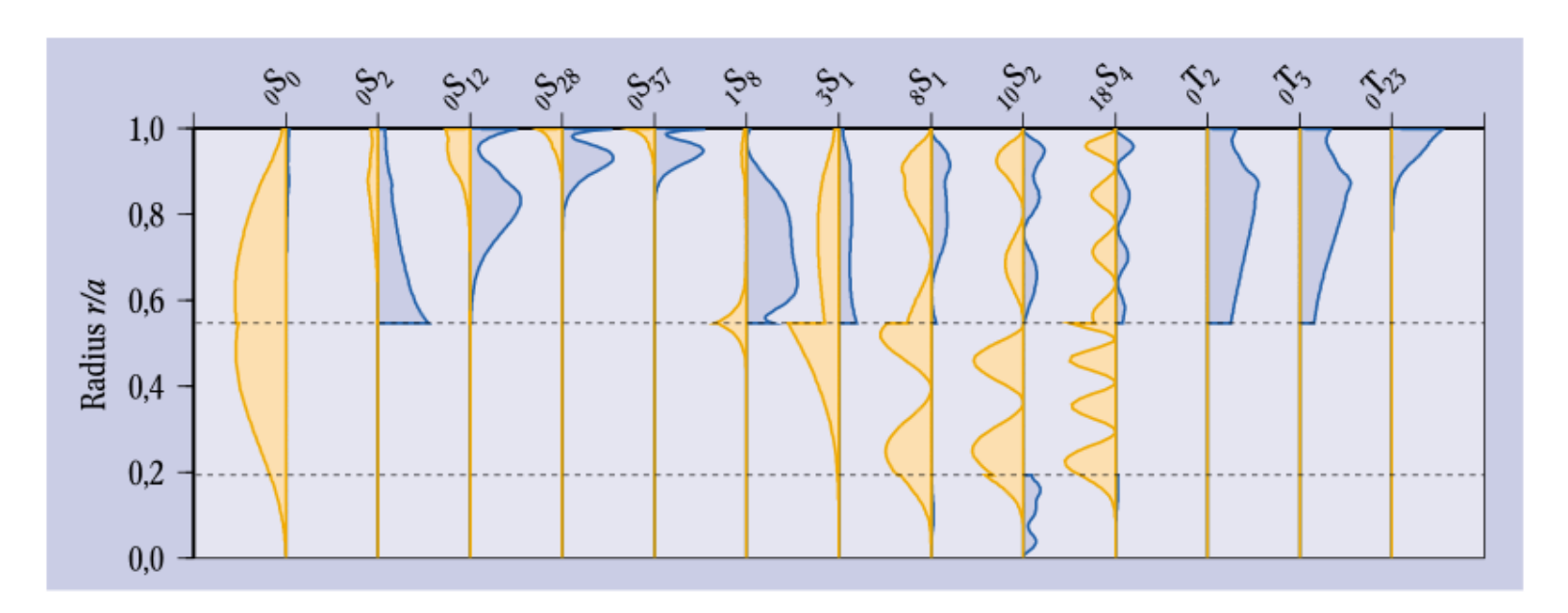


Abb. 4:

Radiale Verteilung der Scherenergiedichten (nach rechts, blau) und Kompressionsenergiedichten (nach links, gelb) für einige Moden als Funktion des relativen Erdradius'. Man erkennt neben den reinen Mantelmoden ${}_{0}S_{\ell}$, ${}_{0}T_{\ell}$, deren Ein-

dringtiefe mit wachsendem ℓ abnimmt, auch Moden, die signifikante Energiedichteanteile im äußeren (z. B. ₃S₁) und inneren Kern (z. B. ₁₀S₂) besitzen. Die Grenzen zwischen Mantel, äußerem und innerem Kern sind gestrichelt markiert.

Quelle: Zürn und Widmer, 2002



Durch Abweichung von Kugelsymmetrie kommt es zum Aufspalten der Frequenzpeaks ("Entartung wird aufgehoben").



⇒ Rotation



Schnellere Wellenausbreitung in Rotationsrichtung



⇒ Elliptizität



Strecke von Pol zu Pol ist kürzer als um Äquator



⇒ 3D

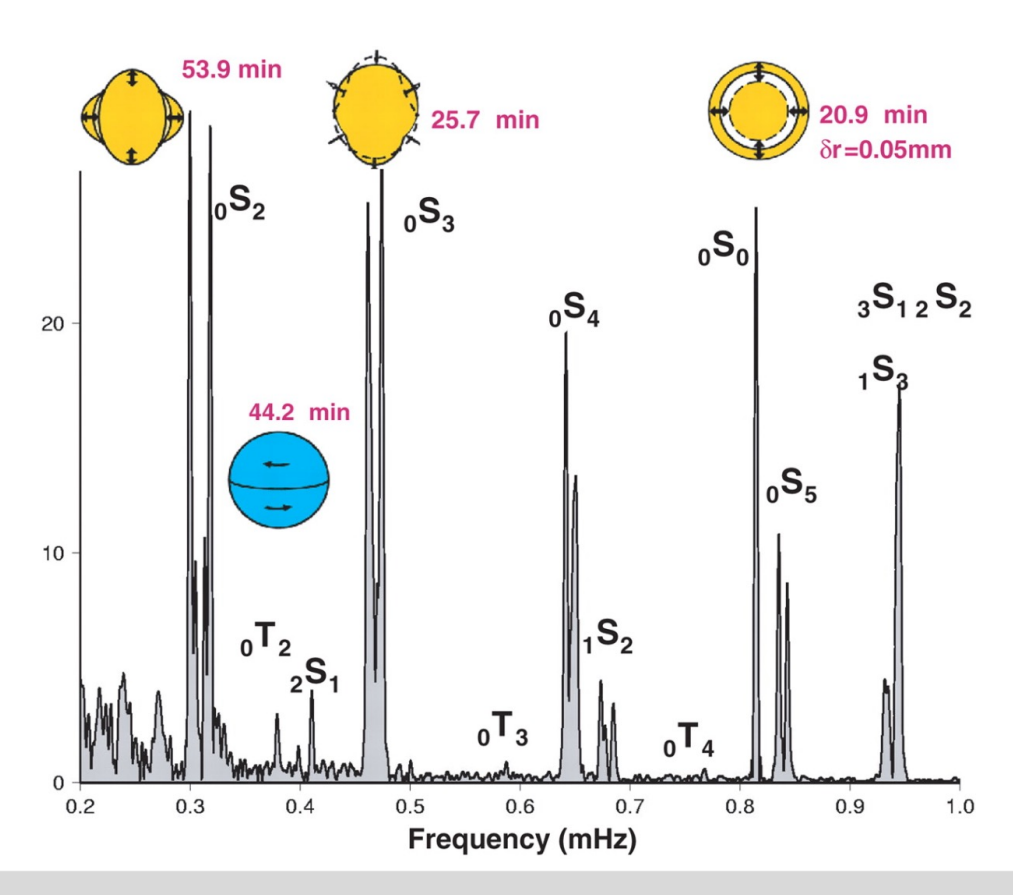


Wellen werden von Heterogenitäten auf ihrem Weg verlangsamt oder beschleunigt

Quelle: Van Camp



Durch Abweichung von Kugelsymmetrie kommt es zum Aufspalten der Frequenzpeaks ("Entartung wird aufgehoben").



Quelle: Park et al.



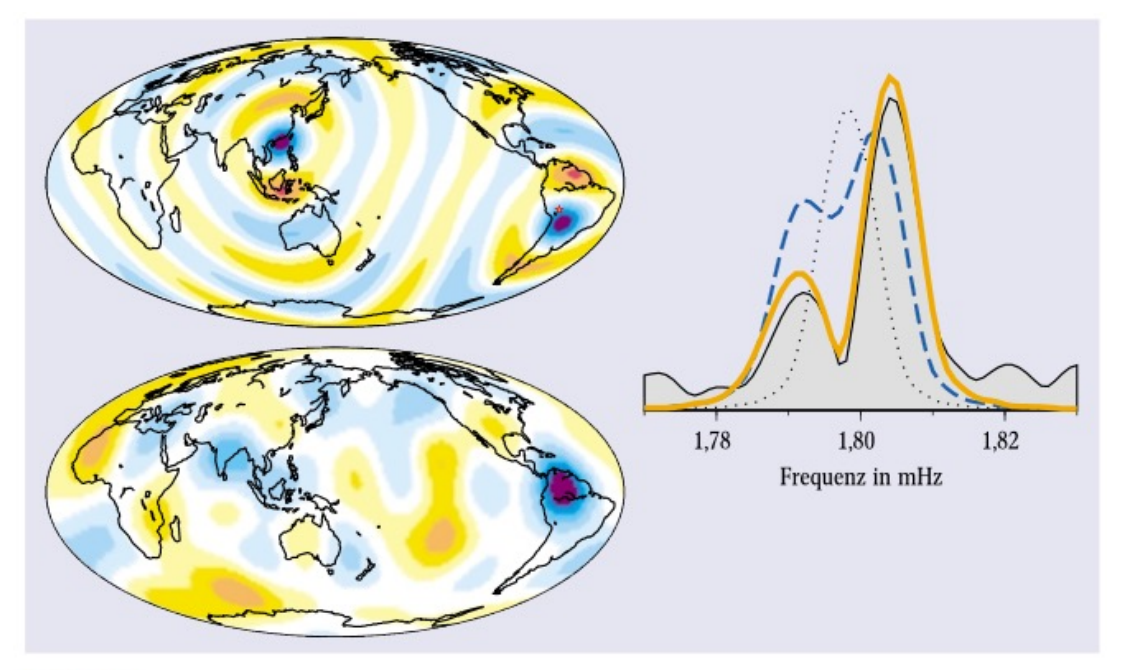


Abb. 5:

Eigenschaften der Mode ₁S₈. Links oben ist das radiale Verschiebungsfeld des gesamten Multipletts (17 Singuletts) nach dem Beben von Abb. 1 dargestellt. Warme (kalte) Farbtöne entsprechen Verschiebungen nach außen (innen). Das Bild rechts zeigt das beobachtete Amplitudenspektrum an der Station MAJO (Matsushiro, Japan, schwarze Linie) für diese Mode zusammen mit theoretischen Linienformen: das gepunktete Spektrum

würde man auf einer kugelsymmetrischen, nicht rotierenden Erde erhalten, die blaue gestrichelte Linienform erhält man nach Einführung der Rotation und Elliptizität der Erde, die orange dicke Linie ergibt sich bei Berücksichtung der lateralen Variationen der Scherwellengeschwindigkeit $(v_s = \sqrt{\mu/\varrho})$ des Erdmantels, wie sie z. B. in einer Tiefe von 1165 km links unten dargestellt ist.

Quelle: Zürn und Widmer, 2002



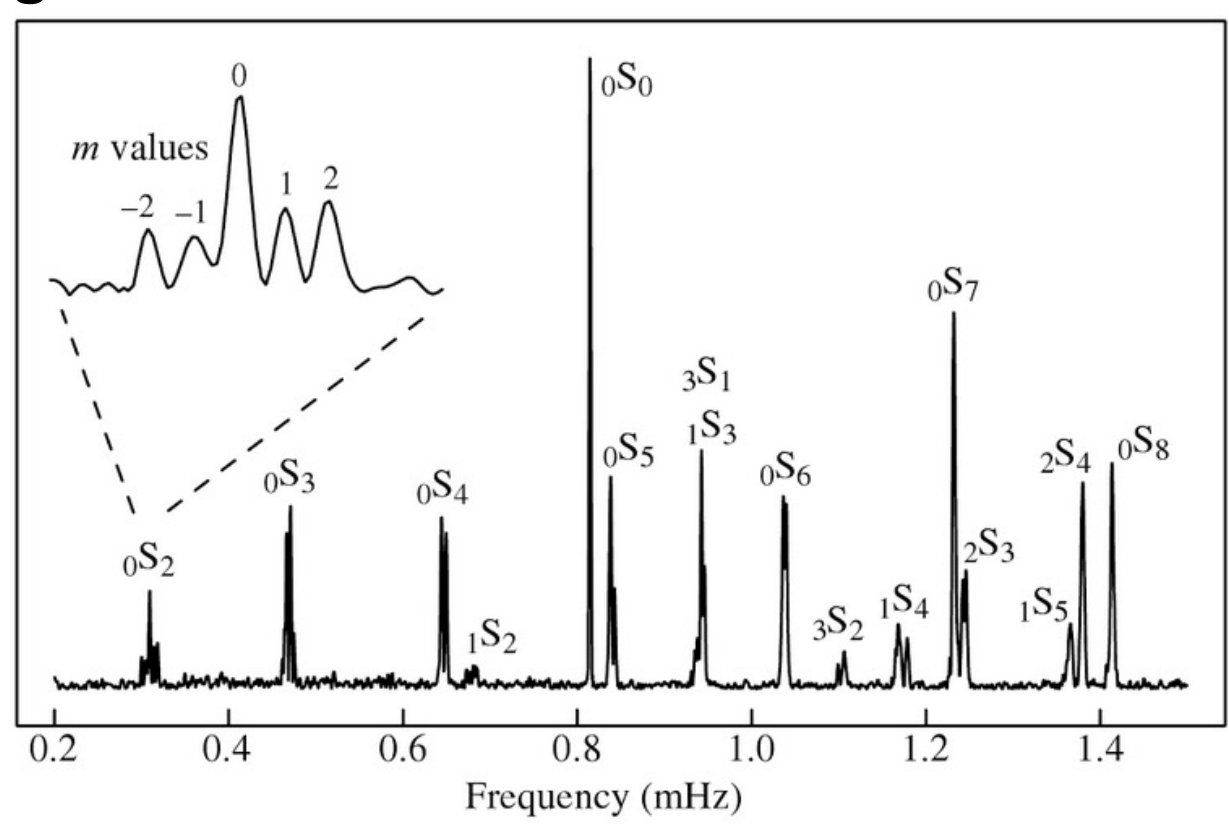


Figure 8.14 Low-order spheroidal modes visible in the spectrum of 240 hours of data from the 2004 Sumatra-Andaman earthquake ($M_W = 9.1$) recorded at station ARU at Arti, Russia (courtesy of Guy Masters). Mode $_0S_2$ is plotted at an expanded scale from 0.29 to 0.33 mHz to show its splitting into a five-peaked multiplet, corresponding to azimuthal order number (m) values from -2 to 2.

Quelle: Shearer, 2011

Rauschminderung



Luftdruckänderungen beeinflussen die Messgenauigkeit →
 Korrekturen notwending!

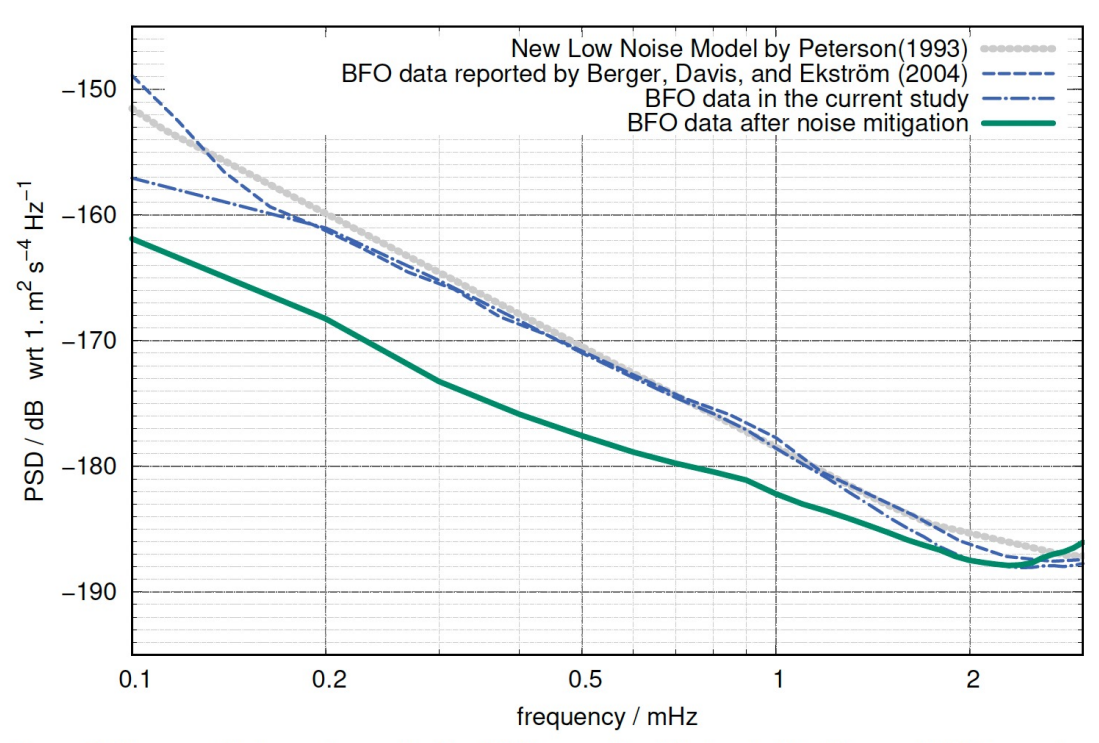


Figure 6. 5th percentile low-noise model after IBPM-correction. The level of the Peterson (1993) low noise model (PLNM) and the 5th percentile published by Berger *et al.* (2004) for BFO coincide. The 5th percentile of the data in the current study is consistent with both. The lowest curve is obtained from the signals after application of the IBPM-correction. Its level at the frequency of $_0S_2$ is about 8 dB below the PLNM.

BSc thesis Thea Lepage Subm. GJI, 2022



Kugelflächenfunktionen ("spherical harmonics")

Aufhebung der Entartung (z.B. durch Rotation): Aufspalten der Peaks für ein festes I in mehrere m-Peaks

m kann ganzzahlige Werte von –l bis Lannehmen

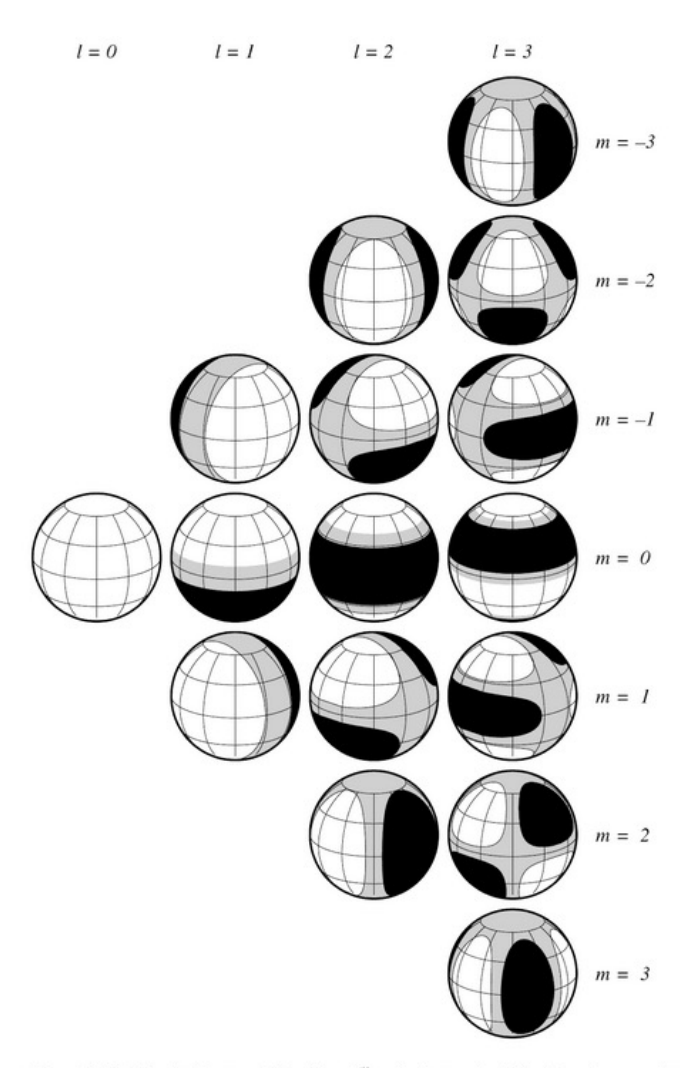


Figure 8.12 Spherical harmonic functions Y_l^m up to degree l=3. Positive values are shown as white, negative as black, with near-zero values as gray. There are 2l+1 values of m at each degree. Note that the negative m harmonics are rotated versions of the positive m harmonics.

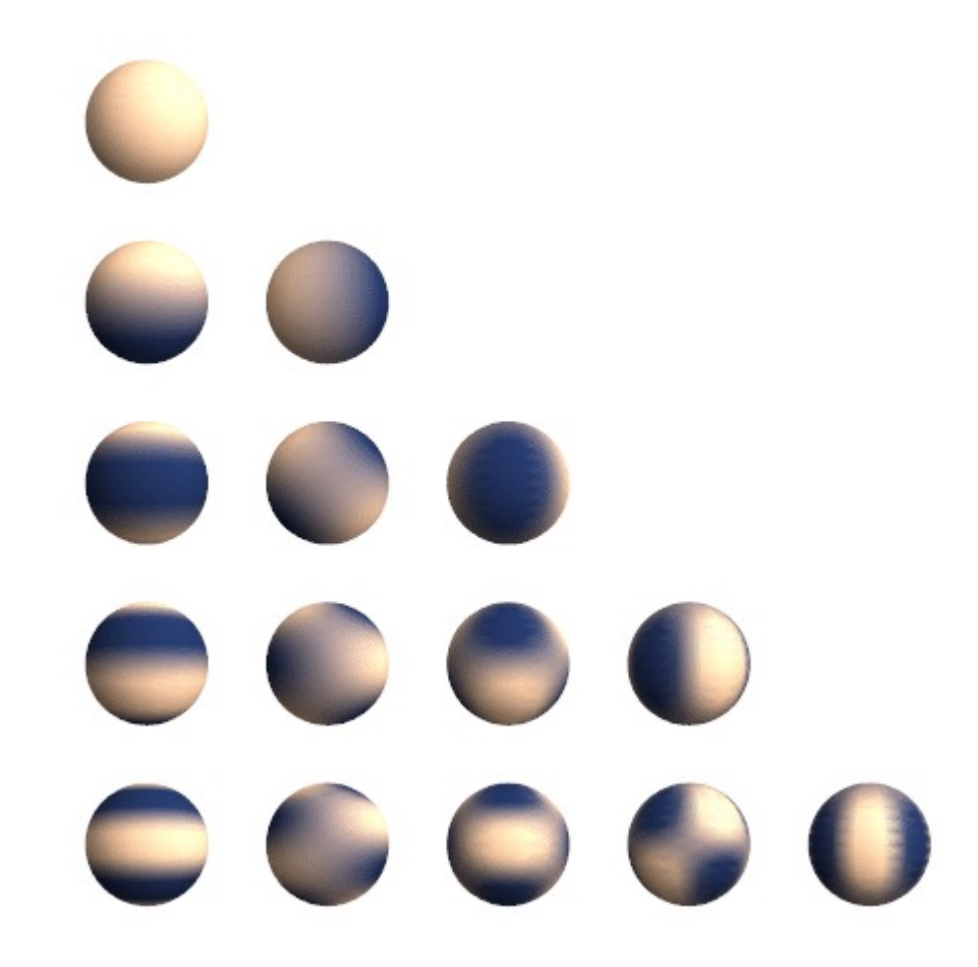
Quelle: Shearer, 2011



Kugelflächenfunktionen ("spherical harmonics")

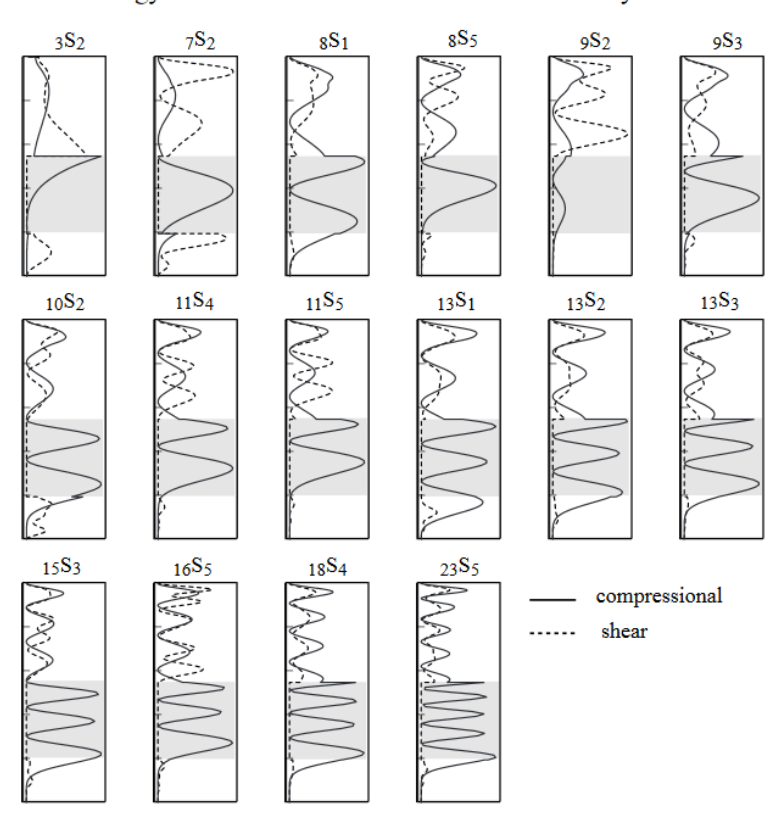
Aufhebung der Entartung (z.B. durch Rotation): Aufspalten der Peaks für ein festes I in mehrere m-Peaks

m kann ganzzahlige Werte von –l bis Lannehmen





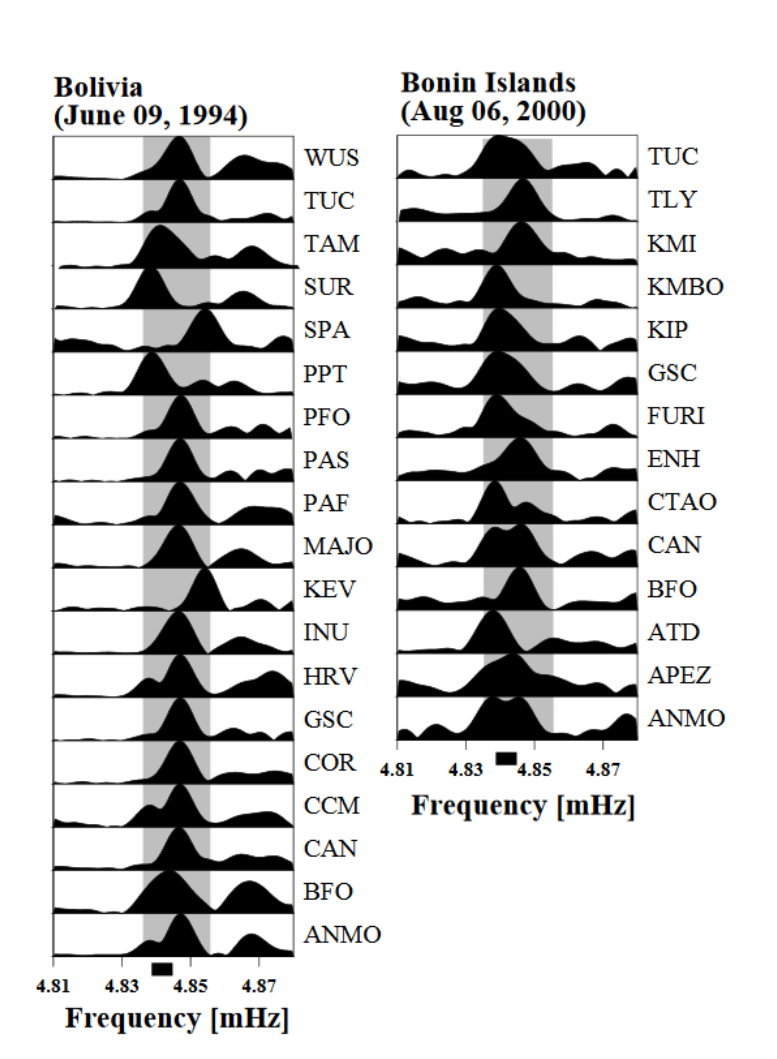
Energy Densities for the Modes used in this Study



Struktur und Rotation des äußeren Kerns

Figure 6. Energy densities for a 1D Earth model for compression and shear as function of radius for the modes in this study. The sensitivity to structure in a 3D Earth slightly varies laterally which is taken into account in the calculation of the splitting functions. The grey area marks the outer core where the shear energy density is zero.





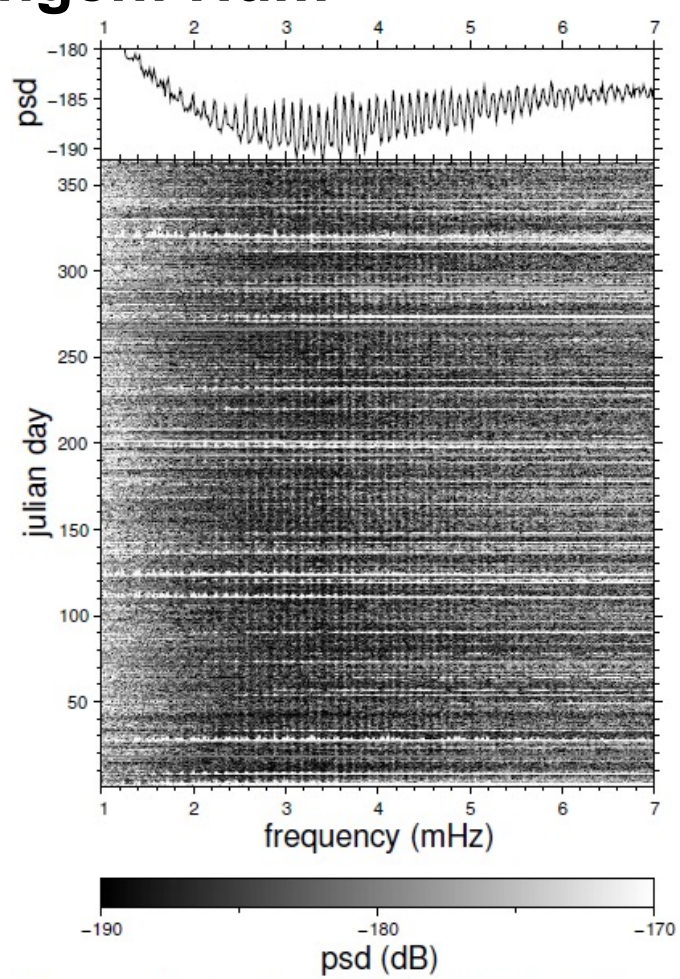
Struktur und Rotation des äußeren Kerns

Quelle: Laske und Masters



Nawa et al., 1998:

- Sphäroidale Grundmoden kontinuierlich angeregt, auch ohne große Beben
- Frequenzen 2 7 mHz
- untersuchte Daten: Vertikalkomponenten (Grund: Horizontalkomponenten viel verrauschter)



1: Power spectral density (psd) of vertical ground acceleration in 2006, measured (in dB relative to 1 m²/s³) with a STS-1 seismometer at the Black Forest bservatory (BFO). Lower panel: Spectrogram. Upper panel: 1st quartile of psd.

Quelle: Kurrle, 2009

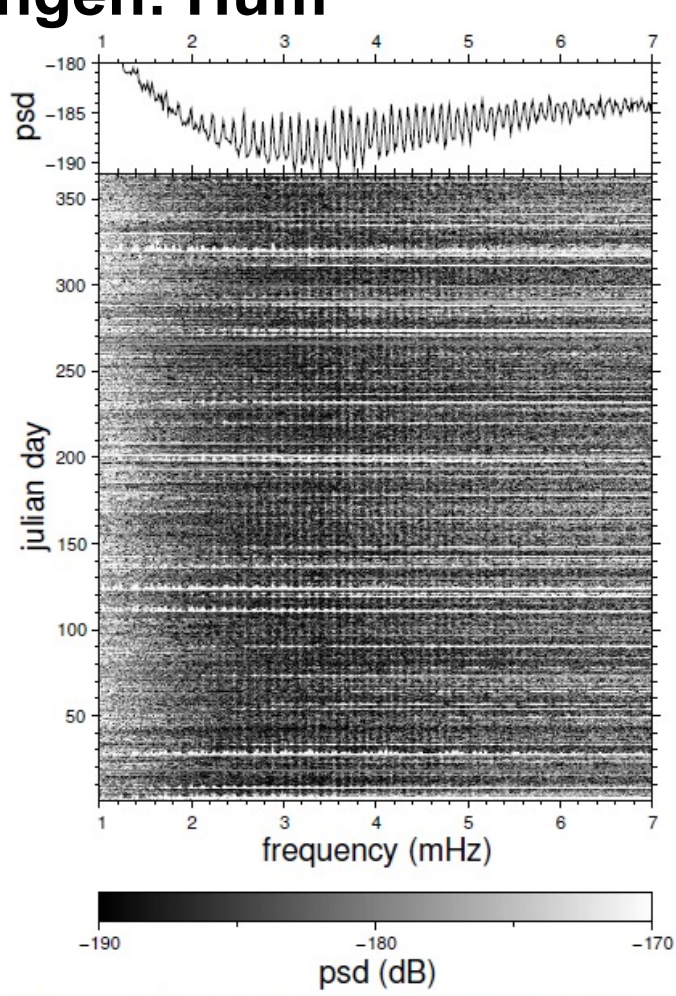


Nawa et al., 1998:

- Sphäroidale Grundmoden kontinuierlich angeregt, auch ohne große Beben
- Frequenzen 2 7 mHz
- untersuchte Daten: Vertikalkomponenten (Grund: Horizontalkomponenten viel verrauschter)

Kurrle und Widmer (2008):

 Untersuchung horizontaler Komponenten: horizontale Komponente der sphäroidalen Moden sowie toroidale Anregungen



 Power spectral density (psd) of vertical ground acceleration in 2006, measured (in dB relative to 1 m²/s³) with a STS-1 seismometer at the Black Forest bservatory (BFO). Lower panel: Spectrogram. Upper panel: 1st quartile of psd.

Quelle: Kurrle, 2009



Nawa et al., 199

- Sphäroidale (angeregt, aud
- Frequenzen
- untersuchte [(Grund: Horiz verrauschter)

Kurrle und Widn

 Untersuchung horizontale ko Moden sowie



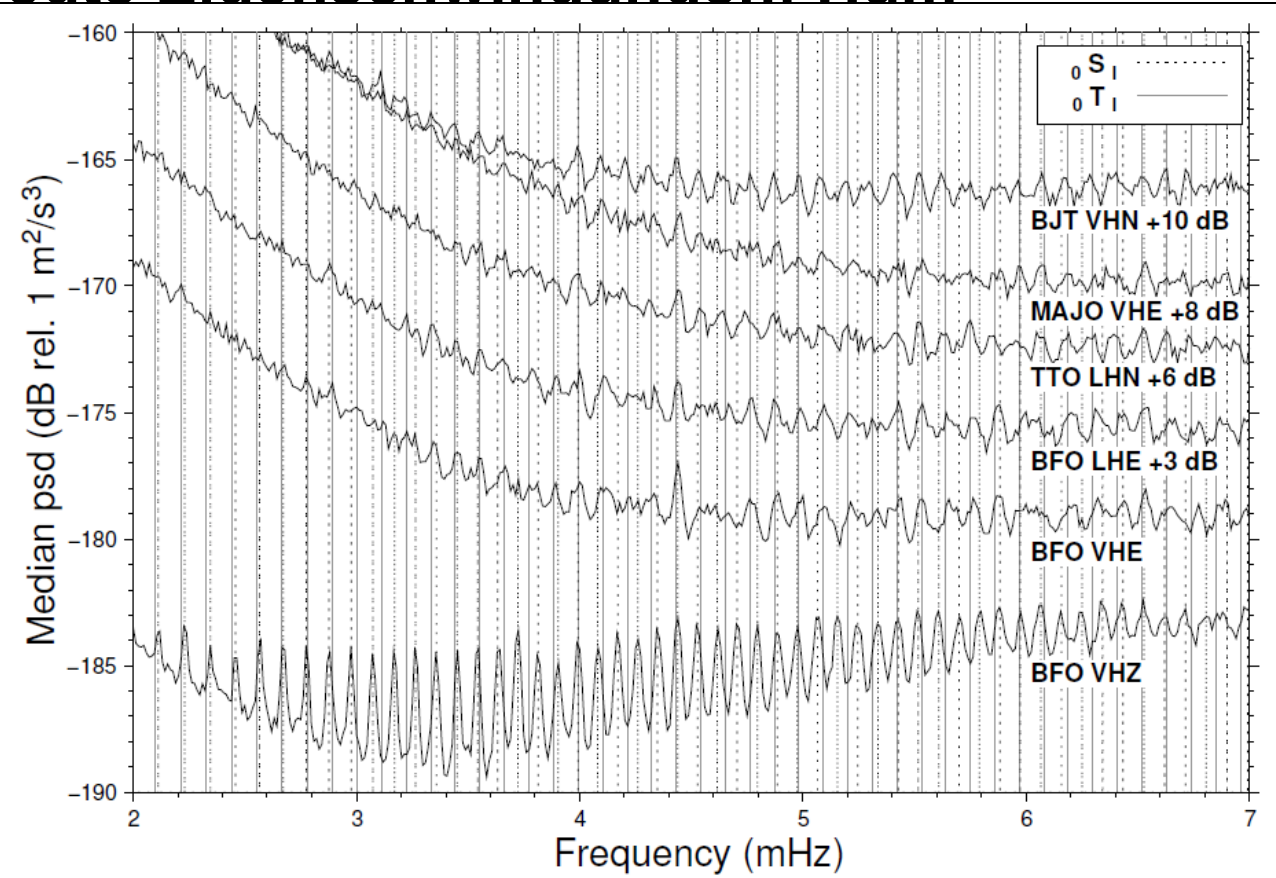


Fig. 3: Medians of acceleration power spectral density for the quietest horizontal datasets. Vertical lines mark the frequencies of spheroidal and toroidal fundamental modes. For comparison, a spectrum for the vertical component data from BFO is included.



Auslöser: Stürme

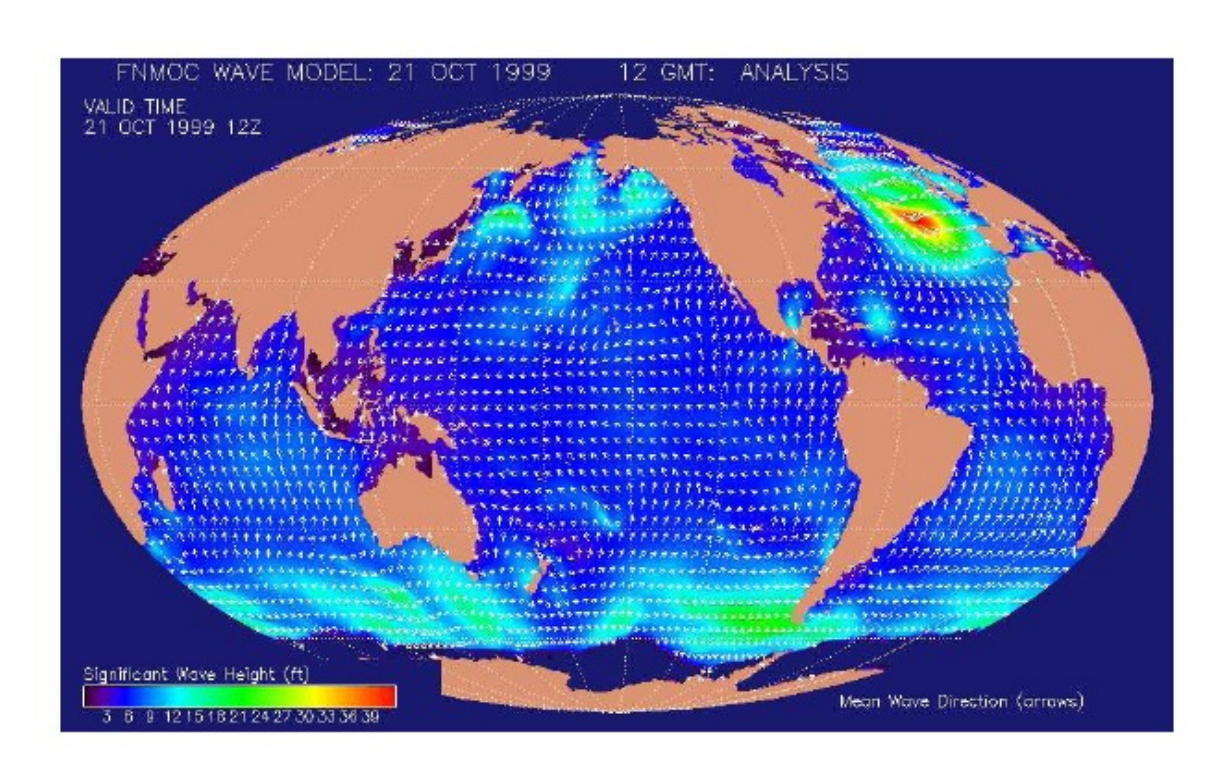


Abb. 5.31: Maßgebliche Wellenhöhe am 21.10.1999, 12:00 UT. Quelle: FNMOC.

Quelle: Kurne, 2009



Auslöser: Stürme

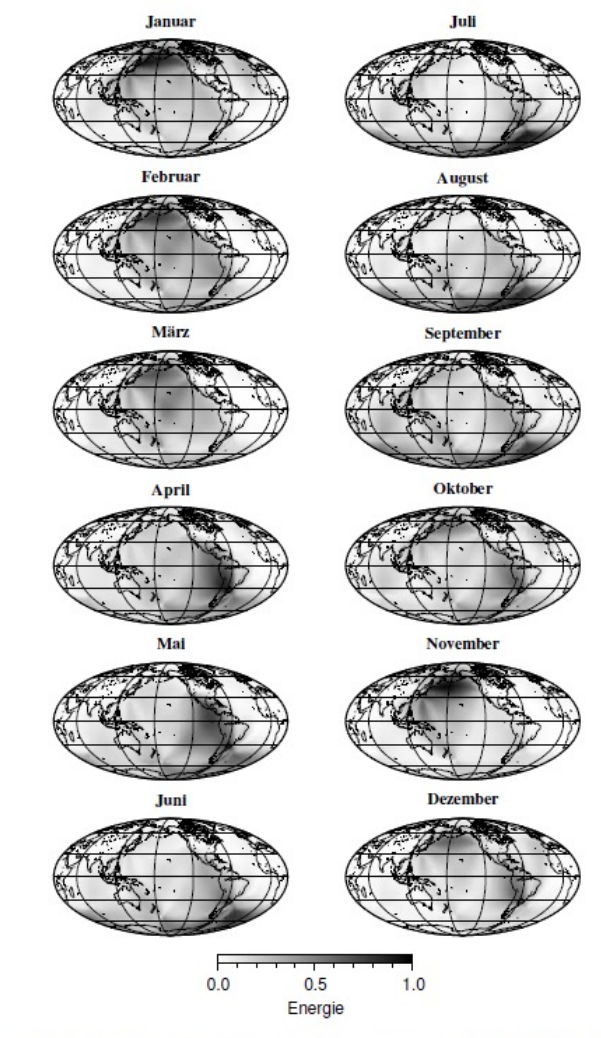


Abb. 5.20: Ergebnis der Kreuzpeilung mit den Stationen von GRSN, BDSN und F-net für das Jahrl 2000



Auslöser: Stürme

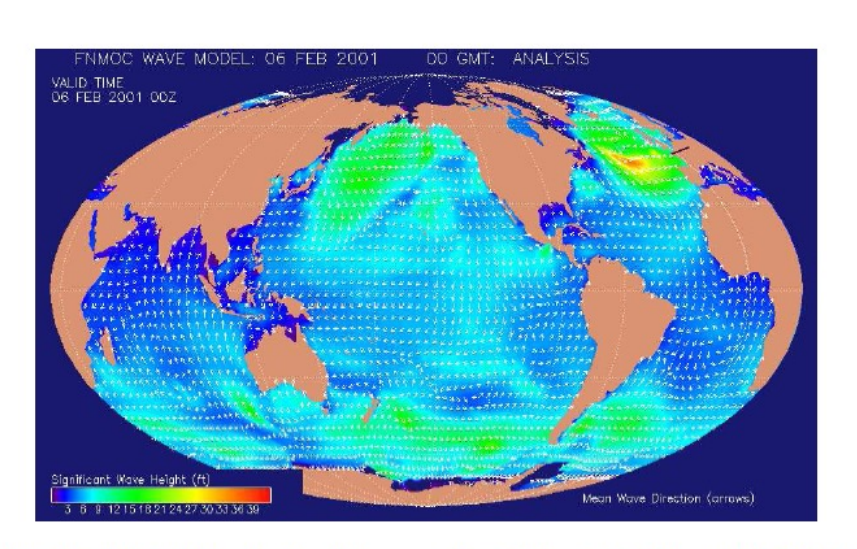


Abb. 5.27: Maßgebliche Wellenhöhe am 06.02.2001, 0:00 UT. Quelle: FNMOC.

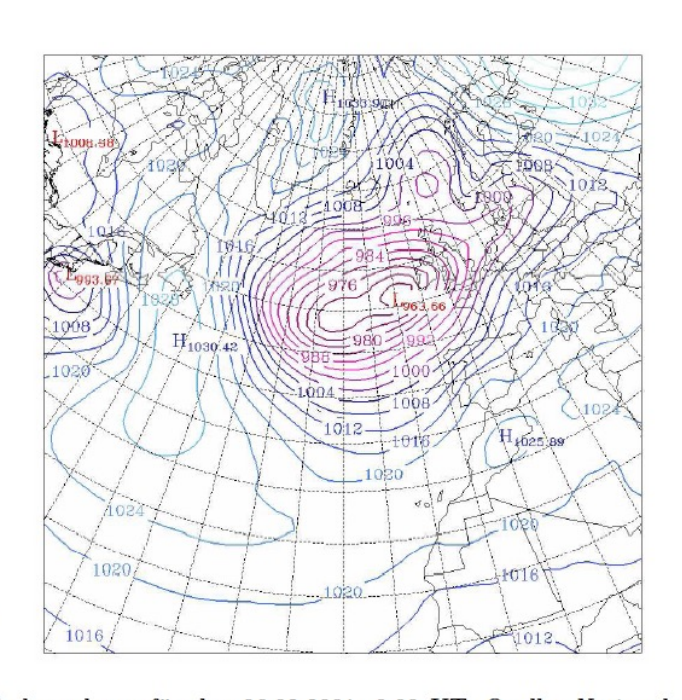
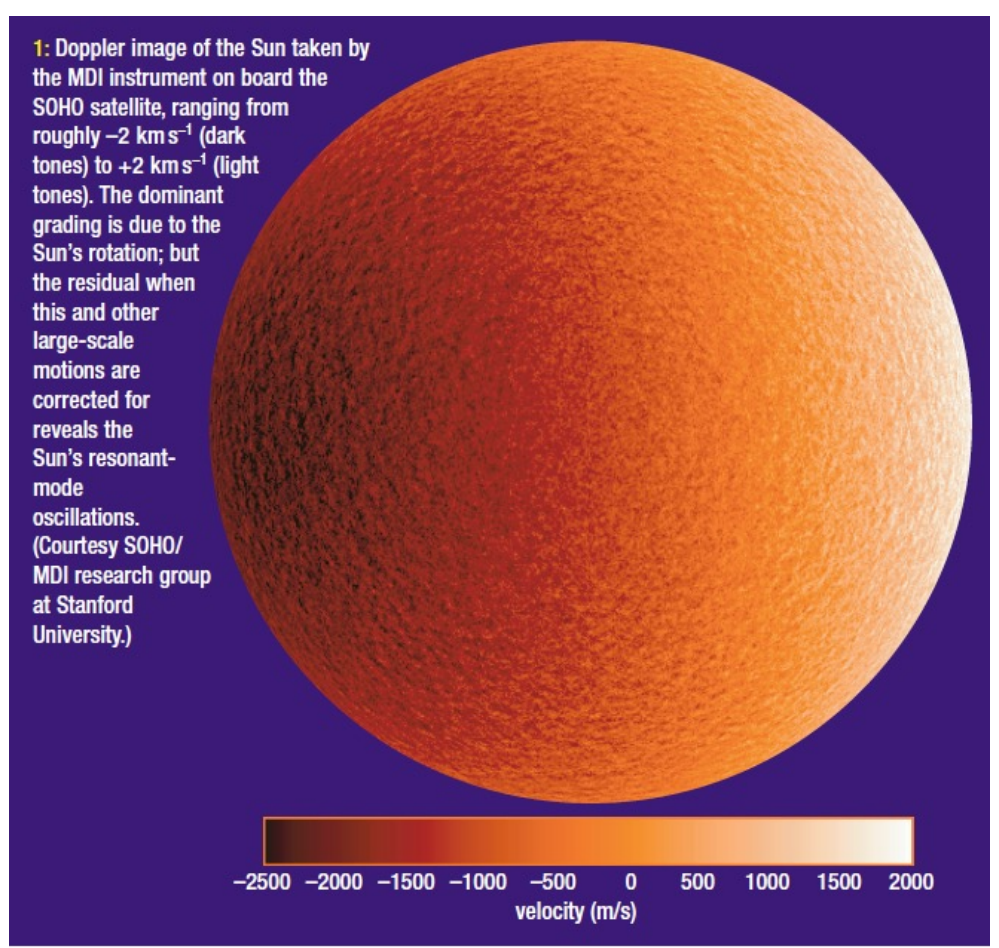


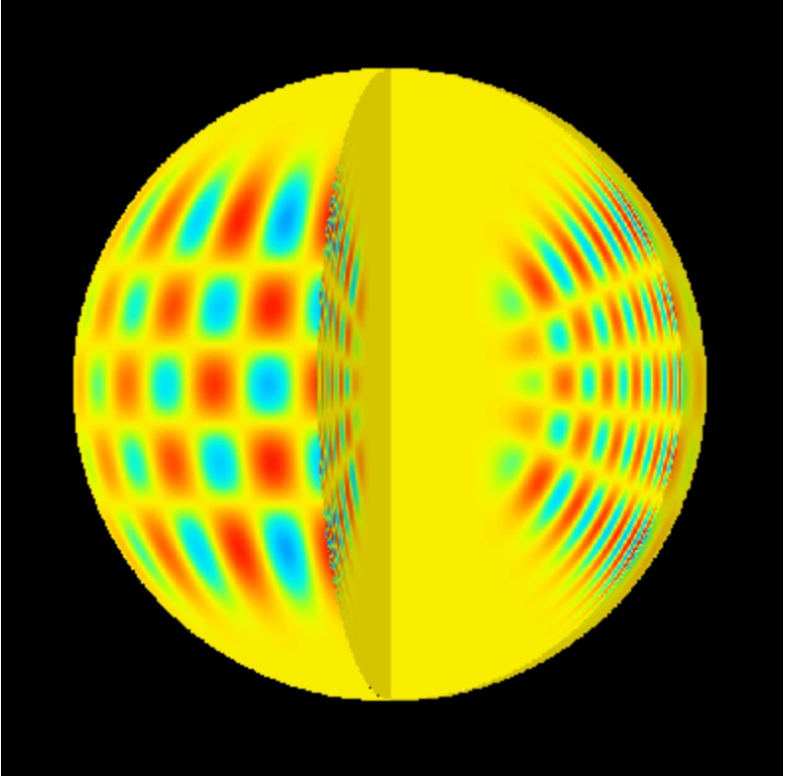
Abb. 5.28: Isobarenkarte für den 06.02.2001, 0:00 UT. Quelle: National Oceanic and Atmospheric Administration - Air Resources Laboratory(NOAA/ARL).

Quelle: Kurrle, 2009



Helioseismology





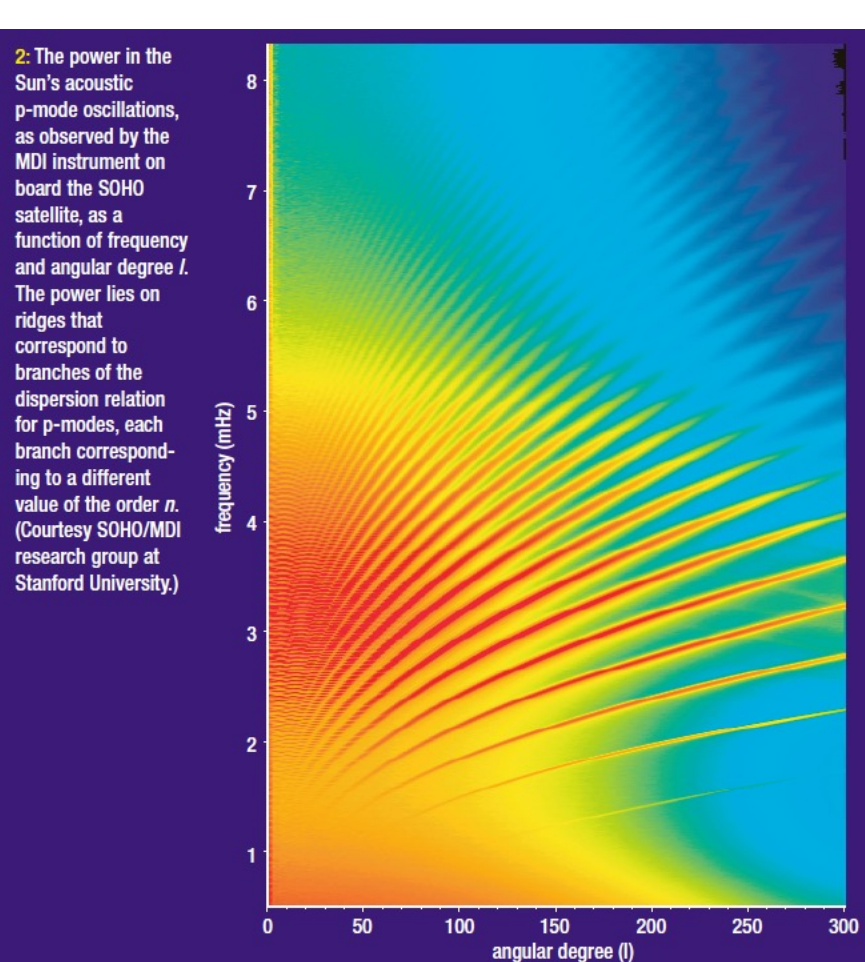
Doppler Image of the sun

Computer simulation



Helioseismology





P-mode oscillations





Zusammenfassung – Take

ke-Gruppen beantworten

- Was sind Eigenschwingungen der Erde?
- Wodurch werden sie angeregt?
- Wie lassen sie sich mathematisch beschreiben?
- Was können wir aus ihnen über die Struktur der Erde erfahren?